

รายการอ้างอิง

1. Peterka, J.A. and Cermak, J.E. : Adverse Wind Loading Induced by Adjacent Building. Journal of the Structural Division; Proceedings of the American Society of Civil Engineers 102 (March 1976): 533-548.
2. Davenport, A.G., The Prediction of Risk Under Wind Loading. Proceedings, 2nd. International Conference on Structural Safety and Reliability, (ICossar), Munich, West Germany, (September 1977): 511-538.
3. Rice, S.O. Mathematical Analysis of Random Noise. Bell Tech Journal 18 (1994): 282, ; 19 (1945): 46.
4. Davenport, A.G. Wind Tunnel Testing and Cladding Pressures. presented at the 1989 Fall Symposium of the Chicago Committee on High Rise Building Chicago, (November 1989).
5. Simiu, E., and Filliben, J.J. Wind Direction Effects on Cladding and Structural Loads. Engineering Structures 3 (July 1981): 181-186.
6. Wen, Y.K. Wind Direction and Structural Reliability Journal of Structural Engineering, ASCE, 109 (April 1983): 1028-1041.
7. Wen, Y.K. Wind Direction and Structural Reliability II. Journal of Structural Engineering, ASCE, 110 (June, 1984): 1253-1264.
8. Hellman, G. Uber die Bewegung der Luft in den untersten Schichten der Atmosphare, Meteorol. Z.,34 (1916): 273.
9. Davenport, A.G. Wind Loads on Structures. Technical Paper No.88. Ottawa : National Research Council of Canada (1960).
10. American National Standard Building Code Requirements for Minimum Design Loads in Buildings and Other Structures ANSI Standard, A58.1-1982, American National Standards Institute, 1982.
11. Gumbel, E.J. Statistics of Extremes : Columbia University. Press, New York, 1958.
12. Thom, H.C.S. Frequency of Maximum Wind Speeds. Proceedings of the American Society of Civil Engineers, Paper No. 539, 80 (November 1954).

14. Council on Tall Buildings and Urban Habitat Committee 12A. Cladding. McGraw-Hill, Inc., 1992.
15. Simiu, E., and Scanlan, R.H. Wind Effects on Structures. 2nd. ed. USA. John Wiley & Sons., 1986.
15. Ochi, M.K. Applied Probability & Stochastic Processes in Engineering & Physical Sciences : John Wiley & Sons, 1992.
16. อุทัย ฤกษ์ศิริรัตน์. ค่าแรงลมสถิติที่บินเท่าเพื่อใช้ในการคำนวณออกแบบอาคารสูงในกรุงเทพ. สาขาวิชาศึกกรรมโครงสร้าง, จุฬาลงกรณ์มหาวิทยาลัย. วิทยานิพนธ์ปริญญามหาบัณฑิตจุฬาลงกรณ์มหาวิทยาลัย, 2533.
17. ปณิธาน ลักษณะประสีห์. อาคารสูง-ระบบโครงสร้างและข้อพิจารณาในการออกแบบ. วิศวกรรมสารฉบับ ว.ส.ท. ครบรอบ 48 ปี. (2538) : 56-65.
18. Lukkunaprasit, P., and Pheinsusom, P. Final Report on Wind Tunnel Studies of JEWELRY TRADE CENTER COMPLEX. (February 1992).
19. Committee on Wind Effects of the Committee on Dynamic Effects of the Structural Division of the American Society of Civil Engineers. Wind Loading and Wind-Induced Structural Response, ASCE, 1987.
20. The Boundary Layer Wind Tunnel Laboratory, Wind Tunnel a General Outline. Faculty of Engineering Science, The University of Western Ontario., 1991.
21. Davenport, A.G. The Dependence of Wind Loads on Meteorological Parameters Proceedings International Seminar on Winds Effect on Buildings and Structures Ottawa. (1967).
22. Davenport, A.G., Isyumov, N., Surry, D. The Role of Wind Tunnel Studies in Design Against Wind. presented at ASCE Spring Convention, Boston, Mass. (April 1979).
23. Surry, D., and Davenport, A.G. Modelling the Wind Climate : an 'over' view presented at Workshop on Wind Climate Acheville, North Carolina. (November 1979), EPRJ, NSF.
24. ไสว พุกการพิทยาภูมิ. ผลกระทบปีกน์ต่อแรงลมบนแนวกำแพงโครงสร้างหลังคาสำนักวิทยาลัยพระภีรดิฯ. สาขาวิชาศึกกรรมโครงสร้าง จุฬาลงกรณ์มหาวิทยาลัย. วิทยานิพนธ์ปริญญามหาบัณฑิต จุฬาลงกรณ์มหาวิทยาลัย, 2538.

25. มัลลิกา บุนนาค. สถิติเพื่อการตัดสินใจ พิมพ์ครั้งที่ 2. โรงพิมพ์จุฬาลงกรณ์มหาวิทยาลัย, 2536.



ภาคผนวก

ศูนย์วิทยทรัพยากร
จุฬาลงกรณ์มหาวิทยาลัย

ภาคผนวก ก

ตารางค่าสัมประสิทธิ์สำหรับการหาค่าความดันลมออกแบบ
ตามข้อกำหนดของ สถาบันมาตรฐานแห่งชาติอเมริกา ANSI CODE A58.1-1982



ศูนย์วิทยทรัพยากร
จุฬาลงกรณ์มหาวิทยาลัย

ตารางที่ ก-1 ค่าสัมประสิทธิ์ β ซึ่งขึ้นกับสภาพภูมิประเทศ

Terrain Category*	I	II	III	IV	V
	6.00	6.00	5.25	4.85	4.00

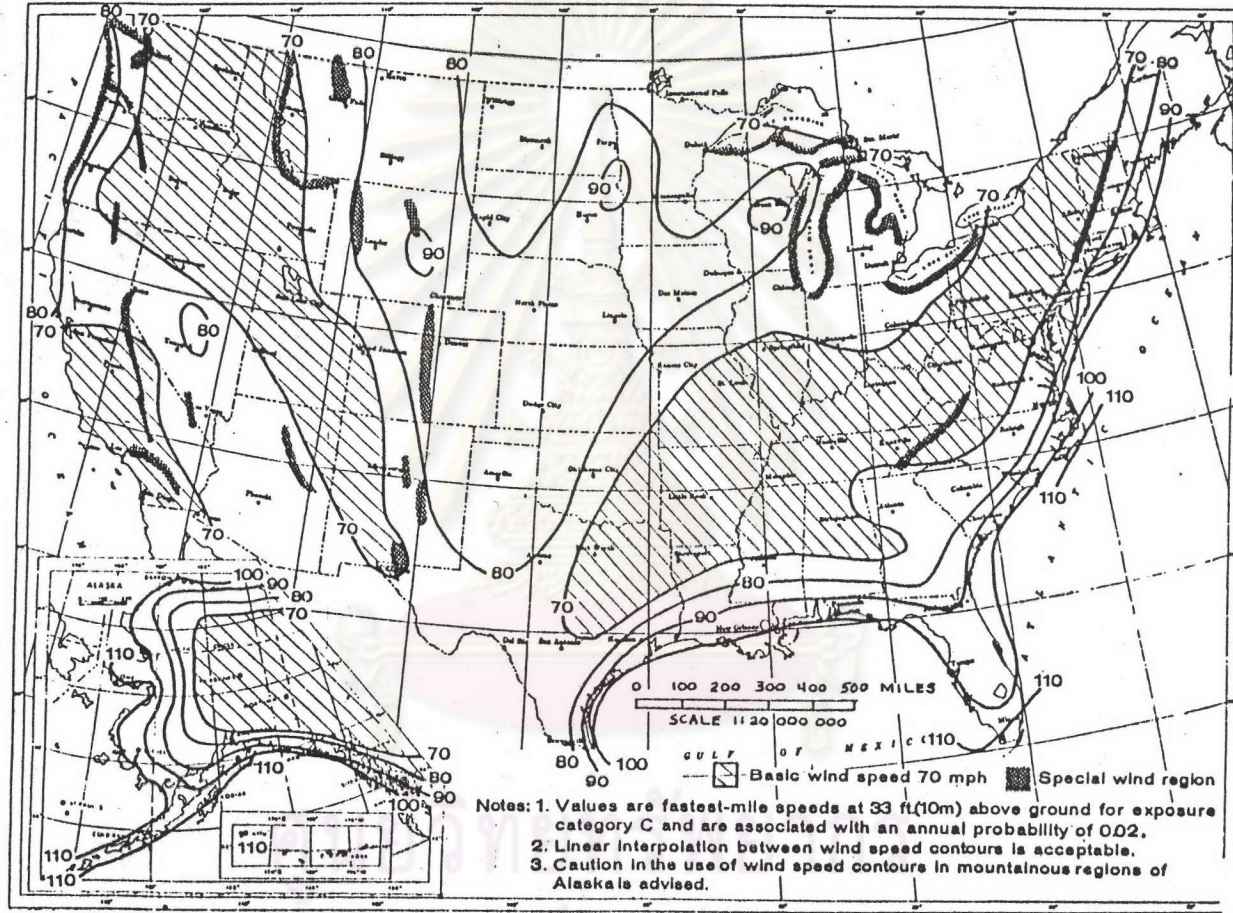
* Terrain categories are defined as follow : I - open water ; II - open terrain ; III - suburbs at considerable distance from towns (sites in zones sparsely built-up, with trees, hedges, etc.) ; IV - towns, densely built-up suburbs, wooded terrain ; V - centers of large cities.

ตารางที่ ก-2 : ค่าระยะความชุ่มชื้น, Z_o

Terrain Category*

Z_o	I	II	III	IV	V
	0.005 m. (0.0169 ft)	0.070 m. (0.230 ft)	0.30 m. (0.989 ft)	1.00 m. (3.28 ft)	2.50 m. (8.2 ft)

- * Terrain categories are defined as follow : I - open water ; II - open terrain ; III - suburbs at considerable distance from towns (sites in zones sparsely built-up, with trees, hedges, etc.) ; IV - towns, densely built-up suburbs, wooded terrain ; V - centers of large cities.



รูปที่ (ก-1) แผนที่แสดงค่าความเร็วลมพื้นฐาน ในเขตพื้นที่ประเทศสหรัฐอเมริกา โดยสถาบันมาตรฐานแห่งชาติอเมริกา (American National Standard Institute) [10]

Design Wind Pressures, p , and Forces, F

Design Wind Loading				Flexible Buildings and Structures (Height/Least Horizontal Dimension > 5, $f < 1 \text{ Hz}$)	
	Buildings	Other Structures	Buildings	Other Structures	
Main wind-force resisting systems	$p = qG_hC_p^*$ $q: q_z$ for windward wall at height z above ground q_h for leeward wall and roof evaluated at mean roof height G_h : Given in Table 8 C_p : Given in Fig. 2 (Table 10 for arched roofs)	$F = q_zG_hC_fA_f$ q_z : evaluated at height z above ground G_h : Given in Table 8 C_f : Given in Tables 11-16 A_f : Projected area normal to wind†	$p = q\bar{G}C_p$ $q: q_z$ for windward wall at height z above ground q_h for leeward wall evaluated at mean roof height \bar{G} : Obtained by rational analysis C_p : Given in Fig. 2	$F = q_z\bar{G}C_fA_f$ q_z : Evaluated at height z above ground \bar{G} : Obtained by rational analysis A_f : Projected area normal to wind†	
Components and cladding‡	$h < 60 \text{ ft}$ $p = q_h(GC_p) - q_h(GC_{pi})$ q_h : Evaluated at mean roof height using Exposure C (see 6.5.3) for all terrains GC_p : Given in Fig. 3a and 3b GC_{pi} : Given in Table 9	$h > 60 \text{ ft}$ $p = q(GC_p) - q_z(GC_{pi})$ $q: q_z$ for $(+GC_p)$ evaluated at height z above ground q_h for $(-GC_p)$ evaluated at mean roof height GC_p : Given in Fig. 4 § GC_{pi} : Given in Table 9	$F = q_zG_zC_fA_f$ q_z : Evaluated at height z above ground G_z : Given in Table 8 C_f : Given in Tables 11-16 A_f : Projected area normal to wind†	$p = q(GC_p) - q_z(GC_{pi})$ $q: q_z$ for $(+GC_p)$ evaluated at height z above ground q_h for $(-GC_p)$ evaluated at mean roof height GC_p : Given in Fig. 4 GC_{pi} : Given in Table 9	$F = q_zG_zC_fA_f$ q_z : Evaluated at height z above ground G_z : Given in Table 8 C_f : Given in Tables 11-16 A_f : Projected area normal to wind†

*In the case of one-story and certain other frames, the inclusion of internal pressure may give the most critical load: $p = qG_hC_p - q_h(GC_{pi})$, where (GC_{pi}) is given in Table 9.
 † A_f is the projected area normal to the wind except where C_f is given for the surface area.

‡Major structural components supporting tributary areas greater than 1000 ft^2 in extent may be designed using the provisions for main wind-force resisting systems.

§In the design of components and cladding for buildings having a mean roof height h , $60 \text{ ft} < h < 90 \text{ ft}$, GC_p values of Fig. 3 may be used provided q is taken as q_h and Exposure C (see 6.5.3) is used for all terrains.

NOTE: Pressures are in pounds per square foot; forces are in pounds-force.

รูปที่ (ก-2) ตารางสรุปวิธีการวิเคราะห์ค่าความดันลมออกแบบ สำหรับโครงสร้างหลักและผนัง
 รอบอาคารตามวิธีของสถาบันมาตรฐานแห่งชาติอเมริกา (ANSI) [10]

Importance Factor, I (Wind Loads)

Category*	I	
	100 Miles from Hurricane Oceanline, and in Other Areas	At Hurricane Oceanline
I	1.00	1.05
II	1.07	1.11
III	1.07	1.11
IV	0.95	1.00

*See 1.4 and Table 1.

NOTES:

- (1) The building and structure classification categories are listed in Table 1.
- (2) For regions between the hurricane oceanline and 100 miles inland the importance factor I shall be determined by linear interpolation.
- (3) Hurricane oceanlines are the Atlantic and Gulf of Mexico coastal areas.

Velocity Pressure Exposure Coefficient, K_z

Height above Ground Level, z (feet)	K_z			
	Exposure A	Exposure B	Exposure C	Exposure D
0 - 15	0.12	0.37	0.80	1.20
20	0.15	0.42	0.87	1.27
25	0.17	0.46	0.93	1.32
30	0.19	0.50	0.98	1.37
40	0.23	0.57	1.06	1.46
50	0.27	0.63	1.13	1.52
60	0.30	0.68	1.19	1.58
70	0.33	0.73	1.24	1.63
80	0.37	0.77	1.29	1.67
90	0.40	0.82	1.34	1.71
100	0.42	0.86	1.38	1.75
120	0.48	0.93	1.45	1.81
140	0.53	0.99	1.52	1.87
160	0.58	1.05	1.58	1.92
180	0.63	1.11	1.63	1.97
200	0.67	1.16	1.68	2.01
250	0.78	1.28	1.79	2.10
300	0.88	1.39	1.88	2.18
350	0.98	1.49	1.97	2.25
400	1.07	1.58	2.05	2.31
450	1.16	1.67	2.12	2.36
500	1.24	1.75	2.18	2.41

NOTES:

- (1) Linear interpolation for intermediate values of height z is acceptable.
- (2) For values of height z greater than 500 feet, K_z may be calculated from Eq. A3 in the Appendix.
- (3) Exposure categories are defined in 6.5.3.

รูปที่ (ก-3) ตารางแสดงค่าตัวประกอบความสำคัญ, I และค่าตัวประกอบภูมิประเทศ-ความดันพลวัต, K_z ซึ่งใช้ในการหาค่าความดันลมพลวัตที่ระดับความสูงใดๆ จากพื้นดิน ตามวิธีของ ANSI [10]



Gust Response Factors, G_h and G_z

Height above Ground Level, z (feet)	G_h and G_z			
	Exposure A	Exposure B	Exposure C	Exposure D
0 - 15	2.36	1.65	1.32	1.15
20	2.20	1.59	1.29	1.14
25	2.09	1.54	1.27	1.13
30	2.01	1.51	1.26	1.12
40	1.88	1.46	1.23	1.11
50	1.79	1.42	1.21	1.10
60	1.73	1.39	1.20	1.09
70	1.67	1.36	1.19	1.08
80	1.63	1.34	1.18	1.08
90	1.59	1.32	1.17	1.07
100	1.56	1.31	1.16	1.07
120	1.50	1.28	1.15	1.06
140	1.46	1.26	1.14	1.05
160	1.43	1.24	1.13	1.05
180	1.40	1.23	1.12	1.04
200	1.37	1.21	1.11	1.04
250	1.32	1.19	1.10	1.03
300	1.28	1.16	1.09	1.02
350	1.25	1.15	1.08	1.02
400	1.22	1.13	1.07	1.01
450	1.20	1.12	1.06	1.01
500	1.18	1.11	1.06	1.00

NOTES:

- (1) For main wind-force resisting systems, use building or structure height $h = z$.
- (2) Linear interpolation is acceptable for intermediate values of z .
- (3) For height above ground of more than 500 feet, Eq. A5 may be used.
- (4) Value of gust response factor shall be not less than 1.0.

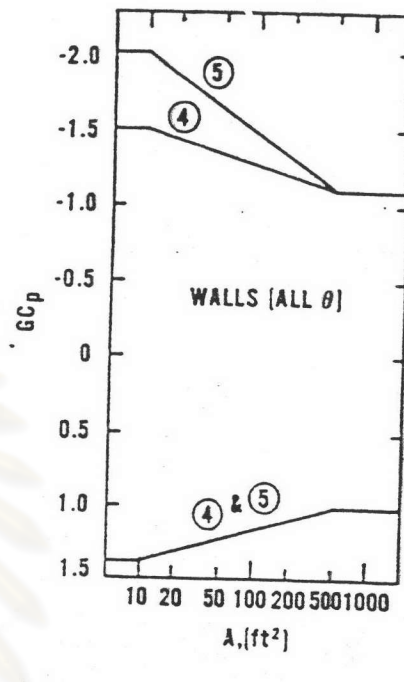
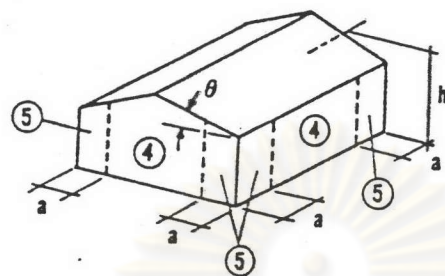
Internal Pressure Coefficients for Buildings, GC_{pi}

Condition	GC_{pi}
Percentage of total wall area occupied by openings in one wall exceeds that of all other walls by 10% or more, and openings in all other walls do not exceed 20% of respective wall area	+0.75 and -0.25
All other cases	± 0.25

NOTES:

- (1) Values are to be used with q_z or q_h as specified in Table 4.
- (2) Plus and minus signs signify pressures acting toward and away from the surfaces, respectively.
- (3) Appropriate positive and negative values of GC_{pi} shall be considered when determining the controlling load requirement.
- (4) Percentage of openings is based on gross area of wall.

รูปที่ (ก-4) ตารางแสดงค่าตัวประกอบแรงลมกรรโชก G_h และ G_z และค่ามั่นประสพที่ความดันลมภายในสำหรับอาคาร, GC_{pi} ซึ่งใช้ในการหาค่าความดันลมของแบบสำหรับผนังรอบอาคาร ตามวิธีของ ANSI [10]



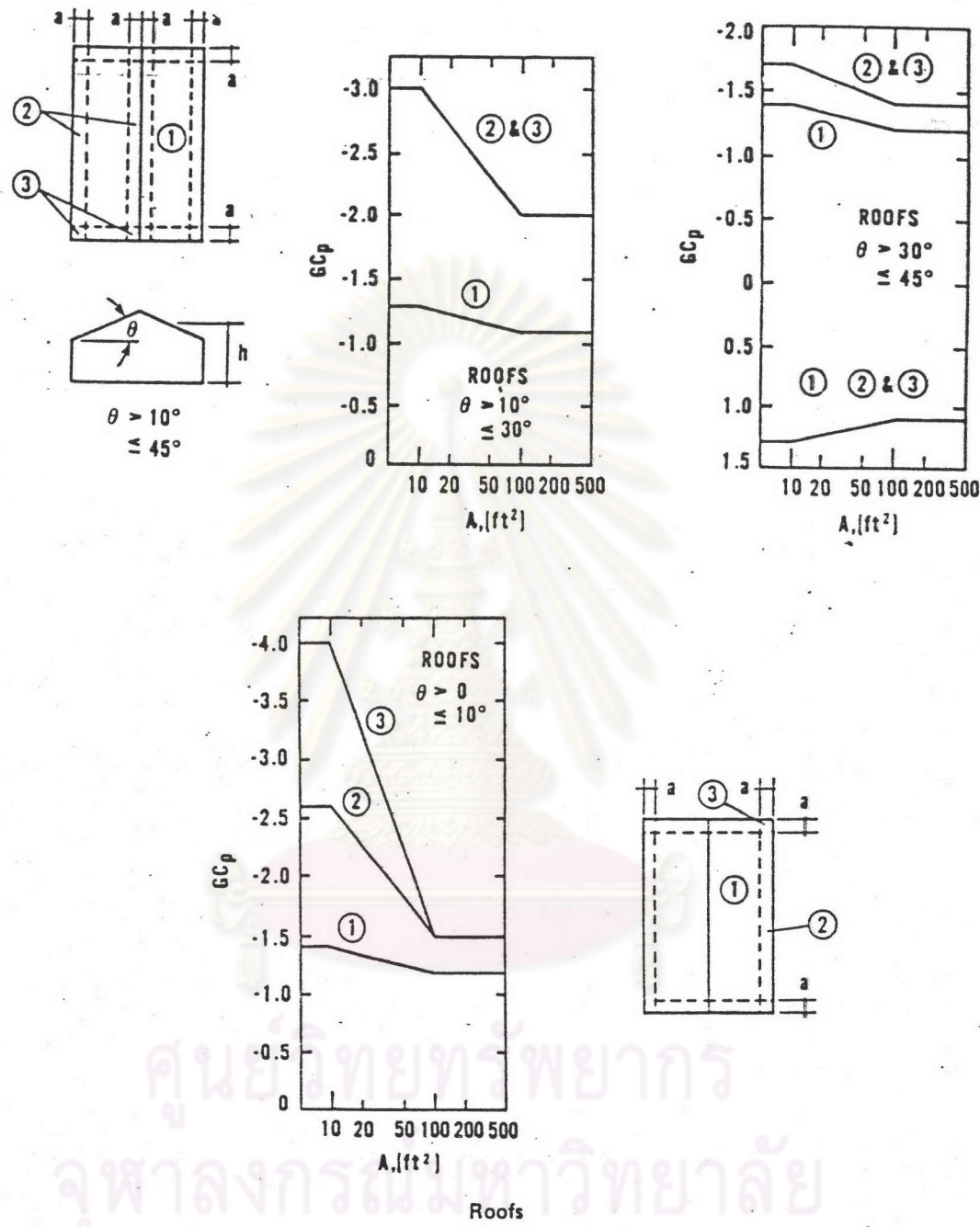
Walls

NOTES:

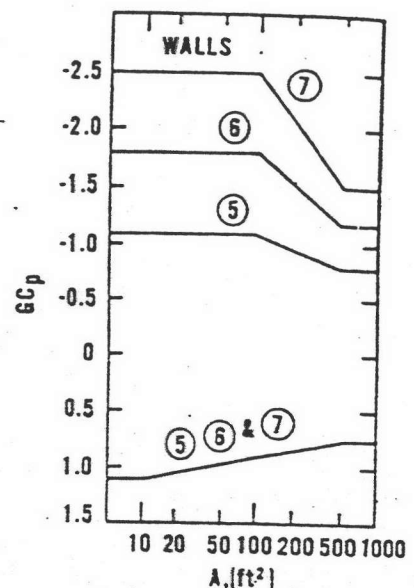
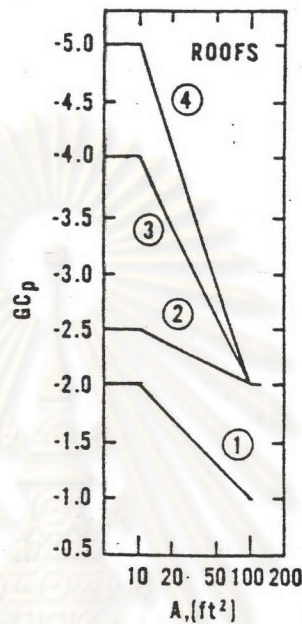
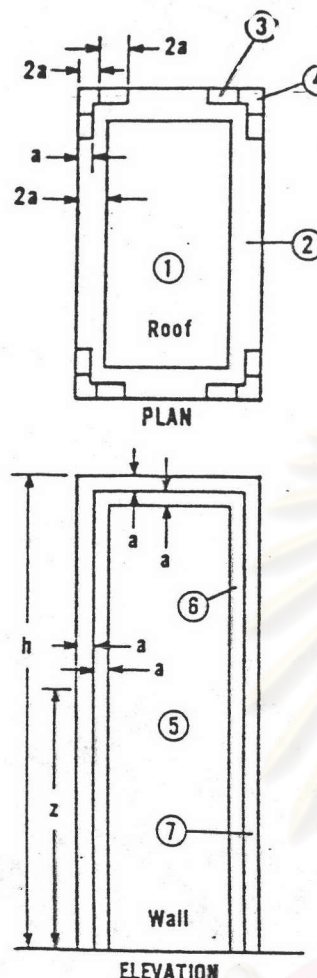
- (1) The vertical scale denotes GC_p to be used with q_h based on Exposure C.
- (2) The horizontal scale denotes the tributary area A , in square feet.
- (3) External pressure coefficients for walls may be reduced by 10% when $\theta < 10$ degrees.
- (4) Plus and minus signs signify pressures acting toward and away from the surfaces, respectively.
- (5) Each component shall be designed for maximum positive and negative pressures.
- (6) Notation:
 - a : 10% of minimum width or $0.4h$, whichever is smaller, but not less than either 4% of minimum width or 3 feet
 - h : Mean roof height, in feet, except that eave height may be used when $\theta < 10$ degrees
 - θ : Roof slope from horizontal, in degrees

ศูนย์วิทยทรัพยากร จุฬาลงกรณ์มหาวิทยาลัย

รูปที่ (ก-5) ค่าประสิทธิ์ความดันลมภายนอก, GC_p , ซึ่งใช้ในการหาค่าความดันลมออกแบบสำหรับผนังรอบอาคาร สำหรับอาคารที่มีความสูงไม่เกิน 60 ฟุต
ตามวิธีของ ANSI [10]



รูปที่ (ก-6) ค่าประสิทธิ์ความดันลมภายนอก, GC_p , ซึ่งใช้ในการหาค่าความดันลมออก
แบบสำหรับผนังรอบอาคาร สำหรับอาคารที่มีความสูงไม่เกิน 60 ฟุต
ตามวิธีของ ANSI [10]

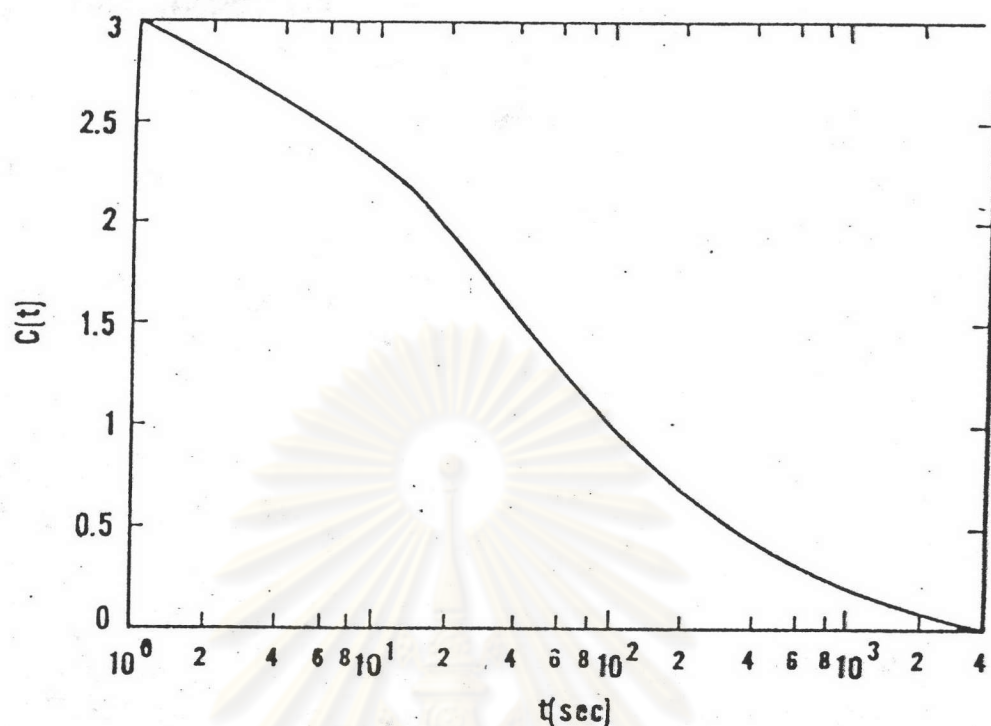


NOTES:

- (1) Vertical scale denotes GC_p to be used with appropriate q_z or q_h .
- (2) Horizontal scale denotes tributary area A , in square feet.
- (3) Use q_h with negative values of GC_p and q_z with positive values of GC_p .
- (4) Each component shall be designed for maximum positive and negative pressures.
- (5) If a parapet is provided around the roof perimeter, zones (3) and (4) may be treated as zone (2).
- (6) For roofs with slope of more than 10 degrees, use GC_p from Fig. 3b and attendant q_h based on Exposure C.
- (7) Plus and minus signs signify pressures acting toward and away from the surfaces, respectively.
- (8) Notation:
 - a : 5% of minimum width or $0.5h$, whichever is smaller
 - h : Mean roof height, in feet
 - z : Height above ground, in feet

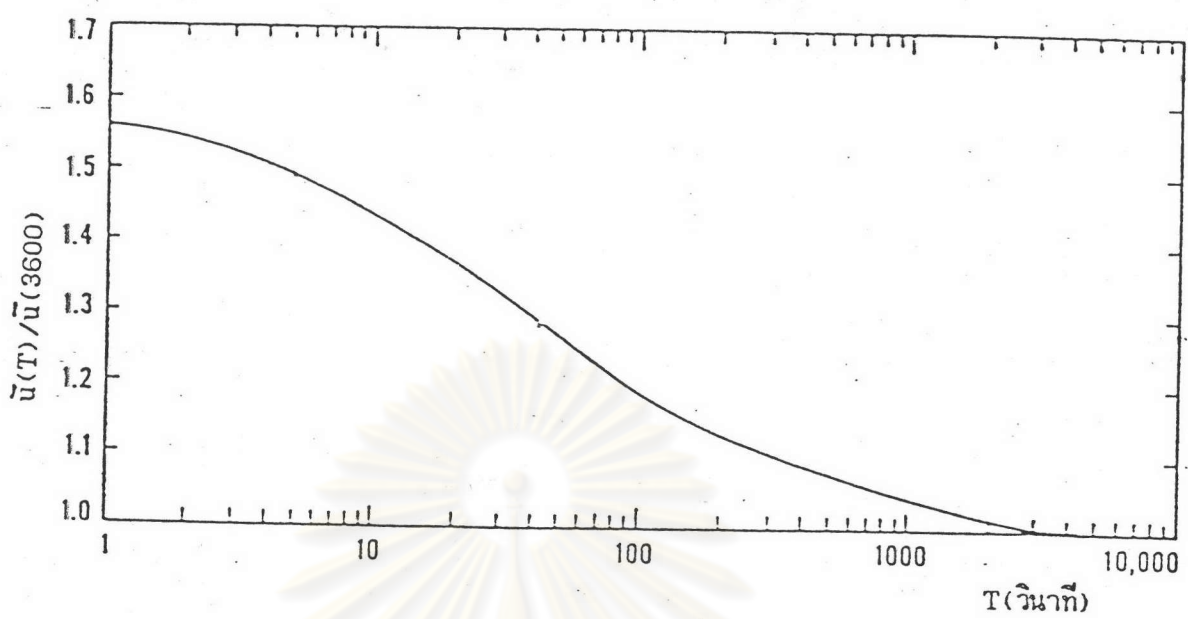
External Pressure Coefficients, GC_p , for Loads on Building Components and Cladding for Buildings with Mean Roof Height h Greater Than 60 Feet

รูปที่ (ก-7) ค่าประสิทธิ์ความดันลมภายนอก, GC_p , ซึ่งใช้ในการหาค่าความดันลมออกแบบสำหรับผนังรอบอาคาร สำหรับอาคารที่มีความสูงเกิน 60 ฟุต ตามวิธีของ ANSI [10]



ศูนย์วิทยทรัพยากร บุคลากรและมหาวิทยาลัย

รูปที่ (ก-8) กราฟความสัมพันธ์ระหว่างค่า $C(t)$ และเวลา t (วินาที) สำหรับใช้ในการแปลงค่าความเร็วลงระหว่างค่าความเร็วลงเหลือ 1 ชั่วโมง และค่าความเร็วในล'สูงสุด [9]



ศูนย์วิทยทรัพยากร
จุฬาลงกรณ์มหาวิทยาลัย

รูปที่ (ก-9) ค่าอัตราส่วนความเร็วคลื่นเฉลี่ยในช่วงเวลาใดๆ ต่อความเร็วคลื่นเฉลี่ยในช่วงเวลา 1 ชั่วโมง [10]

ภาคผนวก ข

ค่าสัมประสิทธิ์ความดันลมจากการทดสอบภายในอุโมงค์ลม

โครงการอาคาร JEWELRY TRADE CENTER

ศูนย์วิทยทรัพยากร
จุฬาลงกรณ์มหาวิทยาลัย

ตารางที่ ข-1 : รายละเอียดการแบ่งทิศทางลม
ของสถานีตรวจอากาศ

ทิศทางลม	องศา
N	337.5-0-22.5
NE	22.5-45-67.5
E	67.5-90-112.5
SE	112.5-135-157.5
S	157.5-180-202.5
SW	202.5-225-247.5
W	247.5-270-292.5
NW	292.5-315-337.5

ศูนย์วิทยทรัพยากร
จุฬาลงกรณ์มหาวิทยาลัย

ตารางที่ ข-2 ค่าสัมประสิทธิ์ความดันลมสูงสุด, ต่ำสุด
สำหรับกิจกรรม 0 องศา ตำแหน่งวัดความดันลมระดับ A

ตำแหน่ง	ค่าสัมประสิทธิ์ความดันลม	
	สูงสุด	ต่ำสุด
A1-0	-0.006	-0.417
A2-0	0.015	-0.428
A3-0	-0.009	-0.345
A4-0	0.204	-0.287
A5-0	0.046	-0.332
A6-0	0.060	-0.460
A7-0	0.003	-0.540
A8-0	0.069	-0.857
A9-0	0.422	-0.961
A10-0	0.208	-1.122
A11-0	0.111	-0.933
A12-0	0.084	-1.074
A13-0	0.245	-1.406
A14-0	0.355	-0.825
A15-0	0.020	-0.714
A16-0	0.016	-0.414
A17-0	0.002	-0.332
A18-0	0.037	-0.294
A19-0	0.109	-0.211
A20-0	0.026	-0.222
A21-0	0.011	-0.325
A22-0	0.093	-0.492
A23-0	0.057	-0.644
A24-0	0.074	-0.676
A25-0	0.202	-0.679
A26-0	0.170	-0.542
A27-0	0.020	-0.640
A28-0	-0.012	-0.674
A29-0	0.031	-0.472
A30-0	0.330	-1.017
A31-0	0.588	-0.190
A32-0	0.756	-0.011
A33-0	0.948	-0.040
A34-0	0.715	0.009
A35-0	0.565	-0.166
A36-0	0.399	-1.145
A37-0	0.099	-0.589
A38-0	0.125	-0.861
A39-0	0.091	-0.497
A40-0	0.051	-0.584
A41-0	0.016	-0.657
A42-0	0.045	-0.611

ตารางที่ ข-3 ค่าสัมประสิทธิ์ความดันลมสูงสุด, ต่ำสุด
สำหรับกิจกรรม 45 องศา ตำแหน่งวัดความดันลมระดับ A

95

ตำแหน่ง	ค่าสัมประสิทธิ์ความดันลม	
	สูงสุด	ต่ำสุด
A1-45	0.100	-0.475
A2-45	0.075	-0.331
A3-45	0.028	-0.415
A4-45	0.229	-0.205
A5-45	0.080	-0.287
A6-45	0.111	-0.396
A7-45	0.124	-0.430
A8-45	0.055	-0.814
A9-45	0.736	-0.056
A10-45	0.793	-0.072
A11-45	0.667	-0.147
A12-45	-0.281	-0.962
A13-45	-0.281	-0.782
A14-45	-0.243	-0.976
A15-45	-0.136	-0.861
A16-45	-0.126	-0.802
A17-45	-0.100	-0.726
A18-45	-0.067	-0.711
A19-45	-0.034	-0.497
A20-45	-0.047	-0.452
A21-45	-0.050	-0.428
A22-45	0.004	-0.435
A23-45	-0.016	-0.646
A24-45	-0.055	-0.735
A25-45	0.082	-0.721
A26-45	0.362	-0.810
A27-45	0.082	-1.033
A28-45	-0.022	-0.883
A29-45	-0.041	-0.743
A30-45	0.755	0.066
A31-45	0.675	0.042
A32-45	0.537	-0.022
A33-45	0.509	-0.038
A34-45	0.355	-0.146
A35-45	0.114	-0.284
A36-45	-0.274	-0.878
A37-45	-0.020	-0.613
A38-45	0.015	-0.733
A39-45	-0.083	-0.767
A40-45	-0.122	-0.975
A41-45	-0.119	-1.201
A42-45	-0.030	-0.955

ตารางที่ ข-4 ค่าสัมประสิทธิ์ความดันลมสูงสุด, ต่ำสุด
สำหรับพิกัดทางลง 90 องศา ตำแหน่งวัดความดันลมระดับ A

96

ตำแหน่ง	ค่าสัมประสิทธิ์ความดันลม	
	สูงสุด	ต่ำสุด
A1-90	0.805	-0.044
A2-90	0.820	-0.080
A3-90	0.617	-0.127
A4-90	0.602	-0.084
A5-90	0.655	-0.079
A6-90	0.410	-0.149
A7-90	0.334	-0.221
A8-90	-0.004	-0.444
A9-90	-0.210	-0.770
A10-90	-0.111	-0.845
A11-90	0.060	-0.810
A12-90	-0.161	-0.873
A13-90	-0.214	-0.930
A14-90	-0.236	-0.736
A15-90	-0.238	-0.764
A16-90	-0.247	-0.782
A17-90	-0.248	-0.921
A18-90	-0.132	-0.659
A19-90	-0.144	-0.823
A20-90	-0.162	-0.752
A21-90	0.015	-0.756
A22-90	-0.049	-0.872
A23-90	-0.121	-1.084
A24-90	-0.162	-1.503
A25-90	-0.085	-1.438
A26-90	0.602	-0.181
A27-90	0.828	-0.043
A28-90	0.786	-0.071
A29-90	0.670	-0.164
A30-90	-0.155	-1.018
A31-90	-0.193	-0.937
A32-90	-0.156	-0.825
A33-90	-0.217	-0.957
A34-90	-0.169	-0.910
A35-90	-0.199	-1.160
A36-90	-0.176	-0.825
A37-90	-0.228	-1.581
A38-90	-0.083	-1.039
A39-90	0.001	-1.160
A40-90	0.069	-1.237
A41-90	-0.068	-1.537
A42-90	-0.293	-1.358

ตารางที่ ข-5 ค่าสัมประสิทธิ์ความดันลมสูงสุด, ต่ำสุด
สำหรับทิศทางลม 135 องศา ตำแหน่งวัดความดันลมระดับ A

ตำแหน่ง	ค่าสัมประสิทธิ์ความดันลม	
	สูงสุด	ต่ำสุด
A1-135	0.693	-0.148
A2-135	0.533	-0.033
A3-135	0.395	-0.151
A4-135	0.339	-0.156
A5-135	0.460	-0.108
A6-135	0.311	-0.155
A7-135	0.112	-0.239
A8-135	-0.109	-0.511
A9-135	-0.263	-0.871
A10-135	-0.266	-0.920
A11-135	0.030	-0.784
A12-135	-0.034	-0.645
A13-135	-0.177	-0.762
A14-135	-0.170	-0.692
A15-135	-0.177	-0.624
A16-135	-0.150	-0.699
A17-135	-0.085	-0.757
A18-135	0.142	-0.774
A19-135	0.295	-0.917
A20-135	0.234	-0.834
A21-135	0.273	-0.948
A22-135	-0.002	-0.934
A23-135	-0.011	-1.131
A24-135	0.011	-1.786
A25-135	0.057	-1.630
A26-135	0.651	-0.023
A27-135	0.549	-0.065
A28-135	0.492	-0.061
A29-135	0.568	-0.121
A30-135	-0.175	-0.692
A31-135	-0.039	-0.477
A32-135	-0.085	-0.542
A33-135	-0.132	-0.514
A34-135	-0.148	-0.625
A35-135	-0.168	-0.680
A36-135	-0.149	-0.759
A37-135	0.066	-1.462
A38-135	0.047	-0.527
A39-135	0.214	-0.449
A40-135	0.471	-0.505
A41-135	0.401	-0.541
A42-135	0.561	-0.606

ตารางที่ ข-๘ ค่าสัมประสิทธิ์ความดันลมสูงสุด, ต่ำสุด
สำหรับทิศทางลม 180 องศา ตัวหนางวัดความดันลมระดับ A

98

ตัวหนาง	ค่าสัมประสิทธิ์ความดันลม	
	สูงสุด	ต่ำสุด
A1-180	0.146	-1.024
A2-180	0.153	-0.898
A3-180	0.116	-0.693
A4-180	0.107	-0.650
A5-180	0.211	-0.678
A6-180	0.248	-0.642
A7-180	0.025	-0.547
A8-180	0.021	-0.449
A9-180	-0.062	-0.586
A10-180	-0.011	-0.730
A11-180	0.155	-0.564
A12-180	0.063	-0.543
A13-180	-0.037	-0.684
A14-180	-0.049	-0.648
A15-180	-0.003	-0.409
A16-180	0.022	-0.307
A17-180	-0.006	-0.321
A18-180	0.319	-0.232
A19-180	0.085	-0.248
A20-180	0.101	-0.223
A21-180	0.261	-0.253
A22-180	0.314	-0.485
A23-180	0.607	-0.437
A24-180	0.638	-0.742
A25-180	0.645	-1.121
A26-180	0.261	-1.253
A27-180	0.244	1.183
A28-180	0.253	-0.674
A29-180	0.365	-0.816
A30-180	-0.016	-0.408
A31-180	0.034	-0.617
A32-180	0.001	-0.530
A33-180	-0.011	-0.483
A34-180	0.088	-0.472
A35-180	-0.000	-0.613
A36-180	-0.059	-0.556
A37-180	0.654	-0.577
A38-180	0.611	-0.192
A39-180	0.520	-0.176
A40-180	0.460	-0.240
A41-180	0.415	-0.176
A42-180	0.354	-0.525

ตารางที่ ข-7 ค่าสัมประสิทธิ์ความดันลมสูงสุด, ต่ำสุด
สำหรับทิศทางลม 225 องศา ตำแหน่งวัดความดันลมระดับ A

99

ตำแหน่ง	ค่าสัมประสิทธิ์ความดันลม	
	สูงสุด	ต่ำสุด
A1-225	-0.235	-1.271
A2-225	-0.188	-0.840
A3-225	-0.216	-0.954
A4-225	-0.119	-0.785
A5-225	-0.105	-0.757
A6-225	-0.089	-0.656
A7-225	-0.046	-0.627
A8-225	-0.120	-0.739
A9-225	-0.115	-0.580
A10-225	-0.031	-0.566
A11-225	-0.062	-0.667
A12-225	-0.093	-0.861
A13-225	-0.152	-0.757
A14-225	-0.245	-0.888
A15-225	-0.153	-0.650
A16-225	-0.034	-0.432
A17-225	-0.017	-0.479
A18-225	0.171	-0.310
A19-225	0.093	-0.343
A20-225	0.132	-0.391
A21-225	0.181	-0.344
A22-225	0.387	-0.300
A23-225	0.533	-0.144
A24-225	0.427	-0.216
A25-225	0.529	-0.396
A26-225	-0.127	-1.218
A27-225	-0.147	-1.230
A28-225	-0.175	-1.306
A29-225	-0.198	-1.539
A30-225	-0.186	-0.583
A31-225	-0.192	-0.781
A32-225	-0.162	-0.746
A33-225	-0.194	-0.683
A34-225	-0.131	-0.732
A35-225	-0.086	-0.754
A36-225	-0.195	-0.737
A37-225	0.505	-0.153
A38-225	0.390	-0.855
A39-225	0.214	-0.454
A40-225	0.244	-0.398
A41-225	0.070	-0.386
A42-225	-0.052	-0.591

ตารางที่ ข-8 ค่าสัมประสิทธิ์ความดันลมสูงสุด, ต่ำสุด
สำหรับกีฬากอล์ฟ 270 องศา ตำแหน่งวัดความดันลมระดับ A

ตำแหน่ง	ค่าสัมประสิทธิ์ความดันลม	
	สูงสุด	ต่ำสุด
A1-270	-0.050	-0.975
A2-270	-0.098	-0.735
A3-270	-0.131	-0.641
A4-270	-0.137	-0.814
A5-270	-0.101	-0.690
A6-270	-0.154	-0.768
A7-270	-0.271	-1.205
A8-270	-0.204	-1.797
A9-270	0.017	-1.220
A10-270	-0.228	-1.497
A11-270	-0.258	-1.595
A12-270	0.002	-0.770
A13-270	0.005	-0.697
A14-270	0.023	-0.556
A15-270	0.147	-0.475
A16-270	0.243	-0.290
A17-270	0.231	-0.249
A18-270	0.221	-0.219
A19-270	0.256	-0.156
A20-270	0.220	-0.225
A21-270	0.163	-0.410
A22-270	0.227	-0.663
A23-270	0.348	-0.494
A24-270	0.268	-0.836
A25-270	0.329	-0.789
A26-270	-0.084	-1.971
A27-270	-0.110	-1.504
A28-270	-0.024	-1.262
A29-270	0.016	-1.398
A30-270	-0.194	-1.416
A31-270	0.001	-0.846
A32-270	-0.038	-0.803
A33-270	0.019	-0.830
A34-270	-0.023	-0.854
A35-270	0.045	-1.108
A36-270	0.021	-0.483
A37-270	0.314	-0.482
A38-270	0.010	-1.180
A39-270	0.048	-1.211
A40-270	0.114	-0.883
A41-270	0.093	-0.769
A42-270	0.057	-0.769

ตารางที่ ข-9 ค่าสัมประสิทธิ์ความดันลมสูงสุด, ต่ำสุด
สำหรับทิศทางลม 315 องศา ตำแหน่งวัดความดันลมระดับ A

ตำแหน่ง	ค่าสัมประสิทธิ์ความดันลม	
	สูงสุด	ต่ำสุด
A1-315	-0.034	-1.285
A2-315	-0.122	-1.051
A3-315	-0.206	-1.008
A4-315	-0.145	-1.136
A5-315	-0.248	-1.135
A6-315	-0.167	-1.393
A7-315	-0.300	-1.191
A8-315	-0.200	-1.091
A9-315	-0.214	-1.050
A10-315	-0.259	-1.073
A11-315	-0.261	-1.274
A12-315	0.578	-0.145
A13-315	0.605	-0.127
A14-315	0.592	-0.084
A15-315	-0.091	-0.893
A16-315	0.049	-0.563
A17-315	0.043	-0.461
A18-315	0.027	-0.485
A19-315	0.105	-0.393
A20-315	0.035	-0.402
A21-315	-0.060	-0.398
A22-315	0.002	-0.533
A23-315	0.021	-0.692
A24-315	-0.002	-0.888
A25-315	0.121	-0.800
A26-315	0.091	-0.879
A27-315	-0.011	-0.847
A28-315	-0.102	-0.823
A29-315	-0.010	-0.818
A30-315	-0.250	-1.083
A31-315	0.029	-0.506
A32-315	0.387	-0.180
A33-315	0.513	-0.060
A34-315	0.519	-0.059
A35-315	0.753	0.049
A36-315	0.688	-0.158
A37-315	0.083	-0.700
A38-315	0.121	-0.724
A39-315	0.090	-0.800
A40-315	0.041	-0.634
A41-315	-0.009	-0.793
A42-315	0.014	-0.587

สำหรับพิกัดทางลม 0 องศา ตำแหน่งวัดความดันลมระดับ B

ตำแหน่ง	ค่าสัมประสิทธิ์ความดันลม	
	สูงสุด	ต่ำสุด
B1-0	-0.022	-0.463
B2-0	-0.034	-0.488
B3-0	-0.080	-0.625
B4-0	0.079	-0.847
B5-0	-0.037	-0.916
B6-0	-0.051	-0.699
B7-0	-0.093	-0.781
B8-0	-0.153	-1.299
B9-0	0.005	-1.609
B10-0	-0.103	-1.649
B11-0	-0.049	-1.371
B12-0	-0.036	-1.618
B13-0	-0.052	-1.848
B14-0	0.355	-1.340
B15-0	-0.077	-1.098
B16-0	-0.096	-0.827
B17-0	-0.042	-0.629
B18-0	-0.069	-0.506
B19-0	0.092	-0.377
B20-0	-0.029	-0.405
B21-0	-0.036	-0.319
B22-0	-0.018	-0.424
B23-0	-0.032	-0.424
B24-0	-0.036	-0.504
B25-0	-0.009	-0.442
B26-0	0.056	-0.412
B27-0	-0.028	-0.454
B28-0	-0.037	-0.388
B29-0	-0.046	-0.418
B30-0	0.354	-1.621
B31-0	0.549	-0.227
B32-0	0.906	-0.010
B33-0	0.928	-0.006
B34-0	0.925	0.101
B35-0	0.619	-0.206
B36-0	0.357	-1.558
B37-0	-0.040	-0.447
B38-0	-0.025	-0.374
B39-0	0.022	-0.405
B40-0	-0.033	-0.331
B41-0	-0.011	-0.342
B42-0	-0.020	-0.376

ตารางที่ ข-11 ค่าสัมประสิทธิ์ความดันลมสูงสุด, ต่ำสุด
สำหรับกิจกรรม 45 องศา ตำแหน่งวัดความดันลมระดับ B

ตำแหน่ง	ค่าสัมประสิทธิ์ความดันลม	
	สูงสุด	ต่ำสุด
B1-45	0.001	-0.525
B2-45	0.018	-0.412
B3-45	0.054	-0.369
B4-45	0.242	-0.153
B5-45	0.102	-0.227
B6-45	0.111	-0.232
B7-45	0.280	-0.251
B8-45	0.242	-0.847
B9-45	0.792	0.073
B10-45	0.739	0.087
B11-45	0.875	-0.007
B12-45	-0.280	-0.826
B13-45	-0.309	-0.851
B14-45	-0.269	-0.801
B15-45	-0.289	-0.832
B16-45	-0.211	-0.883
B17-45	-0.175	-0.892
B18-45	-0.212	-0.809
B19-45	-0.101	-0.691
B20-45	-0.139	-0.778
B21-45	-0.038	-0.719
B22-45	0.038	-0.549
B23-45	-0.130	-0.567
B24-45	-0.061	-0.609
B25-45	-0.004	-0.604
B26-45	0.014	-0.695
B27-45	-0.029	-0.758
B28-45	-0.069	-0.655
B29-45	-0.096	-0.673
B30-45	0.759	0.015
B31-45	0.748	-0.150
B32-45	0.571	-0.006
B33-45	0.525	-0.034
B34-45	0.288	-0.146
B35-45	0.050	-0.348
B36-45	-0.321	-0.792
B37-45	-0.130	-0.661
B38-45	-0.081	-0.915
B39-45	-0.056	-0.692
B40-45	-0.074	-0.836
B41-45	-0.045	-0.694
B42-45	-0.109	-0.702

ตารางที่ ข-12 ค่าสัมประสิทธิ์ความดันลมสูงสุด, ต่ำสุด
สำหรับกีฬาทางลม 90 องศา ตัวแหน่งวัดความดันลมระดับ A

104

ตัวแหน่ง	ค่าสัมประสิทธิ์ความดันลม	
	สูงสุด	ต่ำสุด
B1-90	0.962	0.065
B2-90	0.836	0.102
B3-90	0.805	-0.026
B4-90	0.749	-0.079
B5-90	0.776	-0.075
B6-90	0.560	-0.071
B7-90	0.378	-0.211
B8-90	0.004	-0.580
B9-90	-0.143	-0.897
B10-90	0.420	-0.958
B11-90	0.199	-0.808
B12-90	-0.209	-0.872
B13-90	-0.243	-0.933
B14-90	-0.207	-1.245
B15-90	-0.232	-0.998
B16-90	-0.216	-0.687
B17-90	-0.246	-0.743
B18-90	-0.229	-0.701
B19-90	-0.191	-0.713
B20-90	-0.234	-0.672
B21-90	-0.170	-0.759
B22-90	0.521	-0.867
B23-90	-0.222	-0.900
B24-90	-0.189	-0.957
B25-90	-0.172	-1.257
B26-90	0.775	-0.120
B27-90	0.983	0.097
B28-90	0.686	-0.009
B29-90	0.786	0.000
B30-90	-0.078	-0.820
B31-90	-0.194	-1.053
B32-90	-0.125	-1.093
B33-90	-0.158	-0.961
B34-90	-0.162	-1.040
B35-90	-0.184	-1.263
B36-90	-0.122	-0.895
B37-90	-0.181	-0.819
B38-90	-0.175	-1.474
B39-90	-0.213	-1.196
B40-90	-0.210	-1.286
B41-90	-0.198	-1.111
B42-90	0.270	-1.111

ตารางที่ ข-13 ค่าสัมประสิทธิ์ความดันลมสูงสุด, ต่ำสุด

สำหรับกิจกรรมลง 135 องศา ตัวแทนร่วมวัดความดันลมระดับ B

ตัวแทน	ค่าสัมประสิทธิ์ความดันลม	
	สูงสุด	ต่ำสุด
B1-135	0.617	-0.217
B2-135	0.558	0.002
B3-135	0.404	-0.081
B4-135	0.343	-0.105
B5-135	0.464	-0.109
B6-135	0.293	-0.145
B7-135	0.136	-0.248
B8-135	-0.083	-0.628
B9-135	-0.270	-0.824
B10-135	-0.248	-0.887
B11-135	-0.184	-0.954
B12-135	-0.175	-0.676
B13-135	-0.217	-0.657
B14-135	-0.162	-0.593
B15-135	0.326	-0.541
B16-135	-0.167	-0.636
B17-135	-0.169	-0.880
B18-135	0.348	-0.588
B19-135	0.130	-0.645
B20-135	-0.009	-0.700
B21-135	0.269	-0.828
B22-135	-0.118	-0.882
B23-135	-0.115	-0.766
B24-135	-0.085	-0.863
B25-135	-0.091	-0.676
B26-135	0.897	0.066
B27-135	0.854	0.103
B28-135	0.888	0.075
B29-135	0.861	0.118
B30-135	-0.235	-0.843
B31-135	-0.097	-0.711
B32-135	-0.135	-0.619
B33-135	-0.114	-0.614
B34-135	-0.165	-0.581
B35-135	-0.163	-0.566
B36-135	-0.156	-0.535
B37-135	-0.143	-0.582
B38-135	0.058	-0.431
B39-135	0.315	-0.241
B40-135	0.518	-0.255
B41-135	0.566	-0.508
B42-135	0.600	-0.203



ตารางที่ ข-14 ค่าสัมประสิทธิ์ความตันลมสูงสุด, ต่ำสุด
สำหรับกีฬาทางลม 180 องศา ตำแหน่งวัดความตันลมระดับ B

ตำแหน่ง	ค่าสัมประสิทธิ์ความตันลม	
	สูงสุด	ต่ำสุด
B1-180	0.032	-1.563
B2-180	0.041	-1.040
B3-180	0.044	-1.007
B4-180	0.019	-0.825
B5-180	0.189	-0.650
B6-180	0.052	-0.902
B7-180	0.022	-0.660
B8-180	0.005	-0.606
B9-180	-0.060	-0.529
B10-180	-0.001	-0.501
B11-180	-0.021	-0.604
B12-180	-0.009	-0.491
B13-180	-0.056	-0.540
B14-180	-0.056	-0.467
B15-180	-0.042	-0.425
B16-180	-0.034	-0.364
B17-180	-0.060	-0.502
B18-180	0.236	-0.359
B19-180	-0.005	-0.411
B20-180	0.052	-0.418
B21-180	0.120	-0.445
B22-180	0.097	-0.752
B23-180	0.766	-1.323
B24-180	0.414	-1.405
B25-180	0.497	-1.110
B26-180	0.639	-1.523
B27-180	0.162	-1.610
B28-180	0.240	-1.432
B29-180	0.349	-1.677
B30-180	-0.073	-0.522
B31-180	-0.016	-0.428
B32-180	-0.037	-0.472
B33-180	-0.041	-0.350
B34-180	-0.041	-0.434
B35-180	-0.026	-0.453
B36-180	-0.054	-0.443
B37-180	0.715	-1.222
B38-180	0.687	-0.311
B39-180	0.832	-0.060
B40-180	0.861	-0.070
B41-180	0.926	-0.072
B42-180	0.595	-0.417

ตารางที่ ข-15 ค่าสัมประสิทธิ์ความดันลมสูงสุด, ต่ำสุด
สำหรับทิศทางลม 225 องศา ตำแหน่งวัดความดันลมระดับ B

107

ตำแหน่ง	ค่าสัมประสิทธิ์ความดันลม	
	สูงสุด	ต่ำสุด
B1-225	-0.197	-0.845
B2-225	-0.192	-0.677
B3-225	-0.207	-0.669
B4-225	-0.190	-0.620
B5-225	-0.194	-0.663
B6-225	-0.167	-0.728
B7-225	-0.203	-0.670
B8-225	-0.162	-0.774
B9-225	-0.150	-0.607
B10-225	-0.112	-0.617
B11-225	-0.132	-0.596
B12-225	-0.076	-0.993
B13-225	-0.283	-0.884
B14-225	-0.273	-0.909
B15-225	-0.122	-0.595
B16-225	-0.030	-0.407
B17-225	0.027	-0.345
B18-225	0.359	-0.166
B19-225	0.219	-0.168
B20-225	1.274	-0.027
B21-225	0.496	-0.102
B22-225	0.787	-0.131
B23-225	0.891	0.092
B24-225	0.923	-0.054
B25-225	1.318	0.207
B26-225	-0.146	-0.618
B27-225	-0.132	-0.691
B28-225	-0.170	-0.581
B29-225	-0.184	-0.592
B30-225	-0.167	-0.550
B31-225	-0.174	-1.053
B32-225	-0.093	-0.567
B33-225	-0.078	-0.508
B34-225	-0.082	-0.515
B35-225	-0.037	-0.549
B36-225	-0.177	-0.708
B37-225	0.846	0.037
B38-225	0.571	-1.121
B39-225	1.448	-0.810
B40-225	0.390	-0.469
B41-225	0.178	-0.343
B42-225	-0.031	-0.413

ตารางที่ ช-16 ค่าสัมประสิทธิ์ความดันลมสูงสุด, ต่ำสุด
สำหรับพิกัดทางลม 270 องศา ตำแหน่งวัดความดันลมระดับ B

108

ตำแหน่ง	ค่าสัมประสิทธิ์ความดันลม	
	สูงสุด	ต่ำสุด
B1-270	-0.082	-1.266
B2-270	-0.148	-0.971
B3-270	-0.157	-0.804
B4-270	-0.181	-0.710
B5-270	-0.175	-0.715
B6-270	-0.166	-0.820
B7-270	-0.113	-0.947
B8-270	-0.166	-1.111
B9-270	-0.150	-1.203
B10-270	-0.160	-1.896
B11-270	0.319	-1.134
B12-270	0.510	-0.382
B13-270	0.500	-0.493
B14-270	0.537	-0.449
B15-270	0.349	-0.281
B16-270	0.158	-0.231
B17-270	0.363	-0.127
B18-270	0.371	-0.080
B19-270	0.301	-0.153
B20-270	0.326	-0.133
B21-270	0.405	-0.111
B22-270	0.541	-0.158
B23-270	0.592	-0.276
B24-270	0.635	-0.264
B25-270	0.576	-0.154
B26-270	-0.181	-1.237
B27-270	-0.085	-1.096
B28-270	-0.089	-1.095
B29-270	-0.174	-1.053
B30-270	-0.108	-0.980
B31-270	0.473	-1.333
B32-270	-0.087	-1.063
B33-270	-0.106	-1.117
B34-270	-0.106	-1.128
B35-270	-0.102	-1.586
B36-270	0.417	-0.364
B37-270	0.391	-0.274
B38-270	-0.189	-0.890
B39-270	-0.231	-0.915
B40-270	-0.226	-0.977
B41-270	-0.187	-1.131
B42-270	-0.191	-1.324

ตารางที่ ช-17 ค่าสัมประสิทธิ์ความดันลมสูงสุด, ต่ำสุด
สำหรับทิศทางลม 315 องศา ตำแหน่งวัดความดันลมระดับ B

ตัวหนังสือ	ค่าสัมประสิทธิ์ความดันลม	
	สูงสุด	ต่ำสุด
B1-315	-0.127	-0.910
B2-315	-0.211	-0.937
B3-315	-0.181	-1.013
B4-315	-0.071	-0.830
B5-315	-0.063	-0.940
B6-315	-0.259	-1.255
B7-315	-0.228	-1.066
B8-315	-0.204	-0.861
B9-315	-0.260	-0.875
B10-315	-0.252	-0.829
B11-315	-0.196	-0.774
B12-315	0.859	-0.017
B13-315	0.834	0.018
B14-315	0.515	-0.049
B15-315	0.102	-1.173
B16-315	0.109	-0.345
B17-315	0.049	-0.324
B19-315	0.019	-0.310
B18-316	0.133	-0.240
B20-315	-0.040	-0.384
B21-315	-0.057	-0.403
B22-315	-0.155	-0.649
B23-315	-0.245	-1.161
B24-315	-0.145	-1.021
B25-315	0.125	-0.767
B26-315	-0.123	-0.987
B27-315	-0.095	-0.812
B28-315	-0.085	-0.734
B29-315	-0.070	-0.849
B30-315	-0.181	-0.721
B31-315	0.123	-0.360
B32-315	0.363	-0.227
B33-315	0.584	-0.078
B34-315	0.641	0.082
B35-315	0.789	-0.340
B36-315	0.931	0.076
B37-315	-0.294	-1.137
B38-315	-0.090	-1.723
B39-315	-0.137	-2.093
B40-315	-0.039	-1.400
B41-315	0.247	-0.904
B42-315	-0.052	-0.949

ตารางที่ ช-18 ค่าสัมประสิทธิ์ความดันลมสูงสุด, ต่ำสุด
สำหรับทิศทางลม 0 องศา ตำแหน่งวัดความดันลมระดับ C

ตำแหน่ง	ค่าสัมประสิทธิ์ความดันลม	
	สูงสุด	ต่ำสุด
C1-0	-0.044	-0.500
C2-0	0.021	-0.488
C3-0	-0.074	-0.650
C4-0	0.138	-0.684
C5-0	-0.057	-0.788
C6-0	-0.077	-0.716
C7-0	-0.089	-1.077
C8-0	-0.192	-1.441
C9-0	-0.007	-1.472
C10-0	-0.036	-1.587
C11-0	-0.074	-1.431
C12-0	-0.261	-1.806
C13-0	-0.192	-1.779
C14-0	-0.037	-1.631
C15-0	-0.158	-1.588
C16-0	-0.011	-1.256
C17-0	-0.046	-1.123
C18-0	-0.001	-1.024
C19-0	0.163	-0.830
C20-0	0.061	-0.989
C21-0	0.046	-0.699
C22-0	0.014	-0.599
C23-0	-0.004	-0.410
C24-0	-0.031	-0.413
C25-0	0.078	-0.513
C26-0	-0.031	-0.345
C27-0	0.038	-0.531
C28-0	-0.004	-0.404
C29-0	-0.028	-0.460
C30-0	0.261	-1.406
C31-0	0.655	-0.179
C32-0	0.939	0.152
C33-0	0.978	-0.163
C34-0	0.906	0.079
C35-0	0.630	-0.321
C36-0	0.128	-1.433
C37-0	-0.02	-0.439
C38-0	-0.002	-0.423
C39-0	-0.006	-0.334
C40-0	-0.014	-0.296
C41-0	-0.016	-0.307
C42-0	-0.015	-0.319

ตารางที่ ช-19 ค่าสัมประสิทธิ์ความดันลมสูงสุด, ต่ำสุด
สำหรับทิศทางลม 45 องศา ตำแหน่งวัดความดันลมระดับ C

ตำแหน่ง	ค่าสัมประสิทธิ์ความดันลม	
	สูงสุด	ต่ำสุด
C1-45	0.073	-0.537
C2-45	0.179	-0.266
C3-45	0.227	-0.222
C4-45	0.449	-0.075
C5-45	0.342	-0.099
C6-45	0.361	-0.134
C7-45	0.457	-0.012
C8-45	0.692	-0.299
C9-45	0.987	0.079
C10-45	0.945	0.153
C11-45	0.958	0.071
C12-45	-0.197	-0.671
C13-45	-0.218	-0.847
C14-45	-0.239	-0.812
C15-45	-0.239	-0.924
C16-45	-0.170	-0.846
C17-45	-0.255	-0.842
C18-45	-0.228	-0.853
C19-45	-0.229	-0.845
C20-45	-0.246	-0.771
C21-45	-0.222	-0.771
C22-45	-0.162	-0.690
C23-45	-0.134	-0.579
C24-45	-0.085	-0.518
C25-45	-0.065	-0.515
C26-45	0.257	-0.688
C27-45	0.006	-0.857
C28-45	-0.186	-0.792
C29-45	-0.093	-0.828
C30-45	0.891	0.122
C31-45	0.729	-0.805
C32-45	0.477	-0.191
C33-45	0.543	-0.061
C34-45	0.288	-0.204
C35-45	-0.012	-0.377
C36-45	-0.249	-0.749
C37-45	-0.167	-0.593
C38-45	-0.162	-0.628
C39-45	-0.170	-0.594
C40-45	-0.089	-0.573
C41-45	-0.157	-0.672
C42-45	-0.145	-0.586

ตารางที่ ช-20 ค่าสัมประสิทธิ์ความดันลมสูงสุด, ต่ำสุด
สำหรับพิกัดทางละ 90 องศา ตัวแหน่งวัดความดันลมระดับ C

ตัวแหน่ง	ค่าสัมประสิทธิ์ความดันลม	
	สูงสุด	ต่ำสุด
C1-90	0.847	0.091
C2-90	0.885	0.159
C3-90	0.931	0.093
C4-90	0.912	0.125
C5-90	0.850	0.146
C6-90	0.729	0.097
C7-90	0.572	0.037
C8-90	0.252	-0.322
C9-90	0.057	-0.663
C10-90	0.253	-0.914
C11-90	0.522	-0.410
C12-90	-0.128	-0.827
C13-90	-0.128	-0.749
C14-90	-0.141	-0.808
C15-90	-0.087	-0.752
C16-90	-0.170	-0.748
C17-90	-0.218	-0.673
C18-90	-0.148	-0.709
C19-90	-0.219	-0.677
C20-90	-0.212	-0.739
C21-90	-0.235	-0.694
C22-90	-0.167	-0.870
C23-90	-0.148	-0.841
C24-90	-0.202	-0.815
C25-90	-0.158	-0.794
C26-90	0.595	-0.178
C27-90	1.013	-0.025
C28-90	0.777	0.003
C29-90	0.755	-0.023
C30-90	0.160	-0.553
C31-90	-0.171	-1.122
C32-90	-0.210	-1.365
C33-90	-0.197	-0.800
C34-90	-0.173	-1.302
C35-90	-0.172	-1.510
C36-90	-0.051	-0.763
C37-90	-0.158	-0.833
C38-90	-0.145	-1.162
C39-90	-0.117	-1.043
C40-90	-0.212	-1.059
C41-90	-0.234	-0.963
C42-90	-0.252	-1.039

ตารางที่ ช-21 ค่าสัมประสิทธิ์ความดันลมสูงสุด, ต่ำสุด
สำหรับกีฬากางล้ม 135 องศา ตำแหน่งวัดความดันลมระดับ C

ตำแหน่ง	ค่าสัมประสิทธิ์ความดันลม	
	สูงสุด	ต่ำสุด
C1-135	0.646	-0.310
C2-135	0.553	0.002
C3-135	0.467	-0.077
C4-135	0.432	-0.135
C5-135	0.521	-0.034
C6-135	0.310	-0.150
C7-135	0.174	-0.229
C8-135	-0.119	-0.574
C9-0	-0.185	-0.720
C10-135	-0.235	-0.958
C11-135	-0.048	-0.896
C12-135	-0.115	-0.511
C13-135	-0.147	-0.515
C14-135	-0.126	-0.519
C15-135	-0.180	-0.632
C16-135	-0.147	-0.600
C17-135	-0.183	-0.902
C18-135	-0.149	-0.679
C19-135	-0.125	-0.707
C20-135	-0.141	-0.994
C21-135	-0.141	-0.593
C22-135	-0.136	-0.551
C23-135	-0.130	-0.537
C24-135	-0.116	-0.526
C25-135	-0.109	-0.520
C26-135	1.022	0.149
C27-135	0.964	0.115
C28-135	0.905	0.145
C29-135	0.967	0.146
C30-135	-0.220	-0.854
C31-135	-0.029	-0.586
C32-135	-0.106	-0.547
C33-135	-0.139	-0.598
C34-135	-0.123	-0.020
C35-135	-0.159	-0.647
C36-135	-0.144	-0.606
C37-135	-0.137	-0.621
C38-135	0.065	-0.362
C39-135	0.369	-0.209
C40-135	0.694	-0.145
C41-135	0.615	-0.206
C42-135	0.754	-0.476

สำหรับทิศทางลม 180 องศา ตำแหน่งวัดความดันลมระดับ C

ตำแหน่ง	ค่าสัมประสิทธิ์ความดันลม	
	สูงสุด	ต่ำสุด
C1-180	-0.023	-1.500
C2-180	-0.030	-1.322
C3-180	0.046	-1.086
C4-180	-0.006	-0.916
C5-180	0.094	-0.837
C6-180	0.031	-0.926
C7-180	0.049	-0.909
C8-180	-0.028	-0.611
C9-180	-0.055	-0.626
C10-180	0.013	-0.864
C11-180	-0.012	-0.600
C12-180	-0.003	-0.435
C13-180	-0.042	-0.426
C14-180	-0.060	-0.425
C15-180	-0.035	-0.506
C16-180	-0.001	-0.394
C-17-180	-0.026	-0.475
C18-180	0.219	-0.407
C19-180	0.072	-0.628
C20-180	0.016	-0.517
C21-180	-0.006	-0.908
C22-180	-0.071	-1.061
C23-180	0.513	-1.393
C24-180	0.292	-1.639
C25-180	0.120	-1.538
C26-180	0.088	-1.505
C27-180	0.061	-1.955
C28-180	-0.046	-1.600
C29-180	0.233	-1.841
C30-180	-0.029	-0.382
C31-180	-0.019	-0.442
C32-180	-0.026	-0.334
C33-180	-0.021	-0.318
C34-180	-0.023	-0.334
C35-180	-0.030	-0.409
C36-180	-0.027	-0.456
C37-180	0.430	-1.552
C38-180	0.664	-0.216
C39-180	0.944	0.028
C40-180	0.972	0.078
C41-180	0.916	0.063
C42-180	0.512	-0.254

ตารางที่ ข-23 ค่าสัมประสิทธิ์ความดันลมสูงสุด, ต่ำสุด
สำหรับทิศทางลม 225 องศา ตำแหน่งวัดความดันลมระดับ C

ตำแหน่ง	ค่าสัมประสิทธิ์ความดันลม	
	สูงสุด	ต่ำสุด
C1-225	-0.127	-0.506
C2-225	-0.140	-0.518
C3-225	-0.174	-0.578
C4-225	-0.173	-0.521
C5-225	-0.199	-0.528
C6-225	-0.205	-0.553
C7-225	-0.215	-0.545
C8-225	-0.189	-0.579
C9-225	-0.172	-0.510
C10-225	-0.18	-0.569
C11-225	-0.129	-0.473
C12-225	0.373	-0.728
C13-225	-0.165	-0.891
C14-225	-0.241	-0.866
C15-225	0.055	-0.450
C16-225	0.353	-0.150
C17-225	0.468	-0.087
C18-225	0.673	-0.011
C19-225	0.612	-0.007
C20-225	0.676	0.053
C21-225	0.703	0.084
C22-225	0.902	-0.113
C23-225	0.780	0.103
C24-225	0.814	0.052
C25-225	0.752	0.011
C26-225	-0.098	-0.489
C27-225	-0.120	-0.533
C28-225	-0.177	-0.511
C29-225	-0.164	-0.481
C30-225	-0.089	-0.496
C31-225	-0.137	-0.696
C32-225	-0.181	-0.506
C33-225	-0.187	-0.491
C34-225	-0.144	-0.496
C35-225	-0.150	-0.529
C36-225	-0.246	-0.850
C37-225	0.916	0.136
C38-225	0.540	-0.799
C39-225	0.451	-0.747
C40-225	0.332	-0.371
C41-225	0.412	-0.608
C42-225	-0.008	-0.413

ตารางที่ ข-24 ค่าสัมประสิทธิ์ความดันลมสูงสุด, ต่ำสุด
สำหรับทิศทางลม 270 องศา ตำแหน่งวัดความดันลมระดับ C

ตำแหน่ง	ค่าสัมประสิทธิ์ความดันลม	
	สูงสุด	ต่ำสุด
C1-270	-0.105	-0.867
C2-270	-0.146	-0.830
C3-270	-0.141	-0.665
C4-270	-0.125	-0.655
C5-270	-0.063	-0.669
C6-270	-0.133	-0.670
C7-270	-0.112	-0.710
C8-270	-0.203	-0.731
C9-270	-0.170	-0.826
C10-270	-0.149	-0.978
C11-270	-0.033	-0.868
C12-270	0.453	-0.216
C13-270	0.892	-0.212
C14-270	0.421	-0.256
C15-270	0.661	-0.099
C16-270	0.741	0.035
C17-270	0.917	0.082
C18-270	0.919	0.112
C19-270	0.840	0.150
C20-270	0.952	0.042
C21-270	0.847	0.067
C22-270	0.695	-0.048
C23-270	0.355	-0.262
C24-270	0.546	-0.266
C25-270	0.717	-0.286
C26-270	-0.103	-1.284
C27-270	-0.028	-1.059
C28-270	-0.079	-0.970
C29-270	-0.108	-0.799
C30-270	-0.198	-0.818
C31-270	-0.078	-1.267
C32-270	-0.211	-1.246
C33-270	-0.143	-0.896
C34-270	-0.131	-0.895
C35-270	-0.114	-1.092
C36-270	0.490	-0.184
C37-270	0.375	-0.270
C38-270	-0.142	-0.736
C39-270	-0.126	-0.765
C40-270	-0.178	-0.835
C41-270	-0.121	-0.961
C42-270	-0.190	-1.435

ตารางที่ ข-25 ค่าสัมประสิทธิ์ความดันลมสูงสุด, ต่ำสุด
สำหรับกีติกทางลม 315 องศา ตำแหน่งวัดความดันลมระดับ C

ตำแหน่ง	ค่าสัมประสิทธิ์ความดันลม	
	สูงสุด	ต่ำสุด
C1-315	-0.235	-0.955
C2-315	-0.231	-0.860
C3-315	-0.184	-0.782
C4-315	-0.129	-0.654
C5-315	-0.160	-0.691
C6-315	-0.139	-0.704
C7-315	-0.192	-1.040
C8-315	-0.178	-0.687
C9-315	-0.209	-0.640
C10-315	-0.190	-0.646
C11-315	-0.184	-0.659
C12-315	1.014	0.170
C13-315	0.860	0.146
C14-315	0.879	0.207
C15-315	0.592	-0.367
C16-315	0.496	-0.114
C17-315	0.409	-0.101
C18-315	0.360	-0.065
C19-315	0.591	-0.008
C20-315	0.319	-0.180
C21-315	0.184	-0.297
C22-315	-0.052	-0.622
C23-315	-0.292	-1.120
C24-315	-0.293	-1.077
C25-315	0.102	-1.070
C26-315	-0.135	-0.908
C27-315	-0.144	-0.776
C28-315	-0.057	-0.794
C29-315	-0.105	-0.683
C30-315	-0.194	-0.634
C31-315	0.155	-0.318
C32-315	0.450	-0.149
C33-315	0.706	-0.050
C34-315	0.563	-0.209
C35-315	0.722	-0.383
C36-315	0.983	-0.103
C37-315	-0.282	-1.096
C38-315	-0.076	-0.792
C39-315	-0.064	-0.883
C40-315	-0.109	-0.709
C41-315	-0.138	-1.395
C42-315	-0.126	-1.033

สำหรับกีฬากางลน 0 องศา ตำแหน่งวัดความดันลมระดับ D

ตำแหน่ง	ค่าสัมประสิทธิ์ความดันลม	
	สูงสุด	ต่ำสุด
D1-0	-0.052	-0.422
D2-0	-0.042	-0.449
D3-0	-0.074	-0.834
D4-0	0.089	-0.635
D5-0	-0.104	-0.715
D6-0	-0.103	-1.022
D7-0	-0.238	-1.123
D8-0	-0.239	-1.400
D9-0	-0.152	-1.694
D10-0	-0.045	-1.431
D11-0	-0.116	-1.531
D12-0	-0.270	-1.451
D13-0	-0.206	-1.595
D14-0	-0.128	-1.454
D15-0	-0.124	-1.413
D16-0	-0.045	-1.271
D17-0	-0.038	-1.385
D18-0	0.008	-1.140
D19-0	0.103	-1.030
D20-0	0.105	-1.061
D21-0	0.051	-0.755
D22-0	0.102	-0.587
D23-0	-0.013	-0.468
D24-0	0.008	-0.531
D25-0	0.126	-0.568
D26-0	0.042	-0.426
D27-0	0.037	-0.470
D28-0	-0.024	-0.495
D29-0	0.011	-0.512
D30-0	-0.071	-1.571
D31-0	0.663	-0.190
D32-0	0.957	-0.012
D33-0	0.814	0.026
D34-0	0.974	0.072
D35-0	0.614	-0.208
D36-0	-0.098	-1.497
D37-0	-0.062	-0.468
D38-0	0.008	-0.407
D39-0	-0.029	-0.425
D40-0	-0.016	-0.287
D41-0	-0.008	-0.263
D42-0	0.005	-0.351



ตารางที่ ช-27 ค่าสัมประสิทธิ์ความดันลมสูงสุด, ต่ำสุด
สำหรับทิศทางลม 45 องศา ตำแหน่งวัดความดันลมระดับ D

ตำแหน่ง	ค่าสัมประสิทธิ์ความดันลม	
	สูงสุด	ต่ำสุด
D1-45	0.089	-0.447
D2-45	0.346	-0.223
D3-45	0.388	-0.117
D4-45	0.589	-0.026
D5-45	0.492	-0.073
D6-45	0.532	-0.043
D7-45	0.698	0.029
D8-45	0.822	-0.106
D9-45	0.940	0.150
D10-45	0.926	0.104
D11-45	1.033	0.084
D12-45	-0.091	-0.512
D13-45	-0.142	-0.507
D14-45	-0.150	-0.545
D15-45	-0.142	-0.526
D16-45	-0.110	-0.611
D17-45	-0.089	-0.578
D18-45	-0.125	-0.546
D19-45	-0.152	-0.525
D20-45	-0.098	-0.587
D21-45	-0.121	-0.558
D22-45	-0.111	-0.653
D23-45	-0.077	-0.504
D24-45	-0.136	-0.529
D25-45	-0.081	-0.570
D26-45	0.212	-0.827
D27-45	0.253	-0.758
D28-45	-0.158	-0.847
D29-45	-0.063	-0.896
D30-45	1.016	0.233
D31-45	0.681	-0.619
D32-45	0.494	-0.484
D33-45	0.412	-0.295
D34-45	0.360	-0.202
D35-45	0.030	-0.351
D36-45	-0.138	-0.545
D37-45	-0.086	-0.494
D38-45	-0.104	-0.591
D39-45	-0.110	-0.518
D40-45	-0.095	-0.507
D41-45	-0.081	-0.484
D42-45	-0.137	-0.533

สำหรับพิกัดทางลม 90 องศา ตำแหน่งงวดความดันลมระดับ D

ตำแหน่ง	ค่าสัมประสิทธิ์ความดันลม	
	สูงสุด	ต่ำสุด
D1-90	0.958	0.066
D2-90	0.934	0.173
D3-90	0.914	0.105
D4-90	0.925	0.196
D5-90	0.918	0.212
D6-90	0.842	0.050
D7-90	0.732	0.119
D8-90	0.572	-0.079
D9-90	0.291	-0.447
D10-90	0.460	-0.510
D11-90	0.622	-0.258
D12-90	-0.161	-0.702
D13-90	-0.047	-1.005
D14-90	-0.101	-0.674
D15-90	-0.176	-0.631
D16-90	-0.064	-0.563
D17-90	-0.130	-0.701
D18-90	-0.072	-0.673
D19-90	-0.138	-0.606
D20-90	-0.119	-0.613
D21-90	-0.218	-0.639
D22-90	-0.120	-0.654
D23-90	-0.142	-0.684
D24-90	-0.130	-0.789
D25-90	-0.191	-0.706
D26-90	0.591	-0.063
D27-90	0.958	-0.013
D28-90	0.709	-0.066
D29-90	0.652	-0.072
D30-90	0.277	-0.370
D31-90	-0.119	-0.689
D32-90	-0.173	-0.814
D33-90	-0.160	-0.666
D34-90	-0.192	-0.943
D35-90	-0.197	-1.020
D36-90	-0.135	-0.794
D37-90	-0.212	-0.867
D38-90	-0.208	-1.250
D39-90	-0.196	-0.992
D40-90	-0.229	-1.118
D41-90	-0.207	-0.775
D42-90	-0.198	-0.770

สำหรับกีฬากางล้ม 135 องศา ตำแหน่งวัดความดันลมระดับ D

ตำแหน่ง	ค่าสัมประสิทธิ์ความดันลม	
	สูงสุด	ต่ำสุด
D1-135	0.769	-0.288
D2-135	0.580	0.019
D3-135	0.448	-0.029
D4-135	0.390	-0.050
D5-135	0.593	-0.046
D6-135	0.307	-0.117
D7-135	0.166	-0.237
D8-135	-0.071	-0.503
D9-135	-0.225	-0.856
D10-135	-0.235	-0.961
D11-135	-0.206	-0.850
D12-135	-0.116	-0.549
D13-135	-0.145	-0.510
D14-135	-0.112	-0.499
D15-135	-0.149	-0.571
D16-135	-0.184	-0.500
D17-135	-0.168	-0.507
D18-135	-0.155	-0.584
D19-135	-0.138	-0.533
D20-135	-0.155	-0.488
D21-135	-0.139	-0.516
D22-135	-0.097	-0.553
D23-135	-0.098	-0.506
D24-135	-0.153	-0.490
D25-135	-0.128	-0.491
D26-135	1.025	-0.107
D27-135	0.952	0.161
D28-135	0.980	0.129
D29-135	1.049	0.130
D30-135	-0.197	-0.916
D31-135	-0.078	-0.586
D32-135	-0.128	-0.598
D33-135	-0.129	-0.535
D34-135	-0.098	-0.581
D35-135	-0.141	-0.615
D36-135	-0.122	-0.506
D37-135	-0.158	-0.495
D38-135	0.165	-0.303
D39-135	0.440	-0.168
D40-135	0.686	-0.030
D41-135	0.722	-0.235
D42-135	0.922	-0.343

ตารางที่ ข-30 ค่าสัมประสิทธิ์ความดันลมสูงสุด, ต่ำสุด
สำหรับพิกัดทางลม 180 องศา ตำแหน่งวัดความดันลมระดับ D

ตำแหน่ง	ค่าสัมประสิทธิ์ความดันลม	
	สูงสุด	ต่ำสุด
D1-180	-0.045	-1.467
D2-180	-0.086	-1.491
D3-180	-0.011	-1.129
D4-180	-0.011	-1.146
D5-180	0.054	-1.004
D6-180	0.015	-0.921
D7-180	0.049	-0.949
D8-180	0.060	-0.857
D9-180	0.007	-0.634
D10-180	0.034	-0.575
D11-180	0.052	-0.702
D12-180	-0.020	-0.580
D13-180	-0.088	-0.459
D14-180	-0.059	-0.528
D15-180	-0.019	-0.437
D16-180	-0.033	-0.523
D17-180	-0.043	-0.668
D18-180	0.226	-0.749
D19-180	0.003	-0.737
D20-180	0.009	-1.027
D21-180	-0.003	-0.959
D22-180	-0.151	-1.110
D23-180	0.326	-1.357
D24-180	0.120	-1.297
D25-180	0.090	-1.208
D26-180	0.101	-1.313
D27-180	0.006	-1.529
D28-180	0.137	-1.267
D29-180	0.209	-1.366
D30-180	-0.007	-0.389
D31-180	0.004	-0.440
D32-180	-0.026	-0.353
D33-180	-0.010	-0.298
D34-180	0.005	-0.282
D35-180	-0.002	-0.346
D36-180	-0.058	-0.418
D37-180	0.207	-1.537
D38-180	0.691	-0.217
D39-180	0.898	0.113
D40-180	0.994	0.078
D41-180	0.976	0.168
D42-180	0.532	-0.240

ตารางที่ ข-31 ค่าสัมประสิทธิ์ความดันลมสูงสุด, ต่ำสุด
สำหรับทิศทางลม 225 องศา ตัวแหน่งวัดความดันลมระดับ D

ตัวแหน่ง	ค่าสัมประสิทธิ์ความดันลม	
	สูงสุด	ต่ำสุด
D1-225	-0.193	-0.490
D2-225	-0.178	-0.507
D3-225	-0.195	-0.548
D4-225	-0.165	-0.512
D5-225	-0.184	-0.507
D6-225	-0.203	-0.512
D7-225	-0.174	-0.510
D8-225	-0.206	-0.615
D9-225	-0.144	-0.495
D10-225	-0.122	-0.453
D11-225	-0.143	-0.475
D12-225	0.239	-0.786
D13-225	-0.221	-0.952
D14-225	-0.275	-0.868
D15-225	0.046	-0.428
D16-225	0.385	-0.169
D17-225	0.559	-0.089
D18-225	0.698	0.011
D19-225	0.629	0.076
D20-225	0.675	0.046
D21-225	0.849	0.061
D22-225	0.933	-0.129
D23-225	1.070	0.240
D24-225	0.954	0.066
D25-225	1.019	0.189
D26-225	-0.130	-0.477
D27-225	-0.090	-0.477
D28-225	-0.136	-0.507
D29-225	-0.146	-0.508
D30-225	-0.152	-0.501
D31-225	-0.123	-0.526
D32-225	-0.138	-0.519
D33-225	-0.126	-0.521
D34-225	-0.110	-0.523
D35-225	-0.103	-0.586
D36-225	-0.245	-0.910
D37-225	1.144	0.107
D38-225	0.635	-0.728
D39-225	0.440	-0.966
D40-225	0.445	-0.406
D41-225	0.274	-0.336
D42-225	0.021	-0.297

ตารางที่ ๔-๓๒ ค่าสัมประสิทธิ์ความดันลมสูงสุด, ต่ำสุด

สำหรับพิกัดทางลง 270 องศา ตำแหน่งวัดความดันลมระดับ D

ตำแหน่ง	ค่าสัมประสิทธิ์ความดันลม	
	สูงสุด	ต่ำสุด
D1-270	-0.104	-0.621
D2-270	-0.039	-0.603
D3-270	-0.081	-0.547
D4-270	-0.028	-0.539
D5-270	-0.092	-0.526
D6-270	-0.071	-0.570
D7-270	-0.104	-0.604
D8-270	-0.123	-0.660
D9-270	-0.190	-0.796
D10-270	-0.184	-0.769
D11-270	-0.188	-0.131
D12-270	0.748	-0.121
D13-270	0.854	-0.096
D14-270	0.668	0.087
D15-270	0.799	0.121
D16-270	0.905	0.067
D17-270	0.936	0.207
D18-270	0.957	0.121
D19-270	0.956	0.240
D20-270	0.951	0.125
D21-270	0.921	0.004
D22-270	0.681	-0.514
D23-270	0.373	-0.216
D24-270	0.575	-0.298
D25-270	0.782	-0.251
D26-270	-0.094	-0.755
D27-270	0.028	-0.899
D28-270	-0.047	-0.947
D29-270	-0.082	-0.646
D30-270	-0.173	-0.752
D31-270	-0.125	-1.101
D32-270	-0.215	-0.966
D33-270	-0.143	-0.836
D34-270	-0.195	-0.724
D35-270	-0.194	-0.683
D36-270	0.716	-0.227
D37-270	0.361	-0.299
D38-270	-0.114	-0.858
D39-270	-0.125	-0.774
D40-270	-0.110	-0.956
D41-270	-0.106	-0.845
D42-270	-0.140	-0.957

ตารางที่ ช-33 ค่าสัมประสิทธิ์ความดันลมสูงสุด, ต่ำสุด
สำหรับทิศทางลม 315 องศา คำนวณร่วมด้วยความดันลมระดับ D

ตำแหน่ง	ค่าสัมประสิทธิ์ความดันลม	
	สูงสุด	ต่ำสุด
D1-315	-0.191	-0.832
D2-315	-0.220	-0.770
D3-315	-0.219	-0.599
D4-315	-0.204	-0.726
D5-315	-0.207	-0.686
D6-315	-0.233	-0.695
D7-315	-0.140	-0.682
D8-315	-0.187	-0.597
D9-315	-0.204	-0.651
D10-315	-0.203	-0.603
D11-315	-0.199	-0.606
D12-315	0.965	0.112
D13-315	0.978	0.133
D14-315	0.903	0.184
D15-315	0.685	-0.384
D16-315	0.636	-0.047
D17-315	0.440	-0.023
D18-315	0.409	-0.051
D19-315	0.538	-0.075
D20-315	0.302	-0.159
D21-315	0.213	-0.197
D22-315	-0.029	-0.572
D23-315	-0.324	-1.027
D24-315	-0.314	-1.049
D25-315	-0.094	-1.077
D26-315	-0.188	-0.691
D27-315	-0.173	-0.698
D28-315	-0.142	-0.696
D29-315	-0.123	-0.725
D30-315	-0.124	-0.581
D31-315	0.143	-0.314
D32-315	0.404	-0.127
D33-315	0.632	0.056
D34-315	0.757	0.006
D35-315	0.834	-0.248
D36-315	0.989	0.090
D37-315	-0.324	-1.048
D38-315	-0.153	-0.827
D39-315	-0.154	-0.718
D40-315	-0.136	-0.644
D41-315	-0.168	-0.673
D42-315	-0.188	-0.986

ตารางที่ ข-34 ค่าสัมประสิทธิ์ความดันลมสูงสุด, ต่ำสุด
สำหรับพิกัดทางลม 0 องศา ตำแหน่งวัดความดันลมระดับ E

ตำแหน่ง	ค่าสัมประสิทธิ์ความดันลม	
	สูงสุด	ต่ำสุด
E1-0	0.014	-0.493
E2-0	-0.013	-0.520
E3-0	-0.051	-0.731
E4-0	0.052	-0.571
E5-0	0.010	-0.852
E6-0	0.495	-0.483
E7-0	-0.091	-1.115
E8-0	-0.263	-1.262
E9-0	0.024	-1.452
E10-0	-0.324	-1.731
E11-0	-0.122	-1.426
E12-0	-0.212	-1.522
E13-0	0.517	-1.537
E14-0	-0.153	-1.423
E15-0	-0.129	-1.302
E16-0	-0.078	-1.199
E17-0	0.012	-1.217
E18-0	-0.001	-1.016
E19-0	0.093	-1.011
E20-0	0.038	-0.620
E21-0	0.043	-0.619
E22-0	0.061	-0.611
E23-0	-0.020	-0.520
E24-0	0.028	-0.547
E25-0	0.081	-0.540
E26-0	0.022	-0.444
E27-0	0.027	-0.502
E28-0	0.017	-0.406
E29-0	0.031	-0.362
E30-0	0.591	-1.347
E31-0	0.575	-0.217
E32-0	0.904	0.061
E33-0	0.954	0.001
E34-0	1.055	0.096
E35-0	0.577	-0.270
E36-0	0.230	-1.422
E37-0	-0.404	-0.485
E38-0	0.024	-0.468
E39-0	-0.011	-0.326
E40-0	-0.012	-0.335
E41-0	-0.014	-0.334
E42-0	-0.004	-0.397

ตารางที่ ข-35 ค่าสัมประสิทธิ์ความดันลมสูงสุด, ตัวสูด
สำหรับทิศทางลม 45 องศา ตำแหน่งวัดความดันลมระดับ E

ตำแหน่ง	ค่าสัมประสิทธิ์ความดันลม	
	สูงสุด	ต่ำสุด
E1-45	0.083	-0.409
E2-45	0.401	-0.168
E3-45	0.481	-0.087
E4-45	0.613	-0.020
E5-45	0.705	-0.037
E6-45	0.655	0.006
E7-45	0.723	0.068
E8-45	0.864	-0.112
E9-45	1.004	-2.885
E10-45	1.051	0.228
E11-45	0.943	0.139
E12-45	-0.190	-0.527
E13-45	0.658	-0.495
E14-45	-0.184	-0.539
E15-45	-0.137	-0.542
E16-45	-0.175	-0.524
E17-45	-0.155	-0.575
E18-45	-0.172	-0.571
E19-45	-0.172	-0.553
E20-45	-0.181	-0.558
E21-45	-0.114	-0.587
E22-45	-0.085	-0.622
E23-45	-0.096	-0.535
E24-45	-0.118	-0.520
E25-45	-0.081	-0.574
E26-45	0.296	-0.812
E27-45	-0.124	-0.847
E28-45	-0.239	-0.840
E29-45	-0.230	-0.909
E30-45	1.041	0.191
E31-45	0.711	-0.494
E32-45	0.614	-0.682
E33-45	0.482	-0.231
E34-45	0.351	-0.198
E35-45	0.068	-0.355
E36-45	-0.170	-0.551
E37-45	-0.112	-0.572
E38-45	-0.156	-0.721
E39-45	-0.154	-0.587
E40-45	-0.137	-0.563
E41-45	-0.143	-0.581
E42-45	-0.139	-0.537

ตารางที่ ข-36 ค่าสัมประสิทธิ์ความดันลมสูงสุด, ต่ำสุด
สำหรับกีฬาทางลม 90 องศา ตำแหน่งวัดความดันลมระดับ E

ตำแหน่ง	ค่าสัมประสิทธิ์ความดันลม	
	สูงสุด	ต่ำสุด
E1-90	0.902	0.076
E2-90	1.038	0.056
E3-90	0.917	0.162
E4-90	0.977	0.246
E5-90	0.998	0.206
E6-90	0.944	0.209
E7-90	0.835	0.093
E8-90	0.615	-0.112
E9-90	0.362	-0.338
E10-90	0.533	-0.651
E11-90	0.614	-0.274
E12-90	-0.124	-0.718
E13-90	-0.121	-0.653
E14-90	-0.153	-0.621
E15-90	-0.130	-0.657
E16-90	-0.157	-0.561
E17-90	-0.173	-0.576
E18-90	-0.181	-0.646
E19-90	-0.176	-0.578
E20-90	-0.184	-0.693
E21-90	-0.166	-0.669
E22-90	-0.178	-0.705
E23-90	-0.159	-0.796
E24-90	-0.157	-0.709
E25-90	-0.150	-0.795
E26-90	0.776	-0.027
E27-90	0.883	-0.032
E28-90	0.611	0.002
E29-90	0.686	-0.026
E30-90	0.430	-0.221
E31-90	-0.173	-0.638
E32-90	-0.174	-0.663
E33-90	-0.171	-0.856
E34-90	-0.177	-0.891
E35-90	-0.195	-1.057
E36-90	-0.147	-0.762
E37-90	-0.150	-0.714
E38-90	-0.207	-1.286
E39-90	-0.178	-0.830
E40-90	-0.123	-1.140
E41-90	-0.198	-0.806
E42-90	-0.194	-1.034

ตารางที่ ข-37 ค่าสัมประสิทธิ์ความดันลมสูงสุด, ต่ำสุด
สำหรับกีฬากอล์ฟ 135 องศา ตัวแทนวัดความดันลมระดับ E

ตัวแทน	ค่าสัมประสิทธิ์ความดันลม	
	สูงสุด	ต่ำสุด
E1-135	0.681	-0.322
E2-135	0.591	-0.004
E3-135	0.562	-0.081
E4-135	0.415	-0.129
E5-135	0.592	-0.012
E6-135	0.336	-0.134
E7-135	0.619	-0.245
E8-135	-0.123	-0.628
E9-135	-0.226	-0.849
E10-135	-0.272	-0.995
E11-135	-0.152	-0.933
E12-135	-0.129	-0.717
E13-135	-0.138	-0.584
E14-135	-0.103	-0.520
E15-135	-0.164	-0.710
E16-135	-0.130	-0.566
E17-135	-0.148	-0.516
E18-135	-0.147	-0.509
E19-135	-0.123	-0.488
E20-135	-0.128	-0.612
E21-135	-0.115	-0.484
E22-135	-0.110	-0.491
E23-135	-0.115	-0.484
E24-135	-0.120	-0.486
E25-135	-0.118	-0.505
E26-135	0.961	0.174
E27-135	1.011	0.258
E28-135	1.050	0.196
E29-135	1.045	0.266
E30-135	-0.229	-0.853
E31-135	-0.039	-0.590
E32-135	-0.106	-0.506
E33-135	-0.120	-0.530
E34-135	-0.104	-0.558
E35-135	-0.144	-0.574
E36-135	-0.107	-0.474
E37-135	-0.122	-0.535
E38-135	0.101	-0.310
E39-135	0.394	-0.141
E40-135	0.697	-0.247
E41-135	0.681	0.051
E42-135	0.895	-0.445

ตารางที่ ข-38 ค่าสัมประสิทธิ์ความดันลมสูงสุด, ต่ำสุด
สำหรับทิศทางลม 180 องศา ตำแหน่งวัดความดันลมระดับ E

ตำแหน่ง	ค่าสัมประสิทธิ์ความดันลม	
	สูงสุด	ต่ำสุด
E1-180	-0.126	-1.429
E2-180	-0.076	-1.475
E3-180	-0.079	-1.287
E4-180	-0.037	-0.961
E5-180	0.063	-1.064
E6-180	0.017	-0.885
E7-180	0.035	-0.752
E8-180	-0.047	-0.720
E9-180	-0.059	-0.586
E10-180	0.067	-0.574
E11-180	0.031	-0.685
E12-180	0.025	-0.585
E13-180	-0.049	-0.422
E14-180	-0.048	-0.439
E15-180	-0.035	-0.517
E16-180	-0.023	-0.499
E17-180	0.022	-0.639
E18-180	0.187	-0.565
E19-180	-0.051	-0.667
E20-180	-0.045	-0.773
E21-180	0.001	-0.892
E22-180	-0.155	-1.179
E23-180	-0.097	-1.395
E24-180	-0.228	-1.323
E25-180	-0.096	-1.342
E26-180	-0.236	-1.417
E27-180	-0.146	-1.676
E28-180	-0.161	-1.527
E29-180	0.050	-1.444
E30-180	-0.057	-0.517
E31-180	0.002	-0.486
E32-180	-0.028	-0.367
E33-180	-0.027	-0.319
E34-180	-0.028	-0.318
E35-180	-0.023	-0.397
E36-180	-0.036	-0.474
E37-180	0.028	-1.489
E38-180	0.613	-0.220
E39-180	0.914	0.058
E40-180	0.846	0.052
E41-180	0.945	0.163
E42-180	0.534	-0.211

ตารางที่ ข-39 ค่าสัมประสิทธิ์ความดันลมสูงสุด, ต่ำสุด
สำหรับกิจกรรม 225 องศา ตำแหน่งน่องวัดความดันลมระดับ E

131

ตำแหน่ง	ค่าสัมประสิทธิ์ความดันลม	
	สูงสุด	ต่ำสุด
E1-225	-0.160	-0.541
E2-225	-0.155	-0.524
E3-225	-0.136	-0.497
E4-225	-0.173	-0.517
E5-225	-0.159	-0.512
E6-225	-0.149	-0.518
E7-225	-0.172	-0.537
E8-225	-0.182	-0.601
E9-225	-0.109	-0.535
E10-225	-0.133	-0.517
E11-225	-0.077	-0.518
E12-225	0.273	-0.773
E13-225	-0.288	-0.949
E14-225	-0.216	-0.881
E15-225	0.053	-0.438
E16-225	0.394	-0.117
E17-225	0.501	-0.045
E18-225	0.752	-0.002
E19-225	0.676	0.031
E20-225	0.690	0.073
E21-225	0.862	0.106
E22-225	0.925	-0.050
E23-225	1.104	0.170
E24-225	1.046	0.282
E25-225	0.935	0.203
E26-225	-0.136	-0.505
E27-225	-0.160	-0.491
E28-225	-0.127	-0.532
E29-225	-0.130	-0.467
E30-225	-0.107	-0.466
E31-225	-0.094	-0.530
E32-225	-0.143	-0.524
E33-225	-0.117	-0.493
E34-225	-0.129	-0.537
E35-225	-0.117	-0.516
E36-225	-0.203	-0.852
E37-225	0.985	0.139
E38-225	0.682	-0.709
E39-225	0.508	-0.765
E40-225	0.481	-0.353
E41-225	0.266	-0.365
E42-225	0.061	-0.312

ตารางที่ ช-40 ค่าสัมประสิทธิ์ความดันลมสูงสุด, ต่ำสุด
สำหรับทิศทางลม 270 องศา ตำแหน่งวัดความดันลมระดับ E

ตำแหน่ง	ค่าสัมประสิทธิ์ความดันลม	
	สูงสุด	ต่ำสุด
E1-270	0.008	-0.799
E2-270	-0.021	-0.824
E3-270	-0.139	-0.600
E4-270	-0.135	-0.634
E5-270	-0.134	-0.552
E6-270	-0.152	-0.627
E7-270	-0.140	-0.582
E8-270	-0.129	-0.694
E9-270	-0.220	-0.702
E10-270	-0.146	-0.671
E11-270	-0.155	-0.650
E12-270	0.667	-0.072
E13-270	0.862	-0.090
E14-270	0.632	-0.117
E15-270	0.909	0.059
E16-270	0.965	0.208
E17-270	0.980	0.261
E18-270	1.096	0.231
E19-270	1.102	0.228
E20-270	0.968	0.207
E21-270	0.886	0.108
E22-270	0.881	0.005
E23-270	0.445	-0.205
E24-270	0.540	-0.252
E25-270	0.835	-0.184
E26-270	-0.040	-0.641
E27-270	-0.039	-0.666
E28-270	-0.099	-0.748
E29-270	-0.009	-0.745
E30-270	-0.134	-0.714
E31-270	-0.124	-0.996
E32-270	-0.116	-1.036
E33-270	-0.152	-0.707
E34-270	-0.168	-0.676
E35-270	-0.088	-0.744
E36-270	0.672	-0.078
E37-270	0.438	-0.211
E38-270	-0.087	-0.861
E39-270	-0.121	-0.816
E40-270	-0.125	-0.867
E41-270	-0.089	-0.871
E42-270	-0.095	-1.194

ตารางที่ ข-41 ค่าสัมประสิทธิ์ความดันลมสูงสุด, ต่ำสุด
สำหรับกีฬาทางลง 315 องศา ตัวแหน่งวัดความดันลมระดับ E

ตัวแหน่ง	ค่าสัมประสิทธิ์ความดันลม	
	สูงสุด	ต่ำสุด
E1-315	-0.182	-0.705
E2-315	-0.169	-0.655
E3-315	-0.174	-0.587
E4-315	-0.197	-0.623
E5-315	-0.193	-0.567
E6-315	-0.172	-0.754
E7-315	-0.200	-0.629
E8-315	-0.185	-0.577
E9-315	-0.146	-0.540
E10-315	-0.171	-0.615
E11-315	-0.189	-0.613
E12-315	0.927	0.138
E13-315	0.987	0.224
E14-315	0.946	0.141
E15-315	0.708	-0.251
E16-315	0.591	-0.012
E17-315	0.509	-0.099
E18-315	0.432	-0.800
E19-315	0.582	0.010
E20-315	0.302	-0.140
E21-315	0.247	-0.204
E22-315	-0.035	-0.522
E23-315	0.275	-1.010
E24-315	-0.350	-1.039
E25-315	-0.016	-1.073
E26-315	-0.152	-0.651
E27-315	-0.173	-0.563
E28-315	-0.139	-0.631
E29-315	-0.122	-0.597
E30-315	-0.192	-0.616
E31-315	0.100	-0.347
E32-315	0.487	-0.193
E33-315	0.668	-0.035
E34-315	0.665	-0.019
E35-315	1.076	-0.331
E36-315	1.005	0.174
E37-315	-0.270	-1.052
E38-315	-0.182	-0.664
E39-315	-0.141	-0.578
E40-315	-0.198	-0.614
E41-315	-0.123	-0.616
E42-315	0.401	-1.015

ตารางที่ ข-42 ค่าสัมประสิทธิ์ความดันลมสูงสุด, ต่ำสุด
สำหรับทิศทางลม 0 องศา ตำแหน่งวัดความดันลมระดับ F

ตำแหน่ง	ค่าสัมประสิทธิ์ความดันลม	
	สูงสุด	ต่ำสุด
F1-0	-0.059	-0.458
F2-0	-0.039	-0.434
F3-0	-0.067	-0.576
F4-0	0.069	-0.716
F5-0	-0.023	-0.718
F6-0	-0.087	-1.083
F7-0	-0.156	-0.850
F8-0	-0.276	-1.202
F9-0	0.154	-1.305
F10-0	-0.102	-1.611
F11-0	-0.330	-1.417
F12-0	-0.242	-1.460
F13-0	-0.315	-1.630
F14-0	0.307	-1.454
F15-0	-0.146	-1.497
F16-0	-0.044	-1.157
F17-0	-0.016	-0.879
F18-0	0.027	-0.995
F19-0	0.122	-0.716
F20-0	0.074	-0.648
F21-0	0.037	-0.611
F22-0	0.006	-0.588
F23-0	-0.008	-0.476
F24-0	0.002	-0.590
F25-0	0.055	-0.535
F26-0	0.003	-0.510
F27-0	-0.063	-0.531
F28-0	-0.077	-0.406
F29-0	-0.070	-0.460
F30-0	0.378	-1.434
F31-0	0.628	-0.153
F32-0	0.894	0.060
F33-0	0.962	0.105
F34-0	0.957	0.067
F35-0	0.572	-0.230
F36-0	0.591	-1.495
F37-0	-0.074	-0.474
F38-0	-0.007	-0.448
F39-0	-0.022	-0.336
F40-0	-0.018	-0.352
F41-0	-0.021	-0.347
F42-0	-0.054	-0.382

ตารางที่ บ-43 ค่าสัมประสิทธิ์ความดันลมสูงสุด, ต่ำสุด
สำหรับทิศทางลม 45 องศา ตัวแหน่งวัดความดันลมระดับ F

ตัวแหน่ง	ค่าสัมประสิทธิ์ความดันลม	
	สูงสุด	ต่ำสุด
F1-45	0.144	-0.374
F2-45	0.381	-0.130
F3-45	0.486	-0.090
F4-45	0.769	0.014
F5-45	0.638	0.025
F6-45	0.642	0.018
F7-45	0.758	0.069
F8-45	0.825	-0.192
F9-45	0.998	0.174
F10-45	1.069	0.242
F11-45	1.037	0.186
F12-45	-0.116	-0.482
F13-45	-0.141	-0.552
F14-45	-0.138	-0.494
F15-45	-0.119	-0.516
F16-45	-0.142	-0.540
F17-45	-0.145	-0.522
F18-45	-0.101	-0.541
F19-45	-0.117	-0.517
F20-45	-0.176	-0.497
F21-45	-0.074	-0.473
F22-45	-0.081	-0.470
F23-45	-0.048	-0.486
F24-45	-0.111	-0.507
F25-45	-0.071	-0.474
F26-45	0.364	-0.767
F27-45	-0.091	-0.768
F28-45	-0.209	-0.805
F29-45	-0.243	-0.947
F30-45	1.029	0.279
F31-45	0.812	-0.782
F32-45	0.510	-0.466
F33-45	0.495	-0.099
F34-45	0.371	-0.190
F35-45	0.032	-0.341
F36-45	-0.142	-0.518
F37-45	-0.140	-0.546
F38-45	-0.123	-0.584
F39-45	-0.135	-0.592
F40-45	-0.135	-0.523
F41-45	-0.115	-0.557
F42-45	-0.096	-0.554

สำหรับกีฬากางลุม 90 องศา ตัวแทนร่วมความดันลมระดับ F

ตัวแทน	ค่าสัมประสิทธิ์ความดันลม	
	สูงสุด	ต่ำสุด
F1-90	0.996	0.094
F2-90	1.002	0.159
F3-90	1.119	0.044
F4-90	1.031	0.242
F5-90	1.041	0.245
F6-90	0.941	0.233
F7-90	0.933	0.187
F8-90	0.708	0.054
F9-90	0.425	-0.358
F10-90	0.732	-0.373
F11-90	0.727	-0.148
F12-90	-0.177	-0.670
F13-90	-0.155	-0.650
F14-90	-0.124	-0.733
F15-90	-0.164	-0.613
F16-90	-0.160	-0.562
F17-90	-0.155	-0.583
F18-90	-0.124	-0.532
F19-90	-0.040	-0.546
F20-90	-0.165	-0.556
F21-90	-0.166	-0.551
F22-90	-0.142	-0.645
F23-90	-0.170	-0.796
F24-90	-0.171	-0.858
F25-90	-0.127	-0.636
F26-90	0.750	0.006
F27-90	0.913	0.010
F28-90	0.632	-0.126
F29-90	0.724	-0.147
F30-90	0.467	-0.221
F31-90	-0.166	-0.731
F32-90	-0.167	-0.793
F33-90	-0.184	-0.846
F34-90	-0.173	-0.838
F35-90	-0.166	-0.837
F36-90	-0.108	-0.761
F37-90	-0.184	-0.672
F38-90	-0.106	-1.139
F39-90	-0.132	-0.968
F40-90	-0.190	-0.994
F41-90	-0.148	-0.950
F42-90	-0.072	-1.145

ตำแหน่ง	ค่าสัมประสิทธิ์ความดันลม	
	สูงสุด	ต่ำสุด
F1-135	0.751	-0.262
F2-135	0.634	0.037
F3-135	0.531	-0.054
F4-135	0.514	-0.051
F5-135	0.573	0.028
F6-135	0.401	-0.153
F7-135	0.216	-0.259
F8-135	-0.035	-0.473
F9-135	-0.196	-0.887
F10-135	-0.202	-1.036
F11-135	0.049	-0.936
F12-135	-0.099	-0.524
F13-135	-0.143	-0.479
F14-135	-0.137	-0.490
F15-135	-0.133	-0.545
F16-135	-0.142	-0.479
F17-135	-0.140	-0.533
F18-135	-0.118	-0.462
F19-135	-0.099	-0.540
F20-135	-0.114	-0.502
F21-135	-0.110	-0.439
F22-135	-0.061	-0.485
F23-135	-0.112	-0.473
F24-135	-0.102	-0.455
F25-135	-0.082	-0.422
F26-135	1.115	0.225
F27-135	0.999	0.203
F28-135	1.075	0.240
F29-135	1.046	0.183
F30-135	-0.183	-0.793
F31-135	-0.055	-0.555
F32-135	0.009	-0.549
F33-135	-0.088	-0.456
F34-135	-0.131	-0.512
F35-135	-0.135	-0.508
F36-135	-0.127	-0.503
F37-135	-0.129	-0.481
F38-135	0.117	-0.267
F39-135	0.426	-0.176
F40-135	0.672	-0.045
F41-135	0.679	-0.234
F42-135	0.955	-0.509



ตารางที่ ข-46 ค่าสัมประสิทธิ์ความดันลมสูงสุด, ต่ำสุด
สำหรับทิศทางลม 180 องศา ตำแหน่งวัดความดันลมระดับ F

ตำแหน่ง	ค่าสัมประสิทธิ์ความดันลม	
	สูงสุด	ต่ำสุด
F1-180	-0.156	-1.467
F2-180	-0.129	-1.292
F3-180	-0.088	-1.229
F4-180	-0.013	-1.188
F5-180	0.040	-1.033
F6-180	0.065	-1.044
F7-180	0.016	-0.747
F8-180	-0.026	-0.697
F9-180	-0.050	-0.569
F10-180	0.003	-0.625
F11-180	-0.004	-0.568
F12-180	-0.050	-0.513
F13-180	-0.009	-0.655
F14-180	-0.101	-0.465
F15-180	-0.044	-0.407
F16-180	0.001	-0.598
F17-180	-0.048	-0.491
F18-180	0.142	-0.585
F19-180	0.008	-0.693
F20-180	-0.039	-0.548
F21-180	-0.120	-0.897
F22-180	-0.151	-1.102
F23-180	-0.154	-1.154
F24-180	0.039	-1.440
F25-180	-0.130	-1.483
F26-180	-0.114	-1.567
F27-180	-0.233	-1.537
F28-180	-0.031	-1.471
F29-180	0.415	-1.666
F30-180	-0.078	-0.474
F31-180	-0.032	-0.414
F32-180	-0.057	-0.364
F33-180	-0.063	-0.352
F34-180	-0.015	-0.366
F35-180	-0.032	-0.392
F36-180	-0.079	-0.474
F37-180	0.735	-1.475
F38-180	0.722	-0.219
F39-180	0.995	0.119
F40-180	1.055	0.242
F41-180	1.016	0.105
F42-180	0.623	-0.281

ตารางที่ บ-47 ค่าสัมประสิทธิ์ความดันลมสูงสุด, ต่ำสุด
สำหรับทิศทางลม 225 องศา ตำแหน่งวัดความดันลมระดับ F

ตำแหน่ง	ค่าสัมประสิทธิ์ความดันลม	
	สูงสุด	ต่ำสุด
F1-225	-0.172	-0.515
F2-225	-0.176	-0.499
F3-225	-0.186	-0.565
F4-225	-0.124	-0.464
F5-225	-0.168	-0.491
F6-225	-0.171	-0.518
F7-225	-0.185	-0.546
F8-225	-0.167	-0.656
F9-225	-0.119	-0.441
F10-225	-0.079	-0.427
F11-225	-0.140	-0.571
F12-225	0.359	-0.880
F13-225	-0.272	-0.978
F14-225	-0.236	-0.855
F15-225	0.134	-0.352
F16-225	0.456	-0.157
F17-225	0.495	-0.024
F18-225	0.779	0.047
F19-225	0.639	0.009
F20-225	0.625	-0.030
F21-225	0.770	0.041
F22-225	0.952	-0.024
F23-225	1.030	0.168
F24-225	1.138	0.265
F25-225	0.999	0.144
F26-225	-0.163	-0.488
F27-225	-0.141	-0.519
F28-225	-0.156	-0.492
F29-225	-0.152	-0.518
F30-225	-0.133	-0.522
F31-225	-0.096	-0.566
F32-225	-0.140	-0.579
F33-225	-0.118	-0.478
F34-225	-0.055	-0.537
F35-225	-0.117	-0.564
F36-225	-0.223	-0.950
F37-225	0.945	0.076
F38-225	0.599	-0.961
F39-225	0.563	-0.330
F40-225	0.503	-0.148
F41-225	0.317	-0.209
F42-225	0.047	-0.366

ตารางที่ ข-48 ค่าสัมประสิทธิ์ความดันลมสูงสุด, ต่ำสุด
สำหรับทิศทางลม 270 องศา ตำแหน่งวัดความดันลมระดับ F

ตำแหน่ง	ค่าสัมประสิทธิ์ความดันลม	
	สูงสุด	ต่ำสุด
F1-270	-0.124	-0.734
F2-270	-0.125	-0.588
F3-270	-0.134	-0.555
F4-270	-0.094	-0.521
F5-270	-0.143	-0.594
F6-270	-0.162	-0.541
F7-270	-0.153	-0.564
F8-270	-0.137	-0.518
F9-270	-0.089	-0.587
F10-270	-0.097	-0.583
F11-270	-0.107	-0.581
F12-270	0.679	-0.145
F13-270	0.983	-0.143
F14-270	0.708	-0.072
F15-270	0.888	0.085
F16-270	1.032	0.197
F17-270	1.072	0.153
F18-270	1.124	0.174
F19-270	1.001	0.212
F20-270	0.993	0.192
F21-270	0.951	0.103
F22-270	0.872	0.058
F23-270	0.528	-0.327
F24-270	0.668	-0.319
F25-270	0.825	-0.372
F26-270	-0.093	-0.676
F27-270	-0.080	-0.679
F28-270	-0.086	-0.710
F29-270	-0.119	-0.607
F30-270	-0.154	-0.607
F31-270	-0.129	-0.909
F32-270	-0.141	-0.758
F33-270	-0.176	-0.702
F34-270	-0.143	-0.780
F35-270	-0.169	-0.756
F36-270	0.657	-0.125
F37-270	0.510	-0.299
F38-270	-0.096	-0.634
F39-270	-0.102	-0.709
F40-270	-0.126	-0.918
F41-270	-0.094	-0.694
F42-270	-0.076	-1.013

ตารางที่ ข-49 ค่าสัมประสิทธิ์ความดันลมสูงสุด, ต่ำสุด

สำหรับพิกัดทางลม 315 องศา ตัวแหน่งวัดความดันลมระดับ F

ตัวแหน่ง	ค่าสัมประสิทธิ์ความดันลม	
	สูงสุด	ต่ำสุด
F1-315	-0.198	-0.662
F2-315	-0.241	-0.581
F3-315	-0.207	-0.543
F4-315	-0.201	-0.547
F5-315	-0.153	-0.574
F6-315	-0.206	-0.597
F7-315	-0.192	-0.549
F8-315	-0.218	-0.560
F9-315	-0.186	-0.581
F10-315	-0.198	-0.540
F11-315	-0.201	-0.540
F12-315	1.084	0.233
F13-315	1.019	0.169
F14-315	1.001	0.155
F15-315	0.656	-0.148
F16-315	0.635	0.021
F17-315	0.566	0.036
F18-315	0.499	0.022
F19-315	0.606	0.047
F20-315	0.382	-0.109
F21-315	0.273	-0.166
F22-315	0.042	-0.442
F23-315	-0.231	-1.134
F24-315	-0.280	-0.983
F25-315	-0.085	-0.983
F26-315	-0.123	-0.578
F27-315	-0.142	-0.600
F28-315	-0.094	-0.587
F29-315	-0.118	-0.599
F30-315	-0.192	-0.556
F31-315	0.146	-0.293
F32-315	0.417	-0.193
F33-315	0.762	0.006
F34-315	0.704	-0.100
F35-315	0.968	-0.302
F36-315	0.994	0.230
F37-315	-0.379	-1.032
F38-315	-0.126	-0.711
F39-315	-0.153	-0.610
F40-315	-0.149	-0.690
F41-315	-0.120	-0.640
F42-315	-0.173	-0.653

ตารางที่ ข-50 ค่าสัมประสิทธิ์ความดันลมสูงสุด, ต่ำสุด
สำหรับพิกัดภารณ 0 องศา ดำเนินการวัดความดันลมระดับ G

142

ตำแหน่ง	ค่าสัมประสิทธิ์ความดันลม	
	สูงสุด	ต่ำสุด
G1-0	-0.061	-0.424
G2-0	-0.065	-0.438
G3-0	-0.102	-0.486
G4-0	0.128	-0.479
G5-0	0.003	-0.599
G6-0	-0.002	-0.653
G7-0	-0.130	-0.881
G8-0	-0.175	-1.774
G9-0	0.685	-1.363
G10-0	-0.220	-1.157
G11-0	-0.184	-1.202
G12-0	0.031	-1.286
G13-0	0.200	-1.306
G14-0	0.486	-1.392
G15-0	-0.210	-1.582
G16-0	-0.103	-1.066
G17-0	0.009	-0.694
G18-0	0.037	-0.685
G19-0	0.077	-0.662
G20-0	-0.003	-0.647
G21-0	0.043	-0.461
G22-0	-0.019	-0.527
G23-0	-0.059	-0.437
G24-0	-0.035	-0.430
G25-0	-0.006	-0.421
G26-0	-0.021	-0.448
G27-0	-0.053	-0.435
G28-0	-0.087	-0.554
G29-0	-0.063	-0.450
G30-0	0.875	-1.116
G31-0	0.140	-1.372
G32-0	1.105	0.063
G33-0	1.073	0.223
G34-0	0.921	-0.036
G35-0	0.351	-1.466
G36-0	0.745	-1.011
G37-0	-0.087	-0.483
G38-0	-0.055	-0.429
G39-0	-0.019	-0.480
G40-0	-0.044	-0.355
G41-0	-0.038	-0.370
G42-0	-0.060	-0.451

สำหรับกีฬาทางลง 45 องศา ตำแหน่งวัดความดันลมระดับ G

ตำแหน่ง	ค่าสัมประสิทธิ์ความดันลม	
	สูงสุด	ต่ำสุด
G1-45	0.112	-0.350
G2-45	0.400	-0.177
G3-45	0.431	-0.127
G4-45	0.688	0.017
G5-45	0.663	-0.029
G6-45	0.648	-0.003
G7-45	0.735	0.044
G8-45	0.827	-0.310
G9-45	1.042	0.125
G10-45	1.023	0.217
G11-45	1.036	0.187
G12-45	-0.127	-0.523
G13-45	-0.162	-0.531
G14-45	-0.161	-0.516
G15-45	-0.153	-0.515
G16-45	-0.149	-0.559
G17-45	-0.143	-0.533
G18-45	-0.128	-0.510
G19-45	-0.088	-0.551
G20-45	-0.139	-0.507
G21-45	-0.115	-0.543
G22-45	-0.062	-0.728
G23-45	-0.066	-0.590
G24-45	-0.067	-0.489
G25-45	-0.108	-0.554
G26-45	0.599	-0.703
G27-45	-0.083	-0.825
G28-45	-0.252	-0.781
G29-45	-0.188	-0.830
G30-45	1.012	0.051
G31-45	0.984	0.221
G32-45	0.565	-0.975
G33-45	0.565	-0.300
G34-45	0.198	-0.274
G35-45	-0.158	-0.546
G36-45	-0.152	-0.559
G37-45	-0.121	-0.526
G38-45	-0.058	-0.538
G39-45	-0.101	-0.587
G40-45	-0.131	-0.605
G41-45	-0.082	-0.699
G42-45	-0.117	-0.754

ตารางที่ ข-52 ค่าสัมประสิทธิ์ความดันลมสูงสุด, ต่ำสุด
สำหรับทิศทางลม 90 องศา ตำแหน่งวัดความดันลมระดับ G

ตำแหน่ง	ค่าสัมประสิทธิ์ความดันลม	
	สูงสุด	ต่ำสุด
G1-90	0.959	0.046
G2-90	0.970	0.098
G3-90	1.031	0.167
G4-90	1.100	0.139
G5-90	0.981	0.168
G6-90	0.976	0.101
G7-90	0.966	0.120
G8-90	0.760	-0.003
G9-90	0.462	-0.486
G10-90	0.982	-0.277
G11-90	0.792	0.006
G12-90	-0.134	-0.619
G13-90	-0.121	-0.690
G14-90	-0.146	-0.827
G15-90	-0.086	-0.616
G16-90	-0.112	-0.659
G17-90	-0.112	-0.574
G18-90	-0.079	-0.633
G19-90	-0.119	-0.632
G20-90	-0.089	-0.617
G21-90	-0.116	-0.621
G22-90	-0.136	-0.604
G23-90	-0.105	-0.943
G24-90	-0.105	-0.810
G25-90	-0.129	-0.668
G26-90	0.876	0.052
G27-90	0.910	0.048
G28-90	0.862	-0.350
G29-90	0.649	-0.165
G30-90	0.515	-0.383
G31-90	0.959	-0.074
G32-90	-0.094	-0.690
G33-90	-0.118	-0.900
G34-90	-0.147	-1.085
G35-90	-0.139	-0.743
G36-90	-0.144	-1.176
G37-90	-0.098	-0.781
G38-90	-0.017	-0.676
G39-90	-0.076	-0.986
G40-90	-0.062	-0.818
G41-90	-0.108	-0.931
G42-90	0.781	0.007

ตารางที่ ข-53 ค่าสัมประสิทธิ์ความดันลมสูงสุด, ต่ำสุด
สำหรับกีฬากางลุม 135 องศา ตัวແහນ່ວດความดันลมระดับ G

ตัวແහນ່ວດ	ค่าสัมประสิทธิ์ความดันลม	
	สูงสุด	ต่ำสุด
G1-135	0.633	-0.563
G2-135	0.539	-0.061
G3-135	0.462	-0.093
G4-135	0.400	-0.097
G5-135	0.633	-0.020
G6-135	0.349	-0.166
G7-135	0.284	-0.249
G8-135	-0.043	-0.495
G9-135	-0.256	-0.793
G10-135	-0.208	-0.750
G11-135	0.234	-0.752
G12-135	-0.114	-0.488
G13-135	-0.127	-0.490
G14-135	-0.075	-0.460
G15-135	-0.111	-0.634
G16-135	-0.122	-0.547
G17-135	-0.138	-0.554
G18-135	-0.126	-0.454
G19-135	-0.119	-0.519
G20-135	-0.123	-0.449
G21-135	-0.113	-0.465
G22-135	-0.127	-0.541
G23-135	-0.067	-0.484
G24-135	-0.078	-0.534
G25-135	-0.087	-0.464
G26-135	1.051	0.183
G27-135	1.002	0.263
G28-135	1.063	0.043
G29-135	1.085	0.158
G30-135	-0.239	-0.760
G31-135	-0.180	-0.709
G32-135	-0.053	-0.614
G33-135	-0.095	-0.505
G34-135	-0.033	-0.582
G35-135	-0.081	-0.565
G36-135	-0.074	-0.477
G37-135	-0.128	-0.567
G38-135	-0.112	-0.515
G39-135	0.328	-0.236
G40-135	0.721	-0.034
G41-135	0.789	-0.502
G42-135	1.064	0.170

ตารางที่ ข-54 ค่าสัมประสิทธิ์ความดันลมสูงสุด, ต่ำสุด
สำหรับพิกัดองศา 180 องศา ตำแหน่งนี้วัดความดันลมระดับ G

ตำแหน่ง	ค่าสัมประสิทธิ์ความดันลม	
	สูงสุด	ต่ำสุด
G1-180	-0.226	-1.349
G2-180	-0.092	-1.031
G3-180	-0.048	-0.855
G4-180	0.058	-0.708
G5-180	—	—
G6-180	-0.048	-0.573
G7-180	-0.300	-0.523
G8-180	-0.056	-0.433
G9-180	-0.116	-0.601
G10-180	-0.490	-0.565
G11-180	0.008	-0.361
G12-180	0.026	-0.364
G13-180	-0.070	-0.506
G14-180	-0.072	-0.507
G15-180	-0.049	-0.403
G16-180	-0.006	-0.381
G17-180	-0.009	-0.423
G18-180	0.107	-0.496
G19-180	0.052	-0.701
G20-180	0.042	-0.693
G21-180	-0.013	-0.706
G22-180	-0.027	-1.791
G23-180	0.636	-0.991
G24-180	-0.152	-1.188
G25-180	0.126	-1.117
G26-180	-0.005	-1.123
G27-180	0.126	-1.298
G28-180	0.476	-1.160
G29-180	0.940	-1.288
G30-180	-0.066	-0.487
G31-180	-0.044	-0.473
G32-180	0.056	-0.316
G33-180	-0.050	-0.349
G34-180	-0.030	-0.395
G35-180	-0.063	-0.464
G36-180	-0.061	-0.490
G37-180	0.808	-0.926
G38-180	0.380	-1.248
G39-180	0.873	0.031
G40-180	0.965	0.096
G41-180	0.941	0.029
G42-180	0.261	-1.531

ตารางที่ ข-55 ค่าสัมประสิทธิ์ความดันลมสูงสุด, ต่ำสุด
สำหรับกิตภากล 225 องศา ตำแหน่งวัดความดันลมระดับ G

ตำแหน่ง	ค่าสัมประสิทธิ์ความดันลม	
	สูงสุด	ต่ำสุด
G1-225	-0.156	-0.507
G2-225	-0.113	-0.496
G3-225	-0.149	-0.517
G4-225	-0.077	-0.488
G5-225	-0.063	-0.481
G6-225	-0.058	-0.462
G7-225	-0.107	-0.477
G8-225	-0.094	-0.505
G9-225	-0.075	-0.462
G10-225	-0.068	-0.498
G11-225	-0.087	-0.468
G12-225	0.306	-0.683
G13-225	-0.221	-0.901
G14-225	-0.266	-0.843
G15-225	0.066	-0.334
G16-225	0.426	-0.134
G17-225	0.484	-0.099
G18-225	0.663	0.029
G19-225	0.639	0.023
G20-225	0.639	0.003
G21-225	0.700	-0.024
G22-225	0.787	-0.193
G23-225	1.040	0.205
G24-225	1.040	0.186
G25-225	1.042	0.115
G26-225	-0.111	-0.464
G27-225	-0.129	-0.463
G28-225	-0.145	-0.525
G29-225	-0.104	-0.566
G30-225	-0.096	-0.484
G31-225	-0.060	-0.411
G32-225	-0.064	-0.471
G33-225	-0.064	-0.448
G34-225	-0.055	-0.591
G35-225	-0.047	-0.686
G36-225	-0.317	-0.814
G37-225	0.984	0.164
G38-225	1.066	0.123
G39-225	0.627	-0.650
G40-225	0.523	-0.467
G41-225	0.208	-0.274
G42-225	-0.140	-0.468

ตารางที่ ข-56 ค่าสัมประสิทธิ์ความดันลมสูงสุด, ตัวสูตร
สำหรับกิจกรรม 270 องศา ตำแหน่งวัดความดันลมระดับ G

ตำแหน่ง	ค่าสัมประสิทธิ์ความดันลม	
	สูงสุด	ต่ำสุด
G1-270	-0.069	-0.664
G2-270	-0.118	-0.712
G3-270	-0.136	-0.550
G4-270	-0.092	-0.591
G5-270	-0.112	-0.514
G6-270	-0.149	-0.558
G7-270	-0.140	-0.572
G8-270	-0.165	-0.589
G9-270	-0.122	-0.570
G10-270	-0.080	-0.511
G11-270	-0.101	-0.686
G12-270	0.754	0.024
G13-270	1.018	0.015
G14-270	0.768	-0.305
G15-270	0.890	0.004
G16-270	1.014	0.142
G17-270	0.963	0.117
G18-270	0.967	0.019
G19-270	0.939	0.216
G20-270	1.011	0.203
G21-270	0.909	0.102
G22-270	0.845	0.042
G23-270	0.621	-0.412
G24-270	1.026	-0.121
G25-270	0.778	0.084
G26-270	-0.081	-0.668
G27-270	-0.069	-0.587
G28-270	-0.074	-0.591
G29-270	-0.021	-0.630
G30-270	-0.065	-0.560
G31-270	-0.081	-0.493
G32-270	-0.030	-0.776
G33-270	-0.048	-0.762
G34-270	-0.131	-0.601
G35-270	0.791	-0.035
G36-270	0.717	-0.229
G37-270	0.484	-0.364
G38-270	0.746	0.015
G39-270	-0.042	-0.744
G40-270	-0.087	-0.631
G41-270	-0.031	-0.776
G42-270	-0.010	-0.588

ตารางที่ บ-57 ค่าสัมประสิทธิ์ความดันลมสูงสุด, ต่ำสุด
สำหรับกีติกางลุม 315 องศา ตำแหน่งวัดความดันลมระดับ G

ตำแหน่ง	ค่าสัมประสิทธิ์ความดันลม	
	สูงสุด	ต่ำสุด
G1-315	-0.143	-0.702
G2-315	-0.128	-0.629
G3-315	-0.101	-0.586
G4-315	-0.203	-0.623
G5-315	-0.133	-0.542
G6-315	-0.140	-0.518
G7-315	-0.142	-0.497
G8-315	-0.134	-0.533
G9-315	-0.149	-0.527
G10-315	-0.140	-0.462
G11-315	-0.154	-0.467
G12-315	0.964	0.073
G13-315	1.042	0.129
G14-315	0.972	0.176
G15-315	0.686	-0.681
G16-315	0.635	-0.126
G17-315	0.509	-0.041
G18-315	0.534	0.011
G19-315	0.558	-0.052
G20-315	0.472	-0.185
G21-315	0.312	-0.178
G22-315	0.074	-0.458
G23-315	-0.244	-0.888
G24-315	-0.205	-0.948
G25-315	0.285	-0.901
G26-315	-0.123	-0.627
G27-315	-0.154	-0.542
G28-315	-0.127	-0.541
G29-315	-0.136	-0.576
G30-315	-0.197	-0.566
G31-315	-0.154	-0.549
G32-315	0.339	-0.211
G33-315	0.722	-0.162
G34-315	0.729	-0.624
G35-315	1.045	0.179
G36-315	1.038	0.075
G37-315	-0.324	-0.838
G38-315	-0.059	-0.872
G39-315	-0.111	-0.744
G40-315	-0.132	-0.614
G41-315	-0.161	-0.630
G42-315	-0.144	-0.574

ตารางที่ ข-58 ค่าสัมประสิทธิ์ความดันลมสูงสุด, ต่ำสุด
สำหรับทุกทิศทางลม ตำแหน่งนั่งวัดความดันลมระดับ A

150

ตำแหน่ง	ค่าสัมประสิทธิ์ความดันลม	
	สูงสุด	ต่ำสุด
A-1	0.805	-1.282
A-2	0.820	-1.051
A-3	0.617	-1.029
A-4	0.602	-1.136
A-5	0.655	-1.135
A-6	0.410	-1.393
A-7	0.334	-1.412
A-8	0.055	-1.871
A-9	0.736	-1.547
A-10	0.793	-1.497
A-11	0.667	-1.881
A-12	0.578	-1.074
A-13	0.605	-1.406
A-14	0.592	-0.976
A-15	0.147	-0.893
A-16	0.243	-0.802
A-17	0.231	-0.921
A-18	0.319	-0.774
A-19	0.295	-0.917
A-20	0.234	-0.834
A-21	0.273	-0.948
A-22	0.387	-0.934
A-23	0.607	-1.131
A-24	0.638	-1.786
A-25	0.645	-1.630
A-26	0.651	-2.216
A-27	0.828	-1.715
A-28	0.786	-1.389
A-29	0.670	-1.764
A-30	0.755	-1.416
A-31	0.675	-1.021
A-32	0.756	-1.029
A-33	0.948	-1.150
A-34	0.715	-1.078
A-35	0.753	-1.160
A-36	0.688	-1.145
A-37	0.654	-1.581
A-38	0.611	-1.346
A-39	0.520	-1.211
A-40	0.471	-1.237
A-41	0.415	-1.537
A-42	0.561	-1.358

ตารางที่ ช-59 ค่าสัมประสิทธิ์ความดันลมสูงสุด, ต่ำสุด
สำหรับทุกทิศทางลม ดำเนินการวัดความดันลมระดับ B

ตัวแหน่ง	ค่าสัมประสิทธิ์ความดันลม	
	สูงสุด	ต่ำสุด
B-1	0.962	-1.563
B-2	0.836	-1.040
B-3	0.805	-1.013
B-4	0.749	-0.968
B-5	0.776	-0.952
B-6	0.560	-1.255
B-7	0.378	-1.066
B-8	0.242	-1.299
B-9	0.792	-1.609
B-10	0.739	-1.896
B-11	0.875	-1.371
B-12	0.859	-1.618
B-13	0.834	-1.848
B-14	0.618	-1.340
B-15	0.397	-1.173
B-16	0.180	-0.883
B-17	0.363	-0.892
B-18	0.371	-0.809
B-19	0.424	-0.713
B-20	1.274	-0.778
B-21	0.593	-0.828
B-22	0.853	-0.882
B-23	0.891	-1.323
B-24	0.923	-1.405
B-25	1.318	-1.257
B-26	0.896	-1.523
B-27	0.983	-1.610
B-28	0.888	-1.432
B-29	0.861	-1.677
B-30	0.759	-1.621
B-31	0.748	-1.333
B-32	0.906	-1.176
B-33	0.928	-1.380
B-34	0.925	-1.671
B-35	0.789	-2.006
B-36	0.931	-1.558
B-37	0.846	-1.222
B-38	0.687	-1.723
B-39	1.448	-2.093
B-40	0.861	-1.420
B-41	0.926	-1.321
B-42	0.600	-1.526

ตารางที่ ข-60 ค่าสัมประสิทธิ์ความดันลมสูงสุด, ต่ำสุด
สำหรับทุกทิศทางลม ตำแหน่งงวดความดันลมระดับ C

152

ตำแหน่ง	ค่าสัมประสิทธิ์ความดันลม	
	สูงสุด	ต่ำสุด
C-1	0.847	-1.500
C-2	0.885	-1.322
C-3	0.931	-1.086
C-4	0.912	-0.916
C-5	0.850	-0.837
C-6	0.729	-0.926
C-7	0.572	-1.077
C-8	0.692	-1.441
C-9	0.987	-1.472
C-10	0.945	-1.587
C-11	0.958	-1.431
C-12	1.014	-1.806
C-13	0.954	-1.779
C-14	0.879	-1.631
C-15	0.936	-1.588
C-16	0.976	-1.256
C-17	0.917	-1.123
C-18	0.919	-1.024
C-19	0.921	-0.845
C-20	0.952	-0.994
C-21	0.914	-0.908
C-22	0.907	-1.061
C-23	0.78	-1.393
C-24	0.881	-1.639
C-25	0.752	-1.538
C-26	1.022	-1.505
C-27	1.013	-1.955
C-28	0.905	-1.600
C-29	0.967	-1.841
C-30	0.891	-1.406
C-31	0.729	-1.479
C-32	0.939	-1.470
C-33	0.978	-1.692
C-34	0.906	-1.871
C-35	0.722	-1.510
C-36	0.983	-1.433
C-37	0.916	-1.552
C-38	0.664	-1.571
C-39	0.944	-1.214
C-40	0.972	-1.332
C-41	0.916	-1.395
C-42	0.754	-1.695

ตารางที่ ข-61 ค่าสัมประสิทธิ์ความดันลมสูงสุด, ต่ำสุด
สำหรับทุกทิศทางลม ตำแหน่งวัดความดันลมระดับ D

ตำแหน่ง	ค่าสัมประสิทธิ์ความดันลม	
	สูงสุด	ต่ำสุด
D-1	0.958	-1.467
D-2	0.934	-1.491
D-3	0.914	-1.129
D-4	0.925	-1.146
D-5	0.918	-1.004
D-6	0.842	-1.022
D-7	0.732	-1.123
D-8	0.832	-1.400
D-9	0.940	-1.694
D-10	0.926	-1.431
D-11	1.033	-1.531
D-12	0.965	-1.451
D-13	0.978	-1.595
D-14	0.903	-1.454
D-15	0.943	-1.413
D-16	0.957	-1.271
D-17	0.965	-1.385
D-18	0.998	-1.140
D-19	1.013	-1.030
D-20	0.968	-1.061
D-21	1.018	-0.959
D-22	0.933	-1.110
D-23	1.070	-1.357
D-24	0.954	-1.297
D-25	1.019	-1.208
D-26	1.025	-1.313
D-27	0.958	-1.529
D-28	0.980	-1.267
D-29	1.049	-1.366
D-30	1.016	-1.571
D-31	0.681	-1.26
D-32	0.957	-1.346
D-33	0.814	-1.431
D-34	0.974	-1.457
D-35	0.834	-1.393
D-36	0.989	-1.497
D-37	1.144	-1.537
D-38	0.691	-1.594
D-39	0.898	-1.197
D-40	0.994	-1.190
D-41	0.976	-1.252
D-42	0.922	-1.618

ตารางที่ ข-62 ค่าสัมประสิทธิ์ความดันลมสูงสุด, ต่ำสุด
สำหรับทุกพื้นที่ทางลม ตำแหน่งวัดความดันลมระดับ E

154

ตำแหน่ง	ค่าสัมประสิทธิ์ความดันลม	
	สูงสุด	ต่ำสุด
E-1	0.902	-1.429
E-2	1.038	-1.475
E-3	0.917	-1.287
E-4	0.977	-0.961
E-5	0.998	-1.064
E-6	0.944	-0.885
E-7	0.835	-1.115
E-8	0.864	-1.262
E-9	1.004	-2.885
E-10	1.051	-1.731
E-11	0.943	-1.426
E-12	0.927	-1.522
E-13	0.987	-1.537
E-14	0.946	-1.423
E-15	0.943	-1.302
E-16	0.965	-1.199
E-17	0.980	-1.217
E-18	1.096	-1.016
E-19	1.102	-1.011
E-20	0.968	-0.773
E-21	0.886	-0.892
E-22	0.932	-1.179
E-23	1.104	-1.395
E-24	1.046	-1.323
E-25	0.935	-1.342
E-26	0.961	-1.417
E-27	1.011	-1.676
E-28	1.050	-1.527
E-29	1.045	-1.444
E-30	1.041	-1.347
E-31	0.711	-1.464
E-32	0.904	-1.294
E-33	0.954	-1.534
E-34	1.055	-1.396
E-35	1.076	-1.246
E-36	1.005	-1.422
E-37	0.895	-1.489
E-38	0.962	-1.286
E-39	0.914	-1.167
E-40	0.846	-1.189
E-41	0.945	-1.518
E-42	0.895	-1.839

ตารางที่ ข-63 ค่าสัมประสิทธิ์ความดันลมสูงสุด, ต่ำสุด
สำหรับทุกพิกัดของ ตำแหน่งวัดความดันลมระดับ F

155

ตำแหน่ง	ค่าสัมประสิทธิ์ความดันลม	
	สูงสุด	ต่ำสุด
F-1	0.996	-1.467
F-2	1.002	-1.292
F-3	1.119	-1.229
F-4	1.031	-1.188
F-5	1.041	-1.033
F-6	0.941	-1.083
F-7	0.933	-0.850
F-8	0.825	-1.202
F-9	0.998	-1.305
F-10	1.069	-1.611
F-11	1.037	-1.417
F-12	1.084	-1.460
F-13	1.019	-1.630
F-14	1.001	-1.454
F-15	0.912	-1.497
F-16	1.032	-1.157
F-17	1.072	-0.879
F-18	1.124	-0.995
F-19	1.073	-0.716
F-20	1.014	-0.648
F-21	1.059	-0.897
F-22	0.974	-1.102
F-23	1.030	-1.154
F-24	1.201	-1.440
F-25	0.999	-1.483
F-26	1.115	-1.567
F-27	0.999	-1.537
F-28	1.075	-1.471
F-29	1.046	-1.666
F-30	1.029	-1.434
F-31	0.812	-0.976
F-32	0.894	-1.043
F-33	0.962	-1.249
F-34	0.957	-1.366
F-35	0.968	-2.322
F-36	0.994	-1.495
F-37	0.945	-1.475
F-38	0.722	-1.973
F-39	0.955	-1.208
F-40	1.055	-1.303
F-41	1.016	-1.085
F-42	0.955	-1.145

ตารางที่ ช-64 ค่าสัมประสิทธิ์ความดันลมสูงสุด, ต่ำสุด
สำหรับทุกพิกัดทางลม ตำแหน่งวัดความดันลมระดับ G

ตำแหน่ง	ค่าสัมประสิทธิ์ความดันลม	
	สูงสุด	ต่ำสุด
G-1	0.959	-1.349
G-2	0.970	1.031
G-3	1.031	-0.855
G-4	1.100	-0.708
G-5	0.981	-0.792
G-6	0.976	-0.666
G-7	0.966	-0.881
G-8	0.827	-1.774
G-9	1.042	-1.363
G-10	1.023	-1.157
G-11	1.036	-1.202
G-12	0.964	-1.286
G-13	1.042	-1.306
G-14	0.972	-1.392
G-15	1.055	-1.582
G-16	1.038	-1.066
G-17	0.963	-0.694
G-18	0.967	-0.685
G-19	0.939	-0.701
G-20	1.011	-0.693
G-21	0.979	-0.706
G-22	0.938	-1.791
G-23	1.040	-0.991
G-24	1.120	-1.188
G-25	1.042	-1.117
G-26	1.051	-1.123
G-27	1.002	-1.298
G-28	1.063	-1.16
G-29	1.085	-1.288
G-30	1.012	-1.116
G-31	0.984	-1.372
G-32	1.105	-1.125
G-33	1.073	-1.194
G-34	0.921	-1.237
G-35	1.045	-1.466
G-36	1.038	-1.176
G-37	0.984	-0.926
G-38	1.066	-0.248
G-39	0.873	-1.112
G-40	0.965	-1.084
G-41	0.941	-1.254
G-42	1.064	-1.531

ตารางที่ ข-65 ค่าความดันลมสูงสุด, ต่ำสุด สำหรับคานการกลับ 50 ปี
จากทุกทิศทางลม ตำแหน่งวัดความดันลมระดับ A

157

ตำแหน่ง	ค่าความดันลม	
	สูงสุด	ต่ำสุด
A-1	95.77	-152.63
A-2	97.64	-125.08
A-3	73.38	-122.42
A-4	71.61	-135.18
A-5	77.99	-135.08
A-6	48.83	-165.74
A-7	39.80	-167.98
A-8	65.10	-222.64
A-9	87.55	-184.11
A-10	94.41	-178.20
A-11	79.35	-223.85
A-12	68.74	-127.85
A-13	72.00	-167.38
A-14	70.50	-116.12
A-15	17.52	-106.27
A-16	28.88	-95.39
A-17	27.51	-139.61
A-18	38.01	-92.15
A-19	35.12	-109.08
A-20	27.87	-99.25
A-21	32.53	-112.84
A-22	-46.10	-111.17
A-23	72.20	-134.62
A-24	75.99	-212.55
A-25	76.81	-193.94
A-26	77.47	-263.71
A-27	98.49	-204.12
A-28	93.60	-165.32
A-29	79.79	-209.96
A-30	89.85	-168.46
A-31	80.32	-121.47
A-32	90.01	-122.52
A-33	112.78	-136.91
A-34	85.08	-128.27
A-35	89.59	-138.07
A-36	81.85	-136.26
A-37	77.83	-188.15
A-38	72.77	-160.13
A-39	61.84	-144.09
A-40	56.07	-147.26
A-41	49.45	-182.94
A-42	66.77	-161.66

ตารางที่ ข-66 ค่าความดันลมสูงสุด, ต่ำสุด สำหรับคนการลับ 50 ปี
จากทุกพิศทางลม ตำแหน่งวัดความดันลมระดับ B

158

ตำแหน่ง	ค่าความดันลม	
	สูงสุด	ต่ำสุด
B-1	114.47	-185.99
B-2	99.51	-123.81
B-3	95.79	-120.60
B-4	89.16	-115.23
B-5	92.31	-113.28
B-6	66.67	-149.36
B-7	44.94	-126.90
B-8	28.86	-154.65
B-9	94.22	-191.53
B-10	87.99	-225.66
B-11	104.12	-163.17
B-12	102.17	-192.51
B-13	99.23	-219.95
B-14	73.51	-159.44
B-15	47.24	-139.62
B-16	21.45	-105.03
B-17	43.24	-106.14
B-18	44.12	-96.27
B-19	50.41	-84.84
B-20	151.58	-92.64
B-21	70.61	-98.49
B-22	101.49	-104.91
B-23	106.06	-157.47
B-24	109.84	-167.20
B-25	156.84	-149.58
B-26	106.79	-181.25
B-27	116.96	-191.59
B-28	105.70	-170.44
B-29	102.46	-199.61
B-30	90.27	-162.87
B-31	89.06	-158.67
B-32	107.85	-139.96
B-33	110.39	-164.20
B-34	110.07	-198.86
B-35	93.89	-238.77
B-36	110.78	-185.38
B-37	100.69	-145.48
B-38	81.70	-205.04
B-39	172.34	-249.13
B-40	102.44	-169.04
B-41	110.22	-157.19
B-42	71.45	-181.66



ตารางที่ ข-67 ค่าความดันลมสูงสุด, ต่ำสุด สำหรับงานการกั้น 50 ปี
จากทุกพิศทางลม ตำแหน่งวัดความดันลมระดับ C

159

ตำแหน่ง	ค่าความดันลม	
	สูงสุด	ต่ำสุด
C-1	100.81	-178.54
C-2	105.37	-157.30
C-3	110.76	-129.23
C-4	108.59	-109.01
C-5	101.17	-99.57
C-6	86.81	-110.22
C-7	68.05	-128.16
C-8	82.31	-171.47
C-9	117.43	-175.23
C-10	112.48	-188.84
C-11	114.00	-170.34
C-12	120.69	-214.95
C-13	113.53	-211.74
C-14	104.61	-194.10
C-15	111.43	-189.04
C-16	116.12	-149.49
C-17	109.17	-133.60
C-18	109.36	-121.90
C-19	109.64	-100.56
C-20	113.33	-118.33
C-21	108.82	-108.03
C-22	107.99	-126.24
C-23	92.81	-165.73
C-24	104.84	-195.03
C-25	89.44	-183.01
C-26	121.60	-179.13
C-27	120.57	-232.68
C-28	107.71	-190.37
C-29	115.10	-219.08
C-30	106.03	-167.36
C-31	86.70	-176.07
C-32	111.80	-174.90
C-33	116.42	-201.31
C-34	107.80	-222.70
C-35	85.96	-179.68
C-36	117.00	-170.53
C-37	108.96	-184.66
C-38	79.02	-186.99
C-39	112.33	-144.51
C-40	115.68	-158.50
C-41	108.98	-166.06
C-42	89.68	-201.71

ตารางที่ ช-68 ค่าความดันลมสูงสุด, ต่ำสุด สำหรับคานการกลับ 50 ปี
จากทุกทิศทางลม ตำแหน่งวัดความดันลมระดับ D

ตำแหน่ง	ค่าความดันลม	
	สูงสุด	ต่ำสุด
D-1	114.04	-174.64
D-2	111.18	-177.49
D-3	108.74	-134.40
D-4	110.04	-136.42
D-5	109.26	-119.53
D-6	103.16	-121.68
D-7	87.11	-133.59
D-8	97.77	-166.67
D-9	111.86	-201.60
D-10	110.21	-170.33
D-11	122.99	-182.22
D-12	114.83	-172.74
D-13	116.43	-189.81
D-14	107.48	-173.08
D-15	112.24	-168.17
D-16	113.87	-151.23
D-17	114.89	-164.77
D-18	118.78	-135.62
D-19	120.59	-122.64
D-20	115.16	-126.23
D-21	121.11	-114.10
D-22	110.99	-132.11
D-23	127.33	-161.45
D-24	113.49	-154.39
D-25	121.31	-143.76
D-26	122.01	-156.25
D-27	114.00	-181.95
D-28	116.61	-150.76
D-29	124.84	-152.60
D-30	120.92	-186.91
D-31	81.01	-149.92
D-32	113.91	-160.20
D-33	96.86	-170.28
D-34	115.96	-173.38
D-35	99.31	-165.82
D-36	117.72	-178.17
D-37	136.20	-182.89
D-38	82.27	-189.67
D-39	106.87	-142.47
D-40	118.31	-141.64
D-41	116.20	-149.06
D-42	109.67	-192.51

ตารางที่ ช-69 ค่าความตันลมสูงสุด, ต่ำสุด สำหรับงานการกลั้น 50 ปี
จากทุกทิศทางลม ตำแหน่งวัดความตันลมระดับ E

ตำแหน่ง	ค่าความตันลม	
	สูงสุด	ต่ำสุด
E-1	113.54	-170.12
E-2	125.03	-175.50
E-3	121.31	-153.17
E-4	116.30	-114.39
E-5	120.14	-126.64
E-6	112.33	-105.34
E-7	104.88	-132.67
E-8	102.83	-150.22
E-9	119.45	-343.40
E-10	125.04	-206.03
E-11	112.25	-169.69
E-12	110.34	-181.08
E-13	117.46	-182.97
E-14	112.61	-169.29
E-15	112.20	-154.96
E-16	114.90	-142.72
E-17	116.66	-144.83
E-18	130.45	-120.94
E-19	131.14	-120.34
E-20	115.26	-92.02
E-21	105.39	-106.17
E-22	110.86	-203.12
E-23	131.38	-166.01
E-24	124.53	-157.42
E-25	111.30	-159.68
E-26	114.41	-168.62
E-27	120.30	-199.51
E-28	124.95	-181.72
E-29	124.39	-171.86
E-30	123.86	-160.31
E-31	84.64	-174.23
E-32	107.61	-153.95
E-33	113.53	-182.57
E-34	125.52	-165.83
E-35	128.11	-148.25
E-36	119.65	-169.19
E-37	106.53	-177.23
E-38	81.14	-160.32
E-39	108.78	-150.24
E-40	100.69	-141.48
E-41	112.47	-180.69
E-42	106.48	-165.31

ตารางที่ ข-70 ก้าวความดันลมสูงสุด, ต่ำสุด สำหรับงานการกลั้น 50 ปี
จากทุกพิศทางลม ตำแหน่งวัดความดันลมระดับ F

ตำแหน่ง	ค่าความดันลม	
	สูงสุด	ต่ำสุด
F-1	118.49	-174.56
F-2	119.25	-153.74
F-3	133.12	-146.25
F-4	122.68	-141.34
F-5	123.88	-122.92
F-6	111.94	-128.87
F-7	111.04	-101.11
F-8	98.20	-143.10
F-9	118.78	-155.26
F-10	127.19	-191.69
F-11	123.38	-168.66
F-12	128.99	-173.81
F-13	121.25	-193.97
F-14	119.16	-172.99
F-15	108.49	-178.14
F-16	122.82	-137.65
F-17	127.56	-104.56
F-18	133.71	-118.46
F-19	127.68	-85.17
F-20	120.70	-77.17
F-21	126.08	-106.69
F-22	115.90	-131.09
F-23	122.95	-137.35
F-24	142.89	-171.33
F-25	118.87	-176.46
F-26	132.74	-186.51
F-27	118.84	-182.90
F-28	127.95	-175.01
F-29	124.46	-198.28
F-30	122.48	-170.65
F-31	96.63	-116.21
F-32	106.36	-124.13
F-33	114.54	-148.65
F-34	113.88	-162.53
F-35	115.15	-276.39
F-36	118.30	-177.95
F-37	112.48	-175.55
F-38	85.90	-234.79
F-39	118.38	-143.79
F-40	125.52	-155.09
F-41	120.97	-129.17
F-42	113.70	-136.25

ตารางที่ ข-71 ค่าความดันลมสูงสุด, ต่ำสุด สำหรับคานการกลับ 50 ปี
จากทุกพิกัดทางลม ดำเนินการวัดความดันลมระดับ G

ตำแหน่ง	ค่าความดันลม	
	สูงสุด	ต่ำสุด
G-1	114.18	-160.52
G-2	115.15	-122.65
G-3	122.76	-101.79
G-4	130.90	-84.30
G-5	116.76	-94.26
G-6	116.15	-79.29
G-7	114.92	-104.89
G-8	98.37	-211.10
G-9	124.02	-162.17
G-10	121.74	-137.71
G-11	123.29	-143.05
G-12	114.76	-153.07
G-13	123.96	-155.43
G-14	115.64	-165.68
G-15	125.54	-188.29
G-16	123.55	-126.91
G-17	114.59	-82.56
G-18	115.11	-81.50
G-19	111.72	-83.40
G-20	120.27	-82.49
G-21	116.55	-84.08
G-22	111.60	-213.19
G-23	123.72	-117.98
G-24	133.25	-141.33
G-25	124.05	-132.94
G-26	125.09	-133.68
G-27	119.29	-154.51
G-28	126.05	-138.04
G-29	129.05	-153.33
G-30	120.38	-132.85
G-31	117.05	-163.23
G-32	131.55	-133.92
G-33	127.74	-142.04
G-34	109.61	-147.24
G-35	124.42	-174.44
G-36	123.57	-139.92
G-37	117.07	-110.24
G-38	126.92	-148.53
G-39	103.92	-132.34
G-40	114.84	-129.06
G-41	111.94	-149.20
G-42	126.66	-182.16

ตารางที่ ข-72 ค่าความดันลมสูงสุด, คำสูด สำหรับคานการกลับ 50 ปี
จากทุกทิศทางลม ในแต่ละระดับ สำหรับแต่ละด้านของอาคาร

164

ระดับ	ด้าน	ค่าความดันลมสูงสุด	ค่าความดันลมคำสูด
G	A	131.55	-211.10
	B	133.25	-213.19
	C	131.55	-174.44
	D	129.15	-182.16
F	A	133.12	-191.69
	B	142.89	-193.97
	C	122.48	-177.95
	D	125.52	-175.55
E	A	125.04	-343.40
	B	131.38	-182.97
	C	128.11	-182.57
	D	124.39	-180.69
D	A	122.99	-201.60
	B	127.33	-189.81
	C	120.92	-186.91
	D	136.20	-189.67
C	A	121.60	-232.68
	B	116.12	-214.95
	C	116.42	-222.70
	D	115.78	-219.68
B	A	116.96	-225.66
	B	156.84	-219.95
	C	110.78	-283.77
	D	172.34	-249.13
A	A	98.49	-263.71
	B	76.81	-212.55
	C	112.78	-168.46
	D	77.83	-188.15

ภาคผนวก ค

ค่าตัวแปรสู่ม ^{dir}

โครงการอาคาร JEWELRY TRADE CENTER
ตามแนวทางที่เสนอโดย Simiu และ Filliben [5]



**ตารางที่ ค-1 : รายละเอียดการแบ่งทิศทางลม
ของสถานีตรวจอากาศตอนเมือง
(อ้างอิงจาก Davenport [9])**

ทิศทางลม	สภาพภูมิประเทศ
NEE	20-30
NE	40-50
ENE	60-70
E	80-90-100
ESE	110-120
SE	130-140
SSE	150-160
S	170-180-190
SSW	200-210
SW	220-230
WSW	240-250
W	260-270-280
WNW	290-300
NW	310-320
NNW	330-340
N	350-360-10

ตารางที่ ค-2 : ถักยละเอษภูมิประเทศในแต่ละทิศทางลม
ของสถานีตรวจอากาศคอนเมือง
(อ้างอิงจาก Davenport [9])

ทิศทางลม	สภาพภูมิประเทศ
NEE	4
NE	3
ENE	3
E	3
ESE	3
SE	3
SSE	3
S	4
SSW	5
SW	5
WSW	5
W	5
WNW	5
NW	4
NNW	4
N	4

ศูนย์วิทยทรัพยากร
จุฬาลงกรณ์มหาวิทยาลัย

ตารางที่ ก-3 : ความเร็วลมสูงสุด (เมตร/วินาที) ที่ระดับความสูง 18.80 ม. จากระดับพื้นดินใน 8 ทิศทางลม
สำหรับช่วงเวลา 5 วินาที ณ สถานีตรวจอากาศตอนเมือง ช่วงปี พ.ศ.2494 ถึง ปี พ.ศ.2533

ปี พ.ศ.	ทิศทางลม							
	N	NE	E	SE	S	SW	W	NW
2494	11.840	12.869	20.076	12.355	10.810	15.443	20.076	11.840
2495	13.384	13.384	27.283	10.295	15.958	12.355	18.017	19.561
2496	11.325	10.810	12.355	15.443	20.591	10.810	15.443	10.810
2497	15.443	7.207	15.443	11.840	12.355	10.810	15.958	10.810
2498	12.355	10.810	28.312	9.266	16.987	18.017	23.165	12.355
2499	23.165	15.443	25.739	20.591	25.739	20.591	25.739	25.739
2500	25.739	43.756	21.106	25.739	25.739	20.591	20.591	23.165
2501	25.739	15.443	30.886	18.017	30.886	25.739	20.591	15.443
2502	18.017	20.591	24.194	20.591	23.165	30.886	30.886	25.739
2503	25.739	20.591	23.165	33.460	27.283	24.709	27.283	25.739
2504	11.325	11.840	15.443	16.473	11.325	14.414	14.928	18.017
2505	13.384	10.295	20.591	23.165	14.414	12.355	12.869	15.443
2506	10.295	11.840	17.502	8.236	12.355	18.017	18.017	15.443
2507	7.207	12.869	15.443	8.236	12.869	11.325	12.869	9.266
2508	19.561	14.414	13.899	13.384	16.473	19.561	20.951	15.443
2509	19.561	12.869	15.443	9.266	12.355	17.502	18.017	19.561
2510	12.355	9.266	9.266	8.236	12.869	15.443	15.443	15.443
2511	9.266	16.473	14.414	7.027	12.869	11.325	12.869	10.295
2512	12.869	11.325	15.443	7.722	12.869	12.869	10.295	6.177
2513	12.869	10.295	11.325	10.295	19.561	19.561	13.384	9.266

ตารางที่ ค-3 (ต่อ) : ความเร็วลมสูงสุด (เมตร/วินาที) ที่ระดับความสูง 18.80 ม. จากระดับพื้นดินใน 8 ทิศทางลม
สำหรับช่วงเวลา 5 วินาที ณ สถานีตรวจอากาศตอนเมือง ช่วงปี พ.ศ.2494 ถึง ปี พ.ศ.2533

ปี พ.ศ.	ทิศทางลม							
	N	NE	E	SE	S	SW	W	NW
2514	16.473	25.739	18.532	13.384	13.384	15.443	15.443	16.473
2515	15.443	15.443	15.443	9.781	12.869	16.473	15.443	14.414
2516	15.443	15.443	13.384	10.295	16.473	10.295	10.295	13.384
2517	11.325	14.414	14.414	11.325	12.869	15.443	12.869	12.355
2518	8.236	15.443	15.443	10.295	16.473	11.325	10.295	10.295
2519	20.591	12.869	12.355	9.266	10.295	15.443	13.384	5.148
2520	10.295	9.266	12.355	10.295	12.355	11.325	12.869	10.295
2521	9.266	12.869	15.443	15.443	10.295	10.295	11.325	9.266
2522	8.236	10.295	12.869	12.869	12.869	15.443	12.869	12.355
2523	10.295	9.266	10.295	8.751	9.266	11.325	10.295	7.722
2524	13.384	13.394	12.869	10.295	9.266	11.325	12.325	7.722
2525	21.620	8.751	12.355	8.236	9.266	18.017	7.207	7.207
2526	14.414	13.899	10.295	8.236	11.840	17.502	22.135	9.781
2527	12.869	11.840	7.722	12.869	14.928	13.899	16.987	12.869
2528	8.751	8.751	15.958	15.958	10.295	20.591	17.502	18.017
2529	21.620	9.781	17.502	9.781	19.561	22.650	22.135	13.384
2530	7.722	18.017	18.017	11.84	15.443	11.325	15.958	15.443
2531	15.443	19.047	24.194	18.017	18.017	11.325	15.443	15.443
2532	11.325	11.840	14.414	7.722	9.781	10.295	18.017	15.443
2533	8.236	8.751	10.295	11.325	14.414	15.443	12.355	12.869

ตารางที่ ค-4 : ความเร็วลมสูงสุด (เมตร/วินาที) ที่ระดับความสูง 18.80 ม. จากระดับพื้นดินใน 8 ทิศทางลม
สำหรับช่วงเวลา 1 ชั่วโมง ณ สถานีตรวจอากาศตอนเมือง ช่วงปี พ.ศ.2494 ถึง ปี พ.ศ.2533

ปี พ.ศ.	ทิศทางลม							
	N	NE	E	SE	S	SW	W	NW
2494	7.946	8.637	13.474	8.292	7.255	10.364	13.474	7.946
2495	8.983	8.983	18.311	6.909	10.710	8.292	12.092	13.128
2496	7.601	7.255	8.292	10.364	13.819	7.255	10.364	7.255
2497	10.364	4.837	10.364	7.946	8.292	7.255	10.710	7.255
2498	8.292	7.255	19.001	6.219	11.401	12.092	15.547	8.292
2499	15.547	10.364	17.274	13.819	17.275	13.819	17.274	17.274
2500	17.274	29.366	14.165	17.274	17.275	13.819	13.819	15.547
2501	17.274	10.364	20.729	12.092	20.729	17.274	13.819	10.364
2502	12.092	13.819	16.238	13.819	15.547	20.729	20.729	17.274
2503	17.274	13.819	15.547	22.456	18.311	16.583	18.311	17.274
2504	7.601	7.946	10.364	11.056	7.601	9.674	10.019	12.092
2505	8.983	6.909	13.819	15.547	9.674	8.292	8.637	10.364
2506	6.909	7.946	11.746	5.528	8.292	12.092	12.092	10.364
2507	4.837	8.637	10.364	5.528	8.637	7.601	8.367	6.219
2508	13.128	9.674	9.328	8.983	11.056	13.128	13.819	10.364
2509	13.128	8.637	10.364	6.219	8.292	11.746	12.092	13.128
2510	8.292	6.219	6.219	5.528	8.637	10.364	10.364	10.364
2511	6.219	11.056	9.674	4.837	8.637	7.601	8.637	6.909
2512	8.637	7.601	10.364	5.183	8.637	8.637	6.909	4.146
2513	8.637	6.909	7.601	6.909	13.128	13.128	8.983	6.219

ตารางที่ ค-4 (ต่อ) : ความเร็วลมสูงสุด (เมตร/วินาที) ที่ระดับความสูง 18.80 ม. จากระดับพื้นดินใน 8 ทิศทางลม
สำหรับช่วงเวลา 1 ชั่วโมง ณ สถานีตรวจอากาศดอนเมือง ช่วงปี พ.ศ.2494 ถึง ปี พ.ศ.2533

ปี พ.ศ.	ทิศทางลม							
	N	NE	E	SE	S	SW	W	NW
2514	11.056	17.274	12.438	8.983	8.938	10.364	10.364	11.056
2515	10.364	10.364	10.364	6.564	8.637	11.056	10.364	9.674
2516	10.364	10.364	8.983	6.909	11.056	6.909	6.909	8.983
2517	7.601	9.674	9.674	7.601	8.637	10.364	8.637	8.292
2518	5.528	10.364	10.364	6.909	11.056	7.601	6.909	6.909
2519	13.819	8.637	8.292	6.219	6.909	10.364	8.983	6.455
2520	6.909	6.219	8.292	6.909	8.292	7.601	8.637	6.909
2521	6.219	8.637	10.364	10.364	6.909	6.909	7.601	6.219
2522	5.528	6.909	8.637	8.637	8.637	10.364	8.637	8.292
2523	6.909	6.219	6.909	5.873	6.219	7.601	6.909	5.183
2524	8.983	8.983	8.637	6.909	6.219	7.601	8.292	5.183
2525	14.510	5.873	8.292	5.528	6.219	12.092	4.837	4.837
2526	9.674	9.328	6.909	5.528	7.946	11.746	14.856	6.564
2527	8.637	7.946	5.183	8.637	10.019	9.328	11.401	8.637
2528	5.873	5.873	10.710	10.710	6.909	13.819	11.746	12.092
2529	14.510	6.564	11.746	6.564	13.128	15.201	14.856	8.983
2530	5.183	12.092	12.092	7.946	10.364	7.601	10.710	10.364
2531	10.364	12.783	16.238	12.092	12.092	7.601	10.364	10.364
2532	7.601	7.946	9.674	5.183	6.564	6.909	12.092	10.364
2533	5.528	5.873	6.909	7.601	9.674	10.364	8.292	8.637

ตารางที่ ค-5 : ความเร็วลมเกรดีนต์ (เมตร/วินาที) ใน 8 ทิศทางลม สำหรับช่วงเวลา 1 ชั่วโมง
ณ สถานีตรวจอากาศดอนเมือง ช่วงปี พ.ศ.2494 ถึง ปี พ.ศ 2533

ปี พ.ศ.	ทิศทางลม							
	N	NE	E	SE	S	SW	W	NW
2494	13.415	13.226	20.633	12.698	12.248	15.871	20.633	13.415
2495	15.165	13.755	28.040	10.581	18.081	12.698	18.517	22.164
2496	12.832	10.110	12.698	15.871	23.331	11.110	15.871	12.248
2497	17.498	7.407	15.871	12.168	13.999	11.110	16.401	12.248
2498	13.999	11.110	29.097	9.523	19.247	18.517	23.808	13.999
2499	26.247	15.871	26.453	21.162	29.163	21.162	26.453	29.163
2500	29.163	44.970	21.692	26.453	29.163	21.162	21.162	26.247
2501	29.163	15.871	31.743	18.517	34.995	26.453	21.162	17.498
2502	10.414	21.162	24.865	21.162	26.247	31.743	31.743	29.163
2503	29.163	21.162	23.808	34.388	30.913	25.395	28.040	29.163
2504	12.832	12.168	15.871	16.930	12.832	14.814	15.342	20.414
2505	15.165	10.581	21.162	23.807	16.332	12.698	13.226	17.498
2506	11.665	12.168	17.988	8.465	13.999	18.517	18.517	17.498
2507	8.166	13.226	15.871	8.465	14.581	11.639	13.226	10.499
2508	22.164	14.814	14.285	13.755	18.665	20.104	21.162	17.498
2509	22.164	13.226	15.871	9.523	13.999	17.988	18.517	22.164
2510	13.999	9.523	9.523	8.465	14.581	15.871	15.871	17.498
2511	10.499	16.930	14.814	7.407	14.581	11.639	13.226	11.665
2512	14.581	11.639	15.871	7.936	14.581	13.226	10.581	6.999
2513	14.581	10.581	11.639	10.581	22.164	20.104	13.755	10.499

ตารางที่ ค-5 (ต่อ) : ความเร็วลมเกรดียนต์ (เมตร/วินาที) ใน 8 ทิศทางลม สำหรับช่วงเวลา 1 ชั่วโมง
ณ สถานีตรวจอากาศตอนเมือง ช่วงปี พ.ศ.2494 ถึง ปี พ.ศ 2533

ปี พ.ศ.	ทิศทางลม							
	N	NE	E	SE	S	SW	W	NW
2514	18.665	26.453	19.046	13.755	15.165	15.871	15.871	18.665
2515	17.498	15.871	15.871	10.052	14.581	16.930	15.871	16.332
2516	17.498	15.871	13.755	10.581	18.665	10.581	10.581	15.165
2517	12.832	14.814	14.814	11.639	14.581	15.871	13.226	13.999
2518	9.332	15.871	15.871	10.581	18.665	11.639	10.581	11.665
2519	23.331	13.226	12.698	9.523	11.665	15.871	13.755	5.833
2520	11.665	9.523	12.698	10.581	13.999	11.639	13.226	11.665
2521	10.499	13.226	15.871	15.871	11.665	10.581	11.639	10.499
2522	9.332	10.581	13.226	13.226	14.481	15.871	13.226	13.999
2523	11.665	9.523	10.581	8.994	10.499	11.639	10.581	8.749
2524	15.165	13.755	13.226	10.581	10.499	11.639	12.698	8.749
2525	24.496	8.994	12.698	8.465	10.499	18.517	7.407	8.166
2526	16.332	14.285	10.581	8.465	13.415	17.988	22.749	11.082
2527	14.581	12.168	7.936	13.226	16.914	14.285	17.458	14.581
2528	9.915	8.994	16.401	16.401	11.665	21.162	17.988	20.414
2529	24.496	10.052	17.988	10.052	22.164	23.278	22.749	15.165
2530	8.749	18.517	18.517	12.168	17.498	11.639	16.401	17.498
2531	17.498	19.575	24.865	18.517	20.414	11.639	15.871	17.498
2532	12.832	12.168	14.814	7.936	11.082	10.581	18.517	17.498
2533	9.332	8.994	10.581	11.639	16.332	15.871	12.698	14.581

ตารางที่ ค-6 ค่าตัวแปรสู่ r^{dir} ตัวแหนงวัดความดันลม A33 ช่วงปี พ.ศ.2494 ถึงปี พ.ศ.2533 สำหรับค่าความดันลมสูงสุด

ปี พ.ศ.	พิเศษทางลม								
	N	NE	E	SE	S	SW	W	NW	r^{dir}
2494	13.066	6.732					0.392	6.882	13.066
2495	14.771	7.001					0.352	11.370	14.771
2496	12.498	5.655					0.302	6.283	12.498
2497	17.043	3.770					0.312	6.283	17.043
2498	13.635	5.655					0.452	7.181	13.635
2499	25.565	8.078					0.503	14.961	25.565
2500	28.405	22.890					0.402	13.465	28.405
2501	28.405	8.078					0.402	8.976	28.405
2502	19.883	10.771					0.603	14.961	19.833
2503	28.405	10.771					0.533	14.961	28.405
2504	12.498	6.194					0.291	10.472	12.498
2505	14.771	5.386					0.251	8.976	14.771
2506	11.362	6.194					0.352	8.976	11.362
2507	7.954	6.732					0.251	5.386	7.954
2508	21.588	7.540					0.402	8.976	21.588
2509	21.588	6.732					0.352	11.370	21.588
2510	13.635	4.847					0.302	8.976	13.635
2511	10.226	8.617					0.251	5.984	10.226
2512	14.202	5.924					0.201	3.590	14.202
2513	14.202	5.386					0.261	5.386	14.202

ตารางที่ ก-6 (ต่อ) ค่าตัวแปรสูม r^{dir} สำหรับจังหวัดความดันลม A33 ช่วงปี พ.ศ.2494 ถึงปี พ.ศ.2533 สำหรับค่าความดันลมสูงสุด

ปี พ.ศ.	ทิศทางลม									
	N	NE	E	SE	S	SW	W	NW	r^{dir}	
2514	18.180	13.465					0.302	9.575	18.18	
2515	17.043	8.078					0.302	8.378	17.043	
2516	17.043	8.078					0.201	7.780	17.043	
2517	12.498	7.540					0.251	7.181	12.498	
2518	9.089	8.078					0.201	5.984	9.089	
2519	22.724	6.732					0.261	2.992	22.724	
2520	11.362	4.847					0.251	5.984	11.362	
2521	10.226	6.732					0.221	5.386	10.226	
2522	9.089	5.386					0.251	7.181	9.089	
2523	11.362	4.847					0.201	4.488	11.362	
2524	14.771	7.001					.2.241	4.488	14.771	
2525	23.859	4.578					0.141	4.189	23.859	
2526	15.907	7.271					0.432	5.685	15.907	
2527	14.202	6.194					0.332	7.480	14.202	
2528	9.657	4.578					0.342	10.472	9.657	
2529	23.859	5.116					0.432	7.78	23.859	
2530	8.522	9.425					0.312	8.976	8.522	
2531	17.043	9.964					0.302	8.976	17.043	
2532	12.498	6.194					0.352	8.976	12.498	
2533	9.089	4.578					0.241	7.480	9.089	

ตารางที่ ก-7

ค่าตัวแปรสุ่ม r^{dir} คำแนะนำวัดความดันลม B39 ช่วงปี พ.ศ.2494 ถึงปี พ.ศ.2533 สำหรับค่าความดันลมสูงสุด

ปี พ.ศ.	ทิศทางลม									r^{dir}
	N	NE	E	SE	S	SW	W	NW		
2494				4.000	10.190	22.981				22.981
2495				3.333	15.043	18.387				18.387
2496				4.999	19.411	16.087				19.411
2497				3.833	11.647	16.087				16.087
2498				3.000	16.014	26.813				26.813
2499				6.666	24.264	30.643				30.643
2500				8.333	24.264	30.643				30.643
2501				5.833	29.116	38.304				38.304
2502				6.666	21.838	45.964				45.964
2503				10.832	25.720	36.772				36.772
2504				5.333	10.676	21.451				21.451
2505				7.499	13.588	13.837				18.387
2506				2.666	11.647	26.813				26.813
2507				2.666	12.131	16.853				16.853
2508				4.333	15.529	29.111				29.111
2509				3.000	11.647	26.047				26.047
2510				2.666	12.131	22.981				22.981
2511				2.333	12.131	16.856				16.853
2512				2.500	12.131	19.151				19.151
2513				3.333	18.440	29.111				29.111

ตารางที่ ค-7 (ต่อ) ค่าตัวแปรสุ่ม r^{dir} ดำเนินการวัดความดันลม B39 ช่วงปี พ.ศ.2494 ถึงปี พ.ศ.2533 สำหรับค่าความดันลมสูงสุด

ปี พ.ศ.	ทิศทางลม								
	N	NE	E	SE	S	SW	W	NW	r^{dir}
2514				4.333	12.617	22.981			22.981
2515				3.166	12.131	24.515			24.515
2516				3.333	15.529	15.321			15.529
2517				3.666	12.131	22.981			22.891
2518				3.333	15.529	16.853			16.853
2519				3.000	9.705	22.981			22.981
2520				3.333	11.647	16.853			15.321
2521				4.999	9.705	15.321			16.853
2522				4.166	12.131	22.981			22.981
2523				2.833	8.735	16.853			16.853
2524				3.333	8.735	16.853			16.853
2525				2.666	8.735	26.813			26.813
2526				2.666	11.161	26.047			26.047
2527				4.166	14.072	20.685			20.685
2528				5.166	9.705	30.643			30.643
2529				3.166	18.440	33.707			33.707
2530				3.833	15.558	16.853			16.853
2531				5.833	16.984	16.853			16.984
2532				2.500	9.220	15.321			15.321
2533				3.666	13.588	22.981			22.981

ตารางที่ ค-8

ค่าตัวแปรอุ่น r^{dir} ตำแหน่งงวดความดันลม C26 ช่วงปี พ.ศ.2494 ถึงปี พ.ศ.2533 สำหรับค่าความดันลมสูงสุด

ปี พ.ศ.	พิเศษทางลม									r ^{dir}
	N	NE	E	SE	S	SW	W	NW		
2494		6.706	15.908	12.838	3.638					15.908
2495		6.974	21.619	10.697	5.370					21.619
2496		5.633	9.790	16.046	6.929					16.046
2497		3.755	12.237	12.302	4.158					12.302
2498		5.633	22.434	9.628	5.716					22.434
2499		8.047	20.395	21.395	8.661					21.395
2500		10.729	16.725	26.744	8.661					26.744
2501		10.729	24.474	18.721	10.394					24.474
2502		6.169	19.171	21.395	7.795					21.395
2503		5.365	18.356	34.766	9.181					34.766
2504		6.169	12.237	17.116	3.811					17.116
2505		6.706	16.316	24.069	4.851					24.069
2506		7.511	13.869	8.558	4.158					13.869
2507		6.706	12.237	8.558	4.331					12.237
2508		7.511	11.014	13.906	5.544					13.906
2509		6.706	12.237	9.628	4.158					12.237
2510		4.828	7.342	8.558	4.331					8.558
2511		8.584	11.422	7.488	4.331					11.422
2512		5.901	12.237	8.023	6.583					12.237
2513		5.365	8.974	10.697	4.504					10.697



ตารางที่ ค-8 (ต่อ) ค่าตัวแปรสุ่ม r^{dir} ตำแหน่งวัดความดันลม C26 ช่วงปี พ.ศ.2494 ถึงปี พ.ศ.2533 สำหรับค่าความดันลมสูงสุด

ปี พ.ศ.	N	ทิศทางลม								r^{dir}
		NE	E	SE	S	SW	W	NW		
2514		13.412	14.684	13.906	4.504					14.684
2515		8.047	12.237	10.163	4.331					12.237
2516		8.047	10.605	10.697	5.544					10.697
2517		7.511	1.422	11.767	4.331					11.796
2518		8.047	12.237	10.697	5.544					12.237
2519		6.706	9.790	9.628	3.465					9.790
2520		4.828	9.790	10.697	3.465					10.697
2521		6.706	12.237	16.046	4.158					16.046
2522		5.365	10.197	13.371	3.465					13.371
2523		4.828	8.158	9.093	4.331					9.093
2524		6.974	10.197	10.697	3.118					10.697
2525		4.560	9.790	5.558	3.118					9.790
2526		7.242	8.158	8.558	3.984					8.558
2527		6.169	6.119	13.371	5.023					13.371
2528		4.560	12.645	16.581	3.465					16.581
2529		5.096	13.869	10.163	6.583					13.869
2530		9.388	14.277	12.302	5.197					14.277
2531		9.925	19.171	18.023	6.063					19.171
2532		6.169	11.422	8.023	3.291					11.422
2533		4.560	8.158	11.767	4.851					11.767

ตารางที่ ค-9 ค่าตัวแปรสุ่ม r^{dir} ตำแหน่งวัดความดันลม D87 ช่วงปี พ.ศ.2494 ถึงปี พ.ศ.2533 สำหรับค่าความดันลมสูงสุด

ปี พ.ศ.	ทิศทางลม								
	N	NE	E	SE	S	SW	W	NW	r^{dir}
2494					5.573	16.982	12.400		16.982
2495					8.227	13.587	11.129		13.587
2496					10.616	11.888	9.538		11.888
2497					6.370	11.888	9.857		11.888
2498					8.757	19.813	14.309		19.813
2499					13.269	22.643	15.898		22.643
2500					13.269	22.643	12.718		22.643
2501					15.923	28.305	12.718		28.305
2502					11.942	33.965	19.078		33.695
2503					14.065	27.173	16.852		27.173
2504					5.839	15.851	9.221		15.851
2505					7.431	13.587	7.949		13.857
2506					6.370	19.813	11.129		19.813
2507					6.634	12.454	7.949		12.545
2508					8.493	21.511	12.718		21.511
2509					6.370	19.247	11.129		19.247
2510					6.634	16.982	9.538		16.982
2511					6.634	12.454	7.949		12.454
2512					6.634	14.152	6.359		14.454
2513					10.085	21.511	8.267		14.152

ตารางที่ ค-9 (ต่อ) ค่าตัวแปรสูน r^{dir} ตามแน่นองค์ความดันลม D37 ช่วงปี พ.ศ.2494 - พ.ศ.2533 สำหรับค่าความดันลมสูงสุด

ก) พ.ศ.	ทิศทางลม								
	N	NE	E	SE	S	16.982	W	NW	r^{dir}
2514					6.900	18.115	9.538		16.982
2515					6.634	11.322	9.538		18.115
2516					8.493	16.982	6.359		11.322
2517					6.634	12.454	7.949		16.982
2518					8.493	16.982	6.359		12.454
2519					5.308	12.454	8.267		16.982
2520					6.370	11.322	8.267		12.454
2521					5.308	16.982	7.949		11.322
2522					6.634	12.454	6.665		16.982
2523					4.777	12.454	7.949		12.454
2524					4.777	19.813	7.631		12.454
2525					4.777	12.247	4.452		19.813
2526					6.104	15.285	13.672		19.247
2527					7.696	19.247	10.492		15.285
2528					5.308	15.285	10.811		22.643
2529					10.085	22.643	13.672		24.907
2530					7.962	12.454	9.857		12.454
2531					9.288	12.454	9.538		12.454
2532					5.042	11.322	11.129		11.322
2533					7.431	16.982	7.631		16.982

ตารางที่ ก-10 ค่าตัวแปรสูน r^{dir} ตำแหน่งวัดความดันลม E23 ช่วงปี พ.ศ.2494 ถึงปี พ.ศ.2533 สำหรับค่าความดันลมสูงสุด

ปี พ.ศ.	ทิศทางลม								
	N	NE	E	SE	S	SW	W	NW	r^{dir}
2494						16.680	13.762	7.029	16.680
2495						13.346	12.351	11.614	13.346
2496						11.677	10.586	6.418	11.677
2497						11.677	10.939	6.418	11.677
2498						19.461	15.880	7.335	19.461
2499						22.241	17.644	15.281	22.241
2500						22.241	14.115	13.753	22.241
2501						27.802	14.115	9.169	27.802
2502						33.362	21.173	15.281	33.362
2503						26.690	18.703	15.281	26.690
2504						15.570	10.233	10.697	15.570
2505						13.346	8.822	9.169	13.346
2506						19.461	12.351	9.169	19.461
2507						12.233	8.822	5.501	12.233
2508						21.129	14.115	9.169	21.129
2509						18.905	12.351	11.614	18.905
2510						16.680	10.586	9.169	16.680
2511						12.233	8.822	6.112	12.233
2512						13.901	7.057	3.667	13.901
2513						21.129	9.175	5.501	21.129

ตารางที่ ค-10 (ต่อ) ค่าตัวแปรสุ่ม r^{dir} ที่ทางนั่งวัดความดันลม E23 ช่วงปี พ.ศ. 2494 ถึงปี พ.ศ. 2533 สำหรับค่าความดันลมสูงสุด

ปี พ.ศ.	ทิศทางลม								
	N	NE	E	SE	S	SW	W	NW	r^{dir}
2514						16.680	10.586	9.780	16.680
2515						17.793	10.586	8.558	17.793
2516						11.121	7.058	7.946	11.121
2517						16.680	8.822	7.335	16.680
2518						12.233	7.058	6.120	12.233
2519						16.680	9.175	3.056	16.680
2520						12.233	8.822	6.112	12.233
2521						11.121	7.763	5.501	11.121
2522						16.680	8.822	7.335	16.680
2523						12.233	7.0580	4.584	12.233
2524						12.233	8.470	4.584	12.233
2525						19.461	4.940	4.279	19.461
2526						18.905	15.174	5.807	18.905
2527						15.014	11.644	7.640	15.014
2528						22.241	11.998	10.697	22.241
2529						24.465	15.174	7.946	24.465
2530						12.233	10.939	9.169	12.233
2531						12.233	10.586	9.169	12.233
2532						11.121	12.351	9.169	12.351
2533						16.680	8.470	7.640	16.680

ตารางที่ ค-11 ก้าตัวแปรสูม r^{dir} ตัวแหนงวัดความดันลม F24 ช่วงปี พ.ศ.2494 ถึงปี พ.ศ.2533 สำหรับค่าความดันลมสูงสุด

ปี พ.ศ.	ทิศทางลม									
	N	NE	E	SE	S	SW	W	NW	r	
2494	0.604				2.413	16.934	16.857			16.934
2495	0.682				3.562	13.549	15.128			15.128
2496	0.577				4.596	11.854	12.967			12.967
2497	0.787				2.758	11.854	13.400			13.400
2498	0.630				3.792	19.758	19.451			19.758
2499	1.181				5.745	22.580	21.612			22.580
2500	1.312				5.745	22.580	17.289			22.580
2501	1.312				6.894	28.225	17.289			28.225
2502	0.919				6.090	33.870	25.934			33.870
2503	1.312				2.528	27.096	22.909			27.096
2504	0.577				3.217	15.807	12.534			15.807
2505	0.682				2.758	13.549	10.806			13.549
2506	0.525				2.872	19.758	15.128			19.758
2507	0.367				3.677	12.419	10.806			12.419
2508	0.997				2.758	21.451	17.289			21.451
2509	0.997				2.872	19.193	15.128			19.193
2510	0.630				2.872	16.934	12.967			16.934
2511	0.472				2.872	12.419	10.806			12.419
2512	0.656				2.872	14.112	8.645			14.112
2513	0.656				4.366	21.451	11.238			21.451

ตารางที่ ค-11 (ต่อ) ค่าตัวแปรสุ่ม r^{dir} สำหรับจังหวัดความดันลม F24 ช่วงปี พ.ศ.2494 ถึง ปี พ.ศ.2533 สำหรับค่าความดันลมสูงสุด

ก) พ.ศ.	ทิศทางลม								
	N	NE	E	SE	S	SW	W	NW	r
2514	0.840				2.988	16.934	12.967		16.934
2515	0.787				2.872	18.064	12.967		18.064
2516	0.787				3.677	11.290	8.645		11.290
2517	0.577				2.872	16.934	10.806		16.934
2518	0.420				3.677	12.419	8.645		12.419
2519	1.050				2.298	16.934	11.238		16.934
2520	0.525				2.758	12.419	10.806		12.419
2521	0.472				2.298	11.290	9.509		11.290
2522	0.420				2.872	16.934	10.806		16.934
2523	0.525				2.068	12.419	8.645		12.419
2524	0.682				2.068	12.419	10.374		12.419
2525	1.102				2.068	19.758	6.052		19.758
2526	0.735				2.643	19.193	18.586		19.193
2527	0.656				3.332	15.242	14.263		15.242
2528	0.446				2.298	22.580	14.696		22.580
2529	1.102				4.366	24.838	18.586		24.838
2530	0.394				3.447	12.419	13.400		13.400
2531	0.787				4.002	12.419	12.976		12.967
2532	0.577				2.183	11.290	15.128		15.128
2533	0.420				3.217	16.934	10.374		16.934

ตารางที่ ก-12 ค่าตัวแปรสูง r^{dir} ตามหน่วยวัดความดันลม G24 ช่วงปี พ.ศ.2494 ถึงปี พ.ศ.2533 สำหรับค่าความดันลมสูงสุด

ปี พ.ศ.	ทิศทางลม								
	N	NE	E	SE	S	SW	W	NW	r
2494						16.188	20.901		20.901
2495						12.952	18.758		18.768
2496						11.332	16.077		16.077
2497						11.332	16.614		16.415
2498						18.887	24.118		24.118
2499						21.585	26.797		26.797
2500						21.585	21.437		21.586
2501						26.982	21.437		26.982
2502						32.378	32.156		32.378
2503						25.903	28.405		28.405
2504						15.110	15.541		15.541
2505						12.952	13.398		13.398
2506						18.887	18.758		18.887
2507						11.872	13.398		13.398
2508						20.506	21.437		21.487
2509						18.348	18.758		18.758
2510						16.188	16.077		16.188
2511						11.872	13.398		13.398
2512						13.491	10.719		13.491
2513						20.506	13.934		20.506

ตารางที่ ค-12 (ต่อ) ค่าตัวแปลรรุ่ม r^{dir} ตามหน่วัดความดันลม G24 ช่วงปี พ.ศ.2494 ถึงปี พ.ศ.2533 สำหรับค่าความดันลมสูงสุด

ปี พ.ศ.	ทิศทางลม								
	N	NE	E	SE	S	SW	W	NW	r
2514						16.188	16.077		16.188
2515						17.269	16.077		17.269
2516						10.793	10.719		10.793
2517						16.188	13.398		16.188
2518						11.872	10.719		11.872
2519						16.188	13.934		16.188
2520						11.872	13.398		13.398
2521						10.793	11.790		11.790
2522						16.188	13.398		16.188
2523						11.872	10.719		11.872
2524						11.872	12.863		12.863
2525						18.887	7.503		18.887
2526						18.348	23.045		23.045
2527						14.571	17.685		17.685
2528						21.585	18.222		21.585
2529						23.744	23.045		23.744
2530						11.872	16.614		16.614
2531						11.872	16.077		16.077
2532						10.793	18.758		18.758
2533						16.188	12.863		16.188

ตารางที่ ค-13 ค่าตัวแปรสู่ม r^{dir} ตำแหน่งวัดความดันลม A26 ช่วงปี พ.ศ.2494 ถึงปี พ.ศ.2533 สำหรับค่าหน่วยแรงลมฤดูสูงฤดู

ปี พ.ศ.	ทิศทางลม									
	N	NE	E	SE	S	SW	W	NW	r	
2494	9.873	11.903	8.769	1.930	13.706	17.522	28.969	12.583	28.969	
2495	11.161	12.380	11.917	1.608	20.233	14.019	25.998	20.790	25.998	
2496	9.444	9.999	5.397	2.412	26.107	12.265	22.283	11.489	26.107	
2497	12.879	6.666	6.745	1.805	15.665	12.265	23.027	11.489	23.027	
2498	10.303	9.999	12.366	1.447	21.537	20.443	33.426	13.131	33.426	
2499	19.318	14.284	11.243	3.217	32.633	23.363	37.140	27.355	37.140	
2500	21.646	40.473	9.219	4.021	32.633	23.363	29.711	24.620	40.473	
2501	21.464	14.284	13.491	2.815	39.159	29.204	29.711	16.413	39.159	
2502	15.025	19.046	10.568	3.217	29.370	35.044	44.567	27.355	44.567	
2503	21.464	19.046	10.118	5.227	34.592	28.036	39.368	27.355	39.368	
2504	9.444	10.951	6.745	2.573	14.359	16.355	21.540	19.148	21.540	
2505	11.161	9.523	8.994	3.619	18.276	14.019	18.569	16.413	18.569	
2506	8.585	10.951	7.645	1.287	15.665	20.443	18.569	16.413	25.998	
2507	6.010	11.903	6.745	1.287	16.316	12.849	25.998	9.848	18.569	
2508	16.313	13.333	6.071	2.091	20.886	22.195	18.569	16.413	29.711	
2509	16.313	11.903	6.745	1.447	15.665	18.589	29.711	22.790	25.998	
2510	10.303	8.571	4.047	1.287	16.316	17.522	25.998	16.413	22.283	
2511	7.727	15.237	6.296	1.126	16.316	12.849	22.283	10.942	18.569	
2512	10.732	10.475	6.745	1.206	16.316	14.602	14.569	6.565	16.316	
2513	10.732	9.523	4.947	1.608	24.802	22.195	19.312	9.848	24.802	

ตารางที่ ค-13 (ต่อ) ค่าตัวแปรสัม r^{dir} ตั้งแต่นั่งวัดความต้านลม A26 ช่วงปี พ.ศ.2494 ถึงปี พ.ศ.2533 สำหรับค่าหน่วยแรงลมคูณสูงสุด

ปี พ.ศ.	ทิศทางลม									
	N	NE	E	SE	S	SW	W	NW	r	
2514	13.737	23.808	8.095	2.091	16.970	17.522	22.283	17.508	23.808	
2515	12.879	14.284	6.745	1.528	16.316	18.691	22.283	15.319	22.283	
2516	12.879	14.284	5.846	1.608	20.886	11.681	14.856	14.225	20.886	
2517	9.444	13.333	6.296	1.769	16.316	17.522	18.569	13.131	18.965	
2518	6.868	14.284	6.745	1.608	20.886	12.849	14.856	10.942	20.886	
2519	17.172	11.903	5.397	1.447	13.053	17.522	19.312	5.471	19.312	
2520	8.585	8.571	5.397	1.608	15.665	12.849	18.569	10.942	18.569	
2521	7.727	11.903	6.745	2.412	13.053	11.681	16.341	9.848	16.341	
2522	6.868	9.523	5.621	2.010	16.316	17.522	18.569	13.131	18.569	
2523	8.585	8.571	4.497	1.367	11.748	12.849	14.856	8.207	14.856	
2524	11.161	12.380	5.621	1.608	11.748	12.849	17.828	8.207	17.828	
2525	18.029	8.095	5.397	1.287	11.748	20.443	10.399	7.660	18.029	
2526	12.020	12.857	4.497	1.287	15.011	19.859	31.940	10.395	31.940	
2527	10.732	10.951	3.373	2.010	18.927	15.771	24.511	13.680	24.511	
2528	7.297	8.095	6.970	2.493	13.053	23.363	25.255	19.148	25.255	
2529	18.029	9.047	7.645	1.528	24.802	25.699	31.940	14.225	31.940	
2530	6.439	16.665	7.870	1.850	19.580	12.849	23.027	16.413	23.027	
2531	12.879	17.618	10.568	2.815	22.843	12.849	22.283	16.413	22.843	
2532	9.444	10.951	6.296	1.206	12.401	11.681	25.998	16.413	25.998	
2533	6.868	8.575	4.497	1.796	18.276	17.522	17.828	13.677	18.276	

ตารางที่

ค-14 ค่าตัวแปรสู่ม r^{dir} สำหรับคำนวณความดันลม B39 ช่วงปี พ.ศ.2494 ถึงปี พ.ศ.2533 สำหรับค่าหน่วยแรงลมฤดูดูดสูงสุด

ปี พ.ศ.	ทิศทางลม									
	N	NE	E	SE	S	SW	W	NW	r	
2494	8.532	11.004	22.573	6.235	3.001	14.284	19.746		22.573	
2495	9.645	11.444	30.676	5.195	4.430	11.428	17.721		32.071	
2496	8.161	9.244	13.892	7.793	5.716	9.999	15.189		17.722	
2497	11.129	6.613	17.363	5.974	3.430	9.999	15.189		17.722	
2498	8.903	9.244	31.832	4.676	4.716	16.665	15.696		31.832	
2499	16.693	13.205	28.940	10.391	7.145	19.046	22.784		42.199	
2500	18.548	37.415	23.731	12.988	7.145	19.046	25.316		37.979	
2501	18.548	13.205	34.727	9.092	8.574	23.808	20.252		34.727	
2502	12.983	17.607	27.202	10.391	6.431	28.569	20.252		42.199	
2503	18.548	17.607	26.046	16.885	7.574	22.856	30.378		42.199	
2504	8.161	10.124	6.423	8.313	3.144	13.333	26.834		29.539	
2505	9.645	8.803	23.151	11.689	4.001	11.428	14.682		25.320	
2506	7.419	10.124	19.679	4.156	3.430	16.665	12.657		25.320	
2507	5.194	11.004	17.363	4.156	3.572	10.475	17.721		17.363	
2508	14.096	12.325	15.628	6.754	4.570	18.094	12.657		25.320	
2509	14.096	11.004	17.363	4.676	3.430	16.189	20.252		22.071	
2510	8.903	7.923	10.418	4.156	3.572	14.284	17.721		25.320	
2511	6.677	14.086	16.207	3.637	3.572	10.475	12.657		16.879	
2512	9.274	9.684	17.636	3.897	3.572	11.903	10.126		17.363	
2513	9.274	8.803	12.733	5.195	5.430	18.094	13.164		18.094	

ตารางที่ ค-14 (ต่อ) ค่าตัวแปรสุ่น r^{dir} ตามแผนผังวัดความดันลม B39 ช่วงปี พ.ศ.2494 ถึงปี พ.ศ.2533 สำหรับค่าหน่วยแรงลมดูดสูงสุด

ปี พ.ศ.	พิเศษทางลม									
	N	NE	E	SE	S	SW	W	NW	r	
2514	11.865	22.009	20.836	6.754	3.715	15.189	27.008			27.008
2515	11.129	13.205	17.363	4.936	3.572	15.189	23.632			23.632
2516	11.129	13.205	15.048	4.195	4.573	10.126	21.944			21.944
2517	8.161	12.325	16.207	5.715	3.572	12.657	20.257			20.257
2518	5.935	13.205	17.363	5.195	4.573	10.126	16.879			17.362
2519	14.839	11.004	13.892	4.676	2.585	13.164	8.440			14.835
2520	7.419	7.923	13.892	5.195	3.430	12.657	16.879			16.879
2521	6.677	11.004	17.363	7.793	2.858	11.139	15.192			17.363
2522	5.935	8.803	14.469	6.494	3.572	12.657	20.257			20.257
2523	7.419	7.923	11.576	4.416	2.572	10.126	12.660			12.660
2524	9.645	11.444	14.469	5.195	2.572	12.152	12.660			14.469
2525	15.579	7.483	13.892	4.156	2.572	7.088	11.816			16.665
2526	10.387	11.885	11.576	4.156	3.287	21.771	16.036			21.771
2527	9.274	10.124	8.682	6.494	4.144	16.707	21.099			21.099
2528	6.306	7.483	17.943	8.053	2.858	17.215	29.539			29.539
2529	15.579	8.363	19.679	4.936	5.430	21.771	21.944			21.944
2530	5.564	15.406	20.258	5.974	4.287	15.696	25.320			25.320
2531	11.129	16.286	27.202	9.092	5.001	15.189	25.320			27.202
2532	8.161	10.124	16.207	3.897	2.715	17.721	25.320			25.320
2533	5.935	7.483	11.576	5.715	4.001	12.152	21.099			21.099

ตารางที่ ก-15 ค่าตัวแปรสุ่ม r^{dir} ดำเนินการวัดความดันลม C27 ช่วงปี พ.ศ.2494 ถึงปี พ.ศ.2533 สำหรับค่าหน่วยแรงลมอุดสูงสุด

ปี พ.ศ.	ทิศทางลม									r^{dir}
	N	NE	E	SE	S	SW	W	NW		
2494	9.780	12.247	3.260		17.123	11.586	21.231	11.819		21.231
2495	11.055	12.737	4.430		25.277	9.270	19.054	19.526		25.277
2496	9.355	10.288	2.006		32.617	8.110	16.331	10.790		32.167
2497	12.756	6.859	2.508		19.571	8.110	16.877	10790		19.571
2498	10.205	10.288	4.597		26.907	13.517	24.498	12.333		26.907
2499	19.134	14.697	4.180		40.770	15.448	27.220	25.693		40.770
2500	21.260	41.642	3.427		40.770	15.448	21.776	23.124		41.642
2501	21.260	14.697	5.015		48.923	19.311	21.776	15.416		48.933
2502	14.882	19.596	3.929		36.693	23.172	32.664	25.693		26.693
2503	21.260	19.596	3.762		43.216	18.538	28.853	25.693		43.216
2504	9.355	11.268	0.928		17.939	10.814	15.787	17.985		17.985
2505	11.055	9.798	3.344		22.832	9.270	13.610	15.416		22.832
2506	8.504	11.268	2.842		19.571	13.517	19.054	15.416		19.571
2507	5.953	12.247	2.508		20.384	8.496	13.610	9.250		20.384
2508	16.158	13.718	2.257		26.080	14.676	21.776	15.416		26.094
2509	16.158	12.247	2.508		19.571	13.131	19.054	16.526		19.571
2510	10.205	8.818	1.505		20.384	11.586	16.331	15.416		20.384
2511	7.654	15.677	2.341		20.384	8.496	13.610	10.277		20.384
2512	10.630	10.778	2.508		20.384	9.655	10.888	6.166		20.384
2513	10.630	9.798	1.839		30.985	14.676	14.154	9.250		30.985

ตารางที่ ก-15 (ต่อ) ค่าตัวแปรสัมบูรณ์ r^{dir} สำหรับวัดความดันลม C27 ช่วงปี พ.ศ.2494 ถึงปี พ.ศ.2533 สำหรับค่าหน่วยแรงลมดูดสูงสุด

ปี พ.ศ.	พิศทางลม									
	N	NE	E	SE	S	SW	W	NW	r^{dir}	
2514	13.599	24.495	3.009		21.202	11.586	16.331	16.444	24.495	
2515	12.756	14.697	2.508		20.384	12.359	16.331	14.388	20.384	
2516	12.756	14.697	2.173		26.094	7.724	10.888	13.360	26.094	
2517	9.355	13.718	2.341		20.384	11.586	13.610	12.333	20.384	
2518	6.803	14.679	2.508		26.094	8.496	10.888	10.277	26.094	
2519	17.008	12.247	2.006		16.308	11.586	14.154	5.139	17.408	
2520	8.504	8.818	2.006		19.571	8.496	13.610	10.277	19.571	
2521	7.654	12.247	2.508		16.308	7.724	11.977	9.250	16.308	
2522	6.803	9.798	2.090		20.384	11.586	13.610	12.333	20.384	
2523	8.504	8.818	1.672		14.678	8.496	10.888	7.708	14.678	
2524	11.055	12.737	2.090		14.678	8.496	13.066	7.708	14.678	
2525	17.858	8.328	2.006		14.678	13.517	7.622	7.194	17.858	
2526	11.906	13.228	1.672		18.754	13.131	23.409	9.763	23.409	
2527	10.630	11.268	1.254		23.646	10.428	17.964	12.846	23.646	
2528	7.228	8.328	2.591		16.308	15.448	18.510	17.985	18.510	
2529	17.858	9.308	2.842		30.985	16.993	23.409	13.360	30.985	
2530	6.378	17.147	2.926		24.642	8.496	16.877	15.416	24.462	
2531	12.756	18.126	3.929		28.539	8.496	16.331	15.416	28.539	
2532	9.355	11.268	2.341		15.493	7.724	19.054	15.416	19.054	
2533	6.803	8.328	1.672		22.832	11.586	13.066	12.846	22.832	

ตารางที่ ก-16

ค่าตัวแปรสุ่น r^{dir} ตามแผนผังด้วยความดันลม D9 ช่วงปี พ.ศ.2494 ถึงปี พ.ศ.2533 สำหรับค่าหน่วยแรงลมดูดสูงสุด

ปี พ.ศ.	พิเศษ									
	N	NE	E	SE	S	SW	W	NW	r^{dir}	
2494	17.466		13.803	11.746	9.749	11.173	18.405	10.826	18.405	
2495	19.745		18.759	9.787	14.392	8.939	16.517	17.886	19.745	
2496	16.707		8.495	14.681	18.571	7.821	14.157	9.884	18.571	
2497	22.782		10.618	11.255	11.143	7.821	14.630	9.884	22.782	
2498	18.227		19.466	8.809	15.321	13.036	21.237	11.297	21.237	
2499	34.174		17.697	19.575	23.214	14.898	23.596	23.535	34.174	
2500	37.970		14.512	24.469	23.214	14.898	18.877	21.181	37.970	
2501	37.970		21.236	17.128	27.856	18.623	18.877	14.121	37.970	
2502	25.579		16.365	19.575	20.893	22.347	28.315	23.535	38.315	
2503	37.970		15.928	31.809	24.607	17.878	25.012	23.535	37.970	
2504	16.707		3.928	15.660	10.214	10.429	13.685	16.474	16.707	
2505	19.745		14.157	22.021	13.000	8.939	11.798	14.121	22.201	
2506	15.188		12.034	7.830	11.143	13.036	16.517	14.121	16.517	
2507	10.632		10.618	7.830	11.606	8.194	11.798	8.472	11.798	
2508	28.858		9.557	12.723	14.849	14.153	18.877	14.121	28.858	
2509	28.585		10.618	8.809	11.143	12.664	16.517	17.886	28.858	
2510	18.227		6.371	7.830	11.606	11.173	14.145	14.121	18.227	
2511	13.670		9.911	6.851	11.606	8.194	11.798	9.414	13.670	
2512	18.984		10.618	7.341	11.06	9.311	9.438	5.648	18.984	
2513	18.984		7.786	9.787	17.643	14.153	12.269	8.473	18.984	

ตารางที่ ก-16 (ต่อ) ค่าตัวแปรสุ่ม r^{dir} ตำแหน่งวัดความดันลม D9 ช่วงปี พ.ศ.2494 ถึงปี พ.ศ.2533 สำหรับค่าหน่วยแรงลมดูดสูงสุด

ปี พ.ศ.	ทิศทางลม								
	N	NE	E	SE	S	SW	W	NW	r ^{dir}
2514	24.289		12.742	12723	12.071	11.173	14.157	15.063	24.302
2515	22.782		10.618	9.298	110.606	11.919	14.157	13.180	22.782
2516	22.782		9.202	9.787	14.857	7.449	9.438	12.238	22.782
2517	16.707		9.911	10.766	11.606	11.173	11.798	11.297	16.707
2518	12.150		10.618	9.787	14.857	8.194	9.438	9.414	14.857
2519	30.377		8.495	8.809	9.285	11.173	12.269	4.707	30.377
2520	15.188		8.495	9.787	11.143	8.194	11.798	9.414	15.188
2521	13.670		10.618	14.681	9.285	7.449	10.382	8.473	14.681
2522	12.150		8.848	12.234	11.606	11.173	11.798	11.297	12.234
2523	15.188		7.079	8.319	8.357	8.194	9.438	7.060	15.188
2524	19.745		8.848	9.787	8.357	8.194	11.327	7.060	19.745
2525	31.894		8.495	7.830	8.357	13.036	6.607	6.590	31.984
2526	21.264		7.079	7.830	10.678	12.664	20.292	8.943	21.264
2527	18.984		5.309	12.234	13.464	10.057	15.573	11.767	18.984
2528	12.909		10.972	15.171	9.285	14.898	16.045	16.474	16.474
2529	31.894		12.034	9.298	17.643	16.388	20.292	12.238	31.984
2530	11.391		12.388	11.255	13.928	8.194	14.630	14.121	14.630
2531	22.782		16.365	17.128	16.250	8.194	14.157	14.121	22.782
2532	16.707		9.911	7.341	8.821	7.449	16.517	14.121	16.707
2533	12.150		7.079	10.766	13.000	11.173	11.327	11.767	13.000

ตารางที่ ค-17 ค่าตัวแปรสูม r^{dir} ดำเนินงวดความดันลม E9 ช่วงปี พ.ศ.2494 ถึงปี พ.ศ.2533 สำหรับค่าหน่วยแรงดันดูดสูด

ปี พ.ศ.	ทิศทางลม								
	N	NE	E	SE	S	SW	W	NW	r^{dir}
2494	16.165	16.165	11.988	11.695	9.382	11.602	0.392	9.860	22.471
2495	18.274	18.274	16.291	9.745	13.850	9.282	0.352	16.291	23.370
2496	15.463	15.463	7.378	14.617	17.872	8.121	0.302	9.002	18.876
2497	21.085	21.085	9.221	11.207	10.723	8.121	0.312	9.002	21.085
2498	16.869	16.869	16.905	8.771	14.743	13.536	0.452	10.289	19.951
2499	31.628	31.628	15.369	19.490	22.339	15.469	0.503	21.435	31.628
2500	35.141	35.414	12.603	24.363	22.339	15.469	0.402	19.292	76.404
2501	35.141	35.141	18.443	17.054	26.806	19.337	0.402	12.861	35.141
2502	24.599	24.599	14.447	19.494	20.105	23.204	0.603	21.435	35.954
2503	35.141	35.141	13.832	31.671	23.679	18.564	0.533	21.435	35.954
2504	15.463	15.463	9.221	15.593	9.829	10.829	0.291	15.004	20.673
2505	18.274	18.274	12.295	21.929	12.510	9.282	0.251	12.861	21.926
2506	14.056	14.056	10.451	7.796	10.723	13.536	0.352	12.861	20.673
2507	9.840	9.840	9.221	7.796	11.169	8.508	0.251	7.717	22.471
2508	26.708	26.708	8.300	12.688	14.297	14.696	0.402	12.861	26.708
2509	26.708	26.708	9.221	8.771	10.723	13.149	0.352	16.291	26.708
2510	16.869	16.869	5.533	7.796	11.169	11.602	0.302	12.861	16.769
2511	12.651	12.651	8.607	6.822	11.169	8.508	0.251	8.574	28.764
2512	17.570	17.570	9.221	7.309	11.169	9.668	0.201	5.144	19.775
2513	17570	17.570	6.762	9.745	16.978	14.696	0.261	7.717	17.977

ตารางที่ ก-17 (ต่อ) ค่าตัวแปรสู่ r^{dir} ตามหน่วยความดันลม E9 ช่วงปี พ.ศ.2494 ถึงปี พ.ศ.2533 สำหรับค่าหน่วยแรงลมฤดูร้อน

ปี พ.ศ.	ทิศทางลม									
	N	NE	E	SE	S	SW	W	NW	r^{dir}	
2514	22.491	44.944	11.066	12.668	11.616	11.602	13.300	13.719	44.944	
2515	21.085	26.965	9.221	9.258	11.169	12.376	13.300	12.004	26.965	
2516	21.085	26.965	7.992	9.745	14.297	7.735	8.867	11.146	26.965	
2517	15.463	25.169	8.607	10.720	11.169	11.602	11.083	10.289	25.169	
2518	11.245	26.965	9.221	9.745	14.297	8.508	8.867	8.574	26.965	
2519	28.114	22.471	7.378	8.771	8.935	11.602	11.527	4.287	28.114	
2520	15.056	16.180	7.378	9.745	10.723	8.508	11.083	8.574	16.180	
2521	12.651	22.471	9.221	14.617	8.935	7.735	9.753	7.717	22.471	
2522	11.245	17.977	7.684	12.181	11.169	11.602	11.083	10.289	17.977	
2523	14.056	16.180	6.148	8.283	8.042	8.508	8.867	6.431	16.180	
2524	18.274	23.370	7.684	9.745	8.042	8.508	10.641	6.431	23.370	
2525	29.518	15.281	7.378	7.796	8.042	13.536	6.207	6.002	29.518	
2526	19.680	24.270	6.148	7.796	10.276	13.149	19.064	8.145	24.270	
2527	17.570	20.673	4.611	12.181	12.956	10.442	14.630	10.717	20.673	
2528	11.948	15.281	9.529	15.105	8.935	15.469	15.074	15.004	15.469	
2529	29.518	17.078	10.451	9.258	16.978	17.016	19.064	11.146	29.518	
2530	10.543	31.460	10.758	11.207	13.403	8.508	13.744	12.861	31.460	
2531	21.085	33.258	14.447	17.054	15.637	8.508	13.300	12.861	33.258	
2532	15.463	20.673	8.607	7.309	8.489	7.735	15.517	12.861	20.673	
2533	11.245	15.281	6.148	10.720	12.510	11.602	10.641	10.717	15.281	

ตารางที่ ค-18 ค่าตัวแปรสุ่ม r^{dir} ตำแหน่งวัดความดันลม F13 ช่วงปี พ.ศ.2494 ถึงปี พ.ศ.2533 สำหรับค่าหน่วยแรงลมดูดสูงสุด

ปี พ.ศ.	ทิศทางลม									
	N	NE	E	SE	S	SW	W	NW	r^{dir}	
2494	17.131	9.827	16.630	8.787	9.909	15.696	7.799		17.131	
2495	19.366	10.220	22.600	7.322	14.624	12.558	6.999		22.600	
2496	16.386	8.255	10.235	10.983	18.875	10.988	5.999		18.875	
2497	22.345	5.503	12.792	8.420	11.325	10.988	6.200		22.343	
2498	17.877	8.255	23.452	6.590	15.571	18.313	8.999		23.452	
2499	33.517	11.792	21.321	14.644	23.593	20.929	9.999		33.517	
2500	37.241	33.413	17.484	18.305	23.593	20.929	7.999		37.241	
2501	37.241	11.792	25.585	12.814	28.311	26.162	7.999		37.241	
2502	26.069	15.723	20.041	14.644	21.234	31.394	11.999		31.394	
2503	37.241	15.723	19.189	23.796	25.009	25.116	10.599		37.241	
2504	16.386	9.041	12.792	11.716	10.381	14.651	5.799		16.386	
2505	19.366	7.862	17.057	16.474	13.213	12.558	4.999		19.366	
2506	14.896	9.041	14.498	5.858	11.325	18.313	6.999		18.313	
2507	10.428	9.827	12.792	5.858	11.796	11.511	4.999		12.792	
2508	28.303	11.007	11.514	9.518	15.100	19.883	7.999		28.303	
2509	28.303	9.827	12.792	6.590	11.325	17.790	6.999		28.303	
2510	17.877	7.076	7.676	5.858	11.796	15.696	5.999		17.877	
2511	13.407	12.579	11.940	5.126	11.796	11.511	4.999		13.407	
2512	18.620	8.648	12.792	5.492	11.796	13.081	4.000		18.620	
2513	18.620	7.862	9.381	7.322	17.931	19.883	5.199		19.883	

ตารางที่ ค-18 (ต่อ) ค่าตัวแปรสู่ม r^{dir} สำหรับวัดความดันลม F13 ช่วงปี พ.ศ.2494 ถึงปี พ.ศ.2533 สำหรับค่าหน่วยแรงลมดูดสูงสุด

ปี พ.ศ.	พิเศษทางลม									
	N	NE	E	SE	S	SW	W	NW	r^{dir}	
2514	23.835	19.655	15.351	9.518	12.268	15.696	5.999		23.835	
2515	22.345	11.792	12.792	6.956	11.796	16.744	5.999		22.345	
2516	22.345	11.792	11.087	7.322	15.100	10.465	4.000		22.345	
2517	16.386	11.007	11.940	8.054	11.796	15.696	4.999		16.386	
2518	11.917	11.792	12.792	7.322	15.100	11.511	4.000		15.100	
2519	29.794	9.827	10.235	6.590	9.437	15.696	5.199		29.794	
2520	14.896	7.076	10.235	7.322	11.325	11.511	4.999		14.896	
2521	13.407	9.827	12.792	10.983	9.437	10.465	4.400		13.407	
2522	11.917	7.862	10.660	9.152	11.796	15.696	5.199		15.696	
2523	14.896	7.076	8.528	6.224	8.494	11.511	4.999		14.896	
2524	19.366	10.220	10.660	7.322	8.494	11.511	4.000		19.366	
2525	31.281	6.683	10.235	5.858	8.494	18.313	4.800		31.281	
2526	20.856	10.614	8.528	5.858	10.853	17.790	2.800		20.856	
2527	18.620	9.041	6.396	9.152	13.683	14.128	6.599		18.620	
2528	12.661	6.683	13.219	11.349	9.437	20.929	6.799		23.929	
2529	31.281	7.469	14.498	6.956	17.931	23.022	8.599		31.281	
2530	11.172	13.758	14.925	8.420	14.156	11.511	6.200		14.925	
2531	22.345	14.544	20.041	12.814	16.515	11.511	5.999		22.345	
2532	16.386	9.041	11.940	5.492	8.965	10.465	6.999		16.386	
2533	11.917	6.683	8.528	8.054	12.213	15.696	4.800		15.696	

ตารางที่ ค-19 ค่าตัวแปรสุ่ม r^{dir} ตำแหน่งวัดความดันลม G22 ช่วงปี พ.ศ.2494 ถึงปี พ.ศ.2533 สำหรับค่าหน่วยแรงลมอุดสูงสุด

ปี พ.ศ.	ทิศทางลม									
	N	NE	E	SE	S	SW	W	NW	r^{dir}	
2494	9.739	11.282	16.032	9.346	16.388	6.967		9.082	16.388	
2495	10.010	11.733	21.787	7.788	24.192	5.574		15.005	24.192	
2496	9.316	9.477	9.866	11.681	31.217	4.877		8.292	31.217	
2497	12.704	6.318	12.332	8.956	18.731	4.877		8.292	18.731	
2498	10.163	9.477	22.608	7.009	25.752	8.129		9.477	25.752	
2499	19.055	13.538	20.554	15.575	39.020	9.290		19.743	39.020	
2500	21.172	38.359	16.855	19.469	39.020	9.290		17.769	39.020	
2501	21.172	13.538	24.664	13.629	46.823	11.613		11.846	46.823	
2502	14.821	18.051	19.320	15.575	35.118	13.935		19.743	35.168	
2503	21.172	18.051	18.499	25.310	41.362	11.148		19.743	41.362	
2504	9.316	10.379	4.562	12.460	17.169	6.503		13.820	17.169	
2505	11.010	9.026	16.443	17.522	21.852	5.574		11.846	21.852	
2506	8.469	10.379	13.977	6.230	18.731	8.129		11.846	18.731	
2507	5.929	11.282	12.332	6.230	19.509	5.110		7.108	19.509	
2508	16.091	12.636	11.099	10.124	24.960	8.826		11.846	24.974	
2509	16.091	11.282	12.332	7.009	18.731	7.897		15.005	18.731	
2510	10.163	8.123	7.399	6.230	19.509	6.967		11.846	19.509	
2511	7.622	14.441	11.510	5.452	19.509	5.110		7.897	19.509	
2512	10.586	9.928	12.332	5.841	19.509	5.806		4.738	19.509	
2513	10.586	9.026	9.044	7.788	29.655	8.826		7.108	29.655	

ตารางที่ ก-19 (ต่อ) ค่าตัวแปรสุ่น r^{dir} สำหรับวัดความดันลม G22 ช่วงปี พ.ศ.2494 ถึงปี พ.ศ.2533 สำหรับค่าหน่วยแรงลมดูดสูงสุด



ปี พ.ศ.	ทิศทางลม									
	N	NE	E	SE	S	SW	W	NW	r^{dir}	
2514	13.544	22.564	14.799	10.124	20.291	6.967		12.636	22.564	
2515	12.704	13.538	12.332	7.398	15.509	7.432		11.057	19.509	
2516	12.704	13.538	10.688	7.788	24.974	4.645		10.267	24.974	
2517	9.316	12.636	11.510	8.566	19.509	6.967		9.477	19.509	
2518	6.775	13.538	12.332	7.788	24.974	5.110		7.897	24.974	
2519	16.938	11.282	9.866	7.009	15.608	6.967		3.949	16.938	
2520	8.469	8.123	9.866	7.788	18.731	5.110		7.897	18.731	
2521	7.622	11.282	12.332	11.681	15.608	4.645		7.108	15.608	
2522	6.775	9.026	10.277	9.734	19.509	6.967		9.477	19.509	
2523	8.469	8.123	8.221	6.620	14.048	5.110		5.923	14.048	
2524	10.010	11.733	10.277	7.788	14.048	5.110		5.923	14.048	
2525	17.784	7.672	9.866	6.230	14.048	8.129		5.528	17.784	
2526	11.857	12.185	8.221	6.230	17.949	7.897		7.503	17.949	
2527	10.586	10.379	6.166	9.734	22.631	6.271		9.871	22.631	
2528	7.198	7.672	12.744	12.071	15.608	9.290		13.820	15.608	
2529	17.784	8.574	13.977	7.398	29.655	10.219		10.267	29.655	
2530	6.352	15.795	14.388	8.956	23.412	5.110		11.846	23.412	
2531	12.704	16.697	19.320	12.629	27.314	5.110		11.846	27.314	
2532	9.316	10.379	15.510	5.841	14.828	4.645		11.846	14.828	
2533	6.775	7.672	8.221	8.566	21.852	6.967		9.871	21.852	

ภาคผนวก ง

ตัวอย่างการคำนวณด้วยมือ

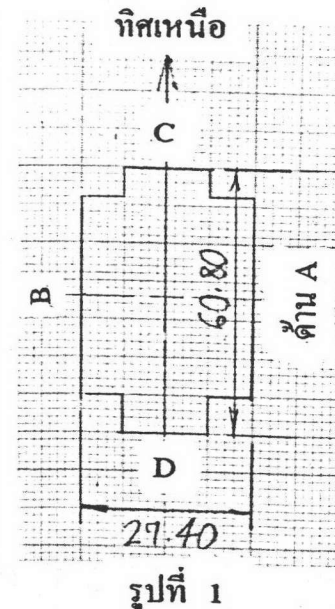


การหาค่าความดันลมออกแบบ, P ,สำหรับผังรองอาคารตามข้อกำหนดของ ANSI

A58.1-1982

1) ค่าความสูงของระดับ A ถึง G วัดจากระดับพื้นดินสำหรับค้าน C,D และ B

ระดับ	ค้าน C, D		ค้าน A, B	
	h (ม.)	h (ฟุต)	h (ม.)	h (ฟุต)
A	48.0	160.0	44.0	146.7
B	88.0	293.0	84.0	280.7
C	120.0	400.0	116.0	386.7
D	144.0	480.0	140.0	466.7
E	168.0	560.0	164.0	546.7
F	192.0	640.0	188.0	626.7
G	210.0	700.0	206.0	686.7



2) ค่าความเร็วลม (เมตร/วินาที) สำหรับคานการกลับที่ 50 ปี ในแต่ละระดับ A ถึง G สำหรับสภาพเปิดแบบ A โดยที่ค่าความสูงเกรเดียนท์ สำหรับสภาพเปิดแบบ A มีค่า 460 เมตรและค่าตัวเลขยกกำลังมีค่า 1/3 หรือ 0.34 ดังนั้นสำหรับความเร็วลมเกรเดียนท์ ซึ่งมีค่า 40 เมตร/วินาที ค่าความเร็วลม ณ ระดับความสูง h เมตร จากระดับพื้นดิน, Vh สามารถหาได้จาก

$$V_h = 40 \left(\frac{h}{460} \right)^{0.34} \text{ เมตร/วินาที}$$

ดังนี้ สำหรับค้าน C, D

2.1) ณ ระดับ A, h = 48.0 m.

$$V_A = 40 \left(\frac{48}{460} \right)^{0.34} = 18.550 \text{ เมตร/วินาที}$$

2.2) ณ ระดับ B, h = 88.0 m.

$$V_B = 40 \left(\frac{88}{460} \right)^{0.34} = 22.795 \text{ เมตร/วินาที}$$

2.3) ณ ระดับ C, h = 120.0 m.

$$V_C = 40 \left(\frac{120}{460} \right)^{0.34} = 25.331 \text{ เมตร/วินาที}$$

2.4) ณ ระดับ D, h = 144.0 m.

$$V_D = 40 \left(\frac{144}{460} \right)^{0.34} = 26.950 \text{ เมตร/วินาที}$$

$$V_E = 40 (168/460)^{0.34} = 28.401 \text{ เมตร/วินาที}$$

2.6) ณ ระดับ F, h = 192.0 ม.

$$V_F = 40 (192/460)^{0.34} = 29.720 \text{ เมตร/วินาที}$$

2.7) ณ ระดับ G, h = 210.0 ม.

$$V_G = 40 (210/460)^{0.34} = 30.639 \text{ เมตร/วินาที}$$

3) ค่าความเร็วลม ณ ระดับความสูง 10 เมตร จากระดับพื้นดิน สำหรับคานการกลับที่ 50 ปี สภาพเปิดแบบ A, V_{10} , มีค่า

$$\begin{aligned} V_{10} &= 40 (10/460)^{0.34} \\ &= 10.882 \text{ เมตร/วินาที} \end{aligned}$$

4) ค่าความเร็วลม ณ ระดับความสูง 10 เมตร จากระดับพื้นดิน สำหรับคานการกลับที่ 50 ปี สภาพเปิดแบบ C, $U_{(10),c}$ มีค่า

$$\begin{aligned} U_{(10),c} &= \frac{U_{(10),A} (10/275)^{1/7}}{(10/460)^{0.34}} \\ &= \frac{10.882 (10/275)^{1/7}}{(10/460)^{0.34}} \\ &= 24.913 \text{ เมตร/วินาที} \end{aligned}$$

5) ค่าความเร็วลม (ไมล์/ชั่วโมง) ณ ระดับความสูง 10 เมตร จากระดับพื้นดิน สำหรับคานการกลับที่ 50 ปี สภาพเปิดแบบ C, $U(10)$ มีค่า

$$\begin{aligned} U(10) &= 2.237 \times U(10)_c \\ &= 2.237 \times 24.913 \\ &= 55.730 \text{ ไมล์/ชั่วโมง} \end{aligned}$$

6) ค่าความเร็วลม ไมล์สูงสุด ณ ระดับความสูง 10 เมตร จากระดับพื้นดิน สำหรับคานการกลับที่ 50 ปี สภาพเปิดแบบ C, $U_{t(10)}$ มีค่า

$$\begin{aligned} U_{t(10)} &\cong U(10) + C(t) \times \sqrt{6.0} (U(10)/2.5 \ln 10/0.070) \\ &= 55.730 + C(t) \times \sqrt{6.0} (55.730/2.5 \ln 10/0.070) \\ &= 55.730 + 11.005 C(t) \end{aligned}$$

สมมุติให้ $t = 60$ วินาที จากรูปที่ ก-8 ภาคผนวก จะได้ $C(t) = 1.25$ และ

$$U_t(10) = 69.486 \text{ ไมล์/ชั่วโมง}$$

และ $t = 3600/69.486 = 52$ วินาที ซึ่งน้อยกว่าค่าที่สมมุติ

สมมุติให้ $t = 50$ วินาที, จะได้ $C(t) = 1.40$

$$U_t(10) = 71.137 \text{ ไมล์/ชั่วโมง}$$

และ $t = 3600/71.137 = 51$ วินาที ซึ่งใกล้เคียงกับค่า t ที่สมมุติไว้

$$\text{ดังนั้น } U_t(10) = 71.137 \text{ ไมล์/ชั่วโมง}$$

7) ค่าสัมประสิทธิ์ความดันลมภายในสำหรับอาคาร, GCpi จากรูปที่ ก-4 ภาคผนวก ก โดยสมมุติให้ห้องเปิดของอาคารมีการกระจายอย่างสม่ำเสมอ

$$\text{จะได้ } GCpi = +0.75 \text{ และ } -0.25$$

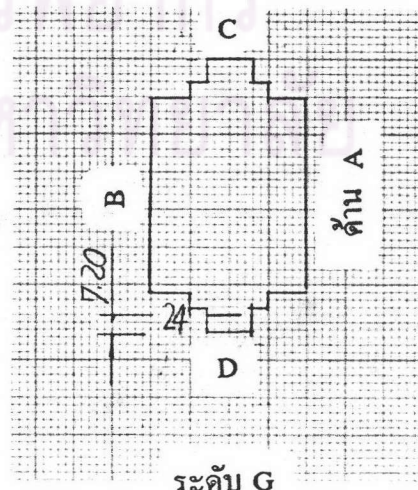
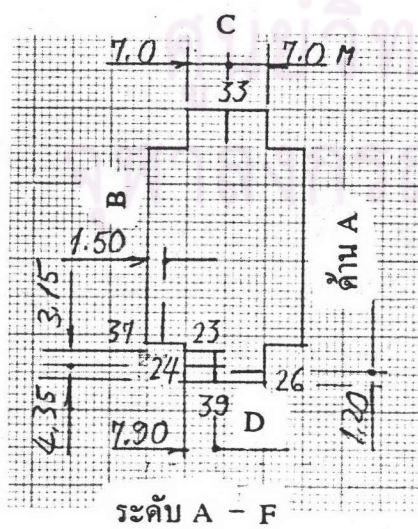
8) เมื่องจากระดับความสูง h ที่ยอดอาคาร JEWELRY TRADE CENTER มีค่า 221.0 เมตร หรือ 737 ฟุต ซึ่งมากกว่า 60 ฟุต ดังนั้นค่าความดันลมสูงสุด สำหรับตำแหน่งที่มีความดัน A33, B39, C26, D37, E23, F24 และ G24 สามารถหาได้จาก

$$P = q_z(GCp) - q_z(GCpi)$$

และเมื่องจาก $GCp = +$ และค่าความดันลมสูงสุดเกิดขึ้นเมื่อ $GCpi = +$

$$\text{ดังนั้น } P = q_z(GCp) - q_z(GCpi)$$

จากตำแหน่งที่มีความดันลมบนแบบจำลอง สามารถแสดงตำแหน่งที่มีความดันลม ซึ่งสอดคล้องกับบนด้านแบบได้ดังรูป



จากรูปที่ ก-7 ภาคผนวก จะได้

$$a = 0.05 \times 27.40 = 1.37 \text{ ม.}$$

$$\text{หรือ } a = 0.5 \times 221.0 = 110.5 \text{ ม.}$$

$$\text{ดังนั้น } a = 1.37 \text{ ม.}$$

จากตำแหน่งของจุดวัดความดันลมบนต้นแบบตามรูปที่ 1 และ รูปที่ ก-7 จะได้ว่า ตำแหน่งวัดความดันลม A33, B39, E23, F24, และ G24 จะอยู่ในบริเวณที่ 5 ตำแหน่งวัดความดันลม D37 จะอยู่ในบริเวณที่ 6 และตำแหน่งวัดความดันลม C26 จะอยู่ในบริเวณที่ 7

พื้นที่รับแรงลมโดยรอบ ตำแหน่งวัดความดันลมแต่ละตำแหน่งที่พิจารณา สามารถแสดงได้ดังนี้

ตำแหน่ง	A		$(48+20)(1.60+1.20)$
	ตร.ม.	ตร.ฟุต	
A26	190.4	635	$(16+20)(1.40+1.675)$
B39	110.7	259	$(12+16)(1.575+1.20)$
C27	77.7	240	$(12+12)(1.50+1.50)$
D9	72.0	222	$(12+12)(1.20+1.575)$
E9	66.6	222	$(9+12)(3.15)$
F13	66.15	221	$(15+9)(1.50+2.85)$
G22	104.4	348	

จากรูปที่ ก-7 ภาคผนวก ก

ตำแหน่งวัดความดันลม A33, เมื่อ $A = 635 \text{ ตร.ฟุต}$, บริเวณที่ 5

$$GCp = + 0.75$$

ตำแหน่งวัดความดันลม B39, เมื่อ $A = 369 \text{ ตร.ฟุต}$, บริเวณที่ 5

$$GCp = + 0.80$$

ตำแหน่งวัดความดันลม C26, เมื่อ $A = 259 \text{ ตร.ฟุต}$, บริเวณที่ 7

$$GCp = + 0.80$$

ตำแหน่งวัดความดันลม D37, เมื่อ $A = 240 \text{ ตร.ฟุต}$, บริเวณที่ 6

$$GCp = + 0.80$$

ตัวแหน่งวัดความดันลม E23, เมื่อ $A = 222$ ตร.ฟุต, บริเวณที่ 5

$$GCp = + 0.80$$

ตัวแหน่งวัดความดันลม F24, เมื่อ $A = 221$ ตร.ฟุต, บริเวณที่ 5

$$GCp = + 0.80$$

ตัวแหน่งวัดความดันลม G24, เมื่อ $A = 348$ ตร.ฟุต, บริเวณที่ 5

$$GCp = + 0.80$$

ค่าความดันลมที่ระดับความสูง Z ฟุต ได้จากสมการที่ (4-12)

$$q_z = 0.00256 K_z(IV)^2$$

จากรูปที่ ก-3 ภาคผนวก, สำหรับสภาพเปิดแบบ A , ค่าตัวประกอบภูมิประเทศ-ความดันลมพลวัต, K_z สำหรับแต่ละตัวแหน่งวัดความดันลม มีค่าดังนี้

ตัวแหน่งวัดความดันลม A33, $h = 160$ ฟุต $K_z = 0.58$

$$B39, h = 293.3 \text{ ฟุต } K_z = 0.88 - (0.1 \times 6.7)/50 = 0.87$$

$$C26, h = 400.0 \text{ ฟุต } K_z = 1.07$$

$$D37, h = 480.0 \text{ ฟุต } K_z = 1.24 - (0.08 \times 20)/50 = 1.21$$

$$E23, h = 560.0 \text{ ฟุต } K_z = 2.58 (Z/Z_q)^{2/3} = 2.58 (560/1500)^{2/3} = 1.34$$

$$F24, h = 640.0 \text{ ฟุต } K_z = 2.58 (640/1500)^{2/3} = 1.46$$

$$G24, h = 700.0 \text{ ฟุต } K_z = 2.58 (700/1500)^{2/3} = 1.55$$

สมมุติให้ CATEGORY สำหรับอาคารที่พิจารณาเป็น CATEGORY I ดังนี้จากรูปที่ ก-3 ตารางแสดงค่าตัวประกอบความสำคัญ, I ภาคผนวก ก จะได้

$$I = 1.00$$

ดังนี้ค่าความดันลมที่แต่ละตัวแหน่งวัดความดันลม สามารถหาได้ดังนี้

ณ ตัวแหน่งวัดความดันลม A33, $P = 0.00256 \times 0.58 \times (1.00 \times 71.137)^2 [+0.75+0.75]$

$$= 11.271 \text{ ปอนด์/ตร.ฟุต}$$

$$= 0.593 \text{ กิโลนิวตัน/ตร.เมตร}$$

$$= 53.93 \text{ กิโลกรัม/ตร.เมตร}$$

ณ ตัวแหน่งวัดความดันลม B39, $P = 0.00256 \times 0.87 \times (1.00 \times 71.137)^2 [+0.80+0.75]$

$$= 14.470 \text{ ปอนด์/ตร.ฟุต}$$

$$= 0.8559 \text{ กิโลนิวตัน/ตร.เมตร}$$

$$= 85.59 \text{ กิโลกรัม/ตร.เมตร}$$

ณ ตำแหน่งวัดความดันลม C26, $P = 0.00256 \times 1.07 \times (1.00 \times 71.137)^2 [+0.80+0.75]$

$$= 21.486 \text{ ปอนด์/ตร.ฟุต}$$

$$= 1.0280 \text{ กิโลนิวตัน/ตร.เมตร}$$

$$= 102.80 \text{ กิโลกรัม/ตร.เมตร}$$

ณ ตำแหน่งวัดความดันลม D37, $P = 0.00256 \times 1.21 \times (1.00 \times 71.137)^2 [+0.80+0.75]$

$$= 24.297 \text{ ปอนด์/ตร.ฟุต}$$

$$= 1.1625 \text{ กิโลนิวตัน/ตร.เมตร}$$

$$= 116.25 \text{ กิโลกรัม/ตร.เมตร}$$

ณ ตำแหน่งวัดความดันลม E23, $P = 0.00256 \times 1.34 \times (1.00 \times 71.137)^2 [+0.85+0.75]$

$$= 27.775 \text{ ปอนด์/ตร.ฟุต}$$

$$= 1.3289 \text{ กิโลนิวตัน/ตร.เมตร}$$

$$= 132.89 \text{ กิโลกรัม/ตร.เมตร}$$

ณ ตำแหน่งวัดความดันลม F24, $P = 0.00256 \times 1.46 \times (1.00 \times 71.137)^2 [+0.85+0.75]$

$$= 30.262 \text{ ปอนด์/ตร.ฟุต}$$

$$= 1.4479 \text{ กิโลนิวตัน/ตร.เมตร}$$

$$= 144.79 \text{ กิโลกรัม/ตร.เมตร}$$

ณ ตำแหน่งวัดความดันลม G24, $P = 0.00256 \times 1.55 \times (1.00 \times 71.137)^2 [+0.80+0.75]$

$$= 31.124 \text{ ปอนด์/ตร.ฟุต}$$

$$= 1.4892 \text{ กิโลนิวตัน/ตร.เมตร}$$

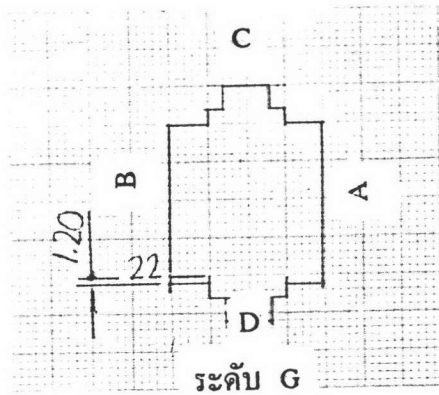
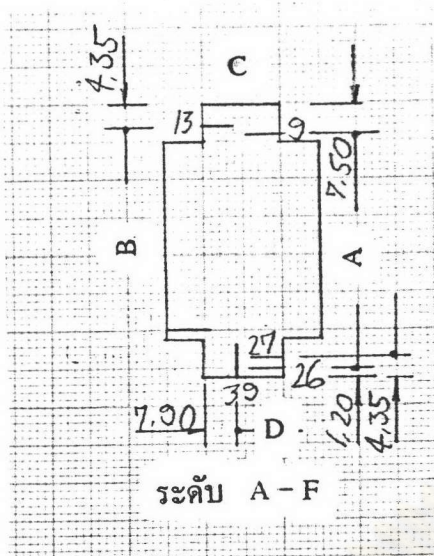
$$= 148.92 \text{ กิโลกรัม/ตร.เมตร}$$

9) การหาค่าหน่วยแรงลมดูดสำหรับตำแหน่งวัดความดันลม A26, B39, C27, D9, E9,

F13 และ G22

$$P = q_h (GCp) - q_z (GCpi)$$

ตำแหน่งวัดความดันลมบนต้นแบบ ซึ่งสอดคล้องกับแบบจำลอง สามารถแสดงได้ดังรูป



จากูปที่ ก-7 ภาคผนวก

$$a = 0.05 \times 27.40 = 1.37 \text{ ม.}$$

$$\text{หรือ } a = 0.5 \times 221.0 = 110.5 \text{ ม.}$$

$$\text{ดังนั้น } a = 1.37 \text{ ม.}$$

คำແໜ່ງວັດຄວາມດັນລົມ B39, C27, D9, E9, ແລະ F13 ຈຶ່ງອູ້ໃນບຣິເວັບທີ 5 ໃນຂະໜາດ
ຕຳແໜ່ງວັດຄວາມດັນລົມ A26 ແລະ G22 ຈະອູ້ໃນບຣິເວັບທີ 7

ພື້ນທີ່ຮັບແຮງລົມໂດຍຮອບ ຕຳແໜ່ງວັດຄວາມດັນລົມແຕ່ລະຕຳແໜ່ງທີ່ພິຈາລາສາ ສາມາດແສດງ
ໄດ້ດັ່ງນີ້

ຕຳແໜ່ງ	A	
	ຕຣ.ມີຕຣ	ຕຣ.ຫຼຸດ
A26	177.6	592
B39	110.7	369
C27	88.2	294
D9	66.6	222
E9	66.6	222
F13	66.2	221
G22	102.2	341

$$(44+20) \times (1.20 + 1.575)$$

$$(16+20) \times (1.40 + 1.675)$$

$$(12+16) \times (3.15)$$

$$(12+12) \times (1.20 + 1.575)$$

$$(12+12) \times (1.20 + 1.575)$$

$$(9+12) \times (3.15)$$

$$(15+9) \times (3.06 + 1.20)$$

จากรูปที่ ก-7

ตัวแหน่งวัดความดันลม A26, เมื่อ $A = 592$ ตร.ฟุต, บริเวณที่ 7

$$GCp = +0.75$$

ตัวแหน่งวัดความดันลม B39, เมื่อ $A = 369$ ตร.ฟุต, บริเวณที่ 5

$$GCp = +0.80$$

ตัวแหน่งวัดความดันลม C27, เมื่อ $A = 294$ ตร.ฟุต, บริเวณที่ 5

$$GCp = +0.90$$

ตัวแหน่งวัดความดันลม D9, เมื่อ $A = 222$ ตร.ฟุต, บริเวณที่ 5

$$GCp = +0.90$$

ตัวแหน่งวัดความดันลม E9, เมื่อ $A = 222$ ตร.ฟุต, บริเวณที่ 5

$$GCp = +0.90$$

ตัวแหน่งวัดความดันลม F13, เมื่อ $A = 221$ ตร.ฟุต, บริเวณที่ 5

$$GCp = +0.90$$

ตัวแหน่งวัดความดันลม G22, เมื่อ $A = 341$ ตร.ฟุต, บริเวณที่ 7

$$GCp = +0.80$$

ค่าหน่วยแรงลมคุดที่ระดับความสูง h ได้ ๆ สามารถหาได้จากสมการที่ (4-12)

$$q_h = 0.00256 K_z (IV)^2$$

สำหรับ $h = 221.0$ ม. = 736.7 ฟุต, สภาพแบบเปิด A

$$K_z = 2.58 (Z/Z_g)^{2/\alpha} = 2.58 (736.7/1500)^{2/\beta}$$

$$= 1.606$$

โดยสมมุติให้ CATEGORY ของอาคารที่พิจารณาเป็น CATEGORY I ดังนั้นจากรูปที่

ก-3 ตารางแสดงค่าตัวประกอบความสำคัญ, I จะได้

$$I = 1.00$$

และค่า q_h สำหรับทุกตัวแหน่งวัดความดันลม

$$q_h = 0.00256 \times 1.606 \times (1.0 \times 71.137)^2$$

$$= 20.805 \text{ ปอนด์/ตร.ฟุต}$$

$$q_z = 0.00256 K_z (IV)^2$$

$$\text{จาก } K_z = 2.58 (Z/Z_g)^{2/\alpha} \text{ สำหรับสภาพเปิดแบบ A}$$

ตัวแหน่งวัดความดันลม A26, $h = 146.7$ ฟุต, $K_z = 0.55$

ตัวแหน่งวัดความดันลม B39, $h = 293.3$ ฟุต, $K_z = 0.87$

ตัวแหน่งวัดความดันลม C27, $h = 386.7$ ฟุต, $K_z = 1.05$

ตัวแหน่งวัดความดันลม D9, $h = 466.7$ ฟุต, $K_z = 1.18$

ตัวแหน่งวัดความดันลม E9, $h = 546.7$ ฟุต, $K_z = 1.32$

ตัวแหน่งวัดความดันลม F13, $h = 262.7$ ฟุต, $K_z = 1.44$

ตัวแหน่งวัดความดันลม G22, $h = 686.7$ ฟุต, $K_z = 1.53$

เมื่อ $I = 1.00$

$$\text{ณ ตัวแหน่งวัดความดันลม A26, } P = 20.805(-0.75) - 0.00256 \times 0.55 \times (1.0 \times 71.137)^2 (+0.75)$$

$$= -20.948 \text{ ปอนด์/ตร.ฟุต}$$

$$= -1.0023 \text{ กิโลนิวตัน/ตร.เมตร}$$

$$= -100.23 \text{ กิโลกรัม/ตร.เมตร}$$

$$\text{ณ ตัวแหน่งวัดความดันลม B39, } P = 20.805(-1.075) - 0.00256 \times 0.87 \times (1.0 \times 71.137)^2 (+0.75)$$

$$= -24.057 \text{ ปอนด์/ตร.ฟุต}$$

$$= -1.1511 \text{ กิโลนิวตัน/ตร.เมตร}$$

$$= -115.11 \text{ กิโลกรัม/ตร.เมตร}$$

$$\text{ณ ตัวแหน่งวัดความดันลม C27, } P = 20.805(-0.75) - 0.00256 \times 1.05 \times (1.0 \times 71.137)^2 (+0.75)$$

$$= -25.806 \text{ ปอนด์/ตร.ฟุต}$$

$$= -1.2347 \text{ กิโลนิวตัน/ตร.เมตร}$$

$$= -123.47 \text{ กิโลกรัม/ตร.เมตร}$$

$$\text{ณ ตัวแหน่งวัดความดันลม D9, } P = 20.805(-0.75) - 0.00256 \times 1.18 \times (1.0 \times 71.137)^2 (+0.75)$$

$$= -27.069 \text{ ปอนด์/ตร.ฟุต}$$

$$= -1.2952 \text{ กิโลนิวตัน/ตร.เมตร}$$

$$= -129.52 \text{ กิโลกรัม/ตร.เมตร}$$

$$\text{ณ ตัวแหน่งวัดความดันลม E9, } P = 20.805(-0.75) - 0.00256 \times 1.32 \times (1.0 \times 71.137)^2 (+0.75)$$

$$= -28.429 \text{ ปอนด์/ตร.ฟุต}$$

$$= -1.3602 \text{ กิโลนิวตัน/ตร.เมตร}$$

$$= -136.02 \text{ กิโลกรัม/ตร.เมตร}$$

$$\text{ณ ตัวแหน่งวัดความดันลม F13, } P = 20.805(-0.75) - 0.00256 \times 1.44 \times (1.0 \times 71.137)^2 (+0.75)$$

$$= -29.595 \text{ ปอนด์/ตร.ฟุต}$$

= -1.4160 กิโลนิวตัน/ตร.เมตร

= -141.60 กิโลกรัม/ตร.เมตร

ณ ตำแหน่งวัดความดันลม G22, $P = 20.805(-0.75) - 0.00256 \times 1.53 \times (1.0 \times 71.137)^2 (+0.75)$

= -30.469 ปอนด์/ตร.ฟุต

= -1.4578 กิโลนิวตัน/ตร.เมตร

= -145.78 กิโลกรัม/ตร.เมตร



การหาค่าความดันลมออกแบบ, P, สำหรับการออกแบบผนังรองอาคาร ตามแนวทางที่เสนอโดย Simiu และ Filliben [5]

พิจารณาตำแหน่งวัดความดันลม E9 ซึ่งเกิดค่ามากที่สุดของหน่วยแรงดูดสูงสุด มีค่า 343.4 กิโลกรัม/เมตร² จากผลการทดสอบภายในอุโมงค์ลม ค่าสัมประสิทธิ์ความดันลมต่ำสุด ณ ตำแหน่งวัดความดันลม E9 จาก 8 ทิศทางลม สามารถแสดงได้ดังนี้

ตำแหน่ง	C_{PMIN}	ทิศทาง
E9-0	-1.452	N
E9-45	-2.885	NE
E9-90	-0.338	E
E9-135	-0.849	SE
E9-180	-0.586	S
E9-225	-0.535	SW
E9-270	-0.702	W
E9-360	-0.540	NW

ดังนั้นค่าของ $C_{PMIN}^{(\alpha_i)}$ และ $C_{PMIN}(\alpha_i)$ สามารถแสดงได้ดังนี้

α_i	N	NE	E	SE	S	SW	W	NW
$C_{PMIN}(\alpha_i)$	1.452	2.885	0.338	0.849	0.586	0.535	0.702	0.540
$C_{PMIN}^{(\alpha_i)}$	1.205	1.699	0.581	0.921	0.766	0.731	0.838	0.735

จากค่าของ $C_{PMIN}(\alpha_i)$ และค่าของความเร็วเกรดียนท์จาก 8 ทิศทางลม สำหรับช่วงเวลา 1 ชั่วโมง ปี พ.ศ.2494 ถึง ปี พ.ศ.2533 จากตารางที่ (5-5) และ (5-6) ค่าตัวแปรสุ่ม

$$r^{\text{dir}} = \text{MAX} [C_{PMIN}(\alpha_i) V(\alpha_i)]$$

สำหรับ 8 ทิศทางลมในแต่ละปี พ.ศ. 2494 ถึง ปี พ.ศ.2533 สามารถหาได้ดังแสดงในตารางต่อไปนี้

ตารางแสดงค่าตัวแปรสุ่ม r^{dir} สำหรับตำแหน่งวัดความดันลม E9 ปี พ.ศ 2494 ถึง ปี พ.ศ 2525
สำหรับอาคาร JEWELRY TRADE CENTER

ปี พ.ศ	N 16	NE 2	E 4	SE 6	S 8	SW 10	W 12	NW 14	MAX $C_{\text{PMIN}}(\alpha_i) \quad V(\alpha_i)$
2494	16.165	22.471	11.988	11.695	9.382	11.602	17.290	9.860	22.471
2495	18.274	23.370	16.291	9.745	13.850	9.282	15.517	16.291	23.370
2496	15.463	18.876	7.378	14.617	17.872	8.121	13.300	9.002	18.876
2497	21.085	12.584	9.221	11.207	10.723	8.121	13.744	9.002	21.085
2498	16.869	18.876	16.905	8.771	14.743	13.536	19.951	10.289	19.951
2499	31.628	26.965	15.369	19.460	22.339	15.469	22.168	21.435	31.628
2500	35.141	76.404	12.603	24.363	22.339	15.469	17.734	19.299	76.404
2501	35.141	26.965	18.443	17.054	26.806	19.337	17.734	12.861	35.141
2502	24.599	35.954	14.447	19.490	20.105	23.204	26.601	21.435	35.954
2503	35.141	35.954	13.832	31.671	23.679	18.564	23.498	21.435	35.954
2504	15.463	20.673	9.221	15.593	9.829	10.829	12.857	15.004	20.673
2505	18.274	17.977	12.295	21.926	12.510	9.282	11.083	12.861	21.926
2506	14.056	20.673	10.451	7.796	10.723	13.536	15.517	12.861	20.673
2507	9.840	22.471	9.221	7.796	11.169	8.805	11.083	7.717	22.471
2508	26.708	25.169	8.300	12.668	14.297	14.696	17.734	12.861	26.708
2509	26.708	22.741	9.221	8.771	10.723	13.149	15.517	16.291	26.708
2510	16.869	16.180	5.533	7.796	11.169	11.602	13.300	12.861	16.869
2511	12.651	28.764	8.607	6.822	11.169	8.508	11.574	8.574	28.764
2512	17.570	19.775	9.221	7.309	11.169	9.668	8.867	5.144	19.775
2513	17.570	17.977	6.762	9.745	16.978	14.696	11.527	7.717	17.977
2514	22.491	24.944	11.066	12.668	11.616	11.602	13.300	13.719	44.944
2515	21.085	26.965	9.221	9.258	11.169	12.376	13.300	12.004	26.965
2516	21.085	26.965	7.992	9.745	14.297	7.735	8.867	11.146	26.965
2517	15.463	25.169	8.607	10.720	11.169	11.602	11.083	10.289	25.169
2518	11.245	26.965	9.221	9.745	14.297	8.508	8.867	8.574	26.965
2519	28.114	22.471	7.378	8.771	8.935	11.602	11.527	4.287	28.114
2520	14.056	16.180	7.378	9.745	10.723	8.508	11.083	8.574	16.180
2521	12.651	22.471	9.221	14.617	8.935	7.735	9.753	7.717	22.471
2522	11.245	17.977	7.684	12.181	11.169	11.602	11.083	10.289	17.977
2523	14.056	16.180	6.148	8.283	8.042	8.508	8.867	6.431	16.180
2524	18.274	23.370	7.684	9.745	8.042	8.508	10.641	6.431	23.370
2525	29.518	15.281	7.378	7.796	8.042	13.536	6.207	6.002	29.518

ตารางแสดงค่าตัวแปรสุ่ม r^{dir} สำหรับตำแหน่งวัดความดันลม E9 ปี พ.ศ 2526 ถึง ปี พ.ศ 2533
สำหรับอาคาร JEWELRY TRADE CENTER

ปี พ.ศ	N 16	NE 2	E 4	SE 6	S 8	SW 10	W 12	NW 14	MAX	
									$C_{P\text{MIN}}(\text{Cl}_i)$	$V(\text{Cl}_i)$
2526	19.680	24.270	6.148	7.796	10.276	13.149	19.064	8.145	24.270	
2527	17.570	20.673	4.611	12.181	12.956	10.442	14.630	10.717	20.675	
2528	11.948	15.281	9.529	15.105	8.935	15.469	15.074	15.004	15.469	
2529	29.518	17.078	10.451	9.258	16.978	17.016	19.064	11.146	29.518	
2530	10.543	31.460	10.758	11.207	13.403	8.508	13.744	12.861	31.460	
2531	21.085	33.258	14.447	17.054	15.637	8.508	13.300	12.861	33.258	
2532	15.463	20.673	8.607	7.309	8.489	7.735	15.517	12.861	20.673	
2533	11.245	15.281	6.148	10.720	12.510	11.602	10.641	10.717	15.281	

ศูนย์วิทยทรัพยากร
จุฬาลงกรณ์มหาวิทยาลัย

ตารางแสดงการหาค่า U_n และ $1/\alpha$ สำหรับตำแหน่งวัดความดันลม E9

r^{dir}	m	$F_r(r) = m/N+1$	$X = -\ln(-\ln F_r(r))$	$r^{\text{dir}} X$	X^2
15.281	1	0.02439	-1.31200	-20.04863	1.72134
15.469	2	0.04878	-1.10540	-17.09945	1.22191
16.180	3	0.07317	-0.96125	-15.55307	0.92401
	4	0.09756	-0.84470	-13.66730	0.71352
16.869	5	0.12195	-0.74391	-12.54900	0.55340
17.977	6	0.14634	-0.65327	-11.74391	0.42677
	7	0.17073	-0.56966	-10.24084	0.32452
18.876	8	0.19512	-0.49112	-9.27032	0.24120
19.775	9	0.21951	-0.41631	-8.23255	0.17331
19.951	10	0.24390	-0.34430	-6.86906	0.11854
20.673	11	0.26829	-0.27436	-5.67182	0.07527
	12	0.29268	-0.20594	-4.25733	0.04241
	13	0.31707	-0.13857	-2.86470	0.01920
	14	0.34146	-0.07188	-1.48594	0.00517
21.085	15	0.36585	-0.00552	-0.11632	0.00003
21.926	16	0.39024	0.06082	1.33352	0.00370
22.471	17	0.41463	0.12741	2.6313	0.01623
	18	043902	0.19454	4.37159	0.03785
	19	0.46341	0.26248	5.89815	0.06889
23.370	20	0.48780	0.33149	7.74704	0.10989
	21	0.51220	0.40191	9.39267	0.16153
24.270	22	0.53659	0.47398	11.50344	0.22466
25.169	23	0.56098	0.54806	13.79413	0.30037
26.708	24	0.58537	0.62453	16.68004	0.39004
	25	0.60976	0.70382	18.79774	0.49537
26.965	26	0.63415	0.78643	21.20598	0.61847
	27	0.65854	0.87292	23.53829	0.76199
	28	0.68293	0.96400	25.99436	0.92930
28.114	29	0.70732	1.06053	29.81575	1.12472
28.764	30	0.73171	1.16356	33.46874	1.35388
29.518	31	0.75610	1.27446	37.61954	1.62425
	32	0.78049	1.39500	41.17757	1.94602
31.460	33	0.80488	1.52757	48.05741	2.33348
31.628	34	0.82927	1.67553	52.99357	2.80739

ตารางแสดงการหาค่า U_n และ $1/\alpha$ สำหรับตำแหน่งวัดความดันลม E9

r^{dr}	m	$F_r(r) = m/N+1$	X = $-\ln(-\ln F_r(r))$	$r^{\text{dr}} X$	X^2
33.258	35	0.85366	1.84375	61.37958	3.39943
35.14	36	0.87805	2.03982	71.68142	4.16088
35.954	37	0.90244	2.27640	81.84569	5.18200
	38	0.92683	2.57722	92.66129	6.64205
44.944	39	0.95122	2.9553	134.63129	8.97322
76.404	40	0.97561	3.70126	282.79117	1369934
ผลรวม	1038.798		21.74483	991.51286	63.92555

$$\text{ดังนั้น}, 40U_n + 21.74483(1/\alpha_n) = 1038.798$$

$$\begin{aligned} U_n &= (1038.798 - 21.74483(1/\alpha_n))/40 \\ &= 25.96995 - 0.54362075(1/\alpha_n) \end{aligned} \quad (\text{A})$$

$$991.51286(1/\alpha_n)^2 - 21.74483U_n(1/\alpha_n)^2 - 63.92555(1/\alpha_n)^3 = 0 \quad (\text{B})$$

แทนค่า U_n จากสมการ (A) ลงในสมการ (B)

$$991.51286(1/\alpha_n)^2 - 21.74483(1/\alpha_n)^2 [25.96995 - 0.54362075(1/\alpha_n)] - 63.92555(1/\alpha_n)^3 = 0$$

$$426.8007121(1/\alpha_n)^2 - 52.10460921(1/\alpha_n)^3 = 0$$

$$(1/\alpha_n)^2 (426.8007121 - 52.10460921(1/\alpha_n)) = 0$$

$$1/\alpha_n = 0 \text{ หรือ } 8.191$$

$$\begin{aligned} U_n &= 25.96995 - 0.54362075(8.191) \\ &= 21.517 \end{aligned}$$

$$\text{จะได้ } U_n = 21.517 \text{ เมตร/วินาที}$$

$$1/\alpha_n = 8.191$$

$$r = 21.517 + 8.191 [-\ln(1-1/R_p)]$$

$$\text{สำหรับ } R_p = 50 \text{ ปี}, 1-1/50 = 0.98$$

$$r = 53.478 \text{ เมตร/วินาที}$$

$$P_{50} = 1/2 \rho r^2$$

จาก $P_{50} = 343.4 \text{ กิโลกรัม/ตร.เมตร}$ ในกรณีที่ไม่คำนึงถึงแรงดันของทิศทางลม

$$[1/2 \rho G^2 C_p]/g = 343.4$$

$$P = 343.4 \times 2 \times 9.81/2.885 \times (40)^2 = 1.46 \text{ กิโลกรัม/ลบ.เมตร}$$

$$\begin{aligned}
 P_{50} &= [1/2 \times 1.46 \times (53.478)^2]/g \\
 &= 212.816 \text{ กิโลกรัม/ตร.เมตร} \\
 \text{อัตราส่วน} &= 212.816/343.4 = 0.62
 \end{aligned}$$





ประวัติผู้ศึกษา

นายปัญพันธ์ แจ่มมังคลัง เกิดเมื่อวันที่ 27 มิถุนายน พ.ศ. 2504 เข้ารับการศึกษาระดับปฐมศึกษาและมัธยมศึกษาที่โรงเรียนสาธิตจุฬาลงกรณ์มหาวิทยาลัย สำเร็จการศึกษาวิศวกรรมศาสตร์บัณฑิต สาขาวิศวกรรมโยธา จากสถาบันเทคโนโลยีพระจอมเกล้าฯ วิทยาเขตธนบุรี เมื่อปีการศึกษา 2526 และเข้าศึกษาหลักสูตรวิศวกรรมศาสตร์บัณฑิต สาขาวิศวกรรมโครงสร้าง ภาควิชาวิศวกรรมโยธา คณะวิศวกรรมศาสตร์ จุฬาลงกรณ์มหาวิทยาลัย เมื่อปีการศึกษา 2533

ศูนย์วิทยทรัพยากร
จุฬาลงกรณ์มหาวิทยาลัย